

**ТИПОМОРФИЗМ
И ПАРАГЕНЕЗИСЫ
МИНЕРАЛОВ
АРМЯНСКОЙ ССР**

ЕРЕВАН 1987



ԱԿԱԴԵՄԻԱ

ՀԱՅԿԱԿԱՆ ՍՍՀ ԳԻՏՈՒԹՅՈՒՆՆԵՐԻ ԱԿԱԴԵՄԻԱ
ԵՐԱՐՍԲԱՆԱԿԱՆ ԳԻՏՈՒԹՅՈՒՆՆԵՐԻ ԻՆՍԻՏՈՒՏ

ՀԱՅԿԱԿԱՆ ՍՍՀ ՄԻՆԵՐԱԼՆԵՐԻ
ՀԱՄԱԳՈՅԱՑՈՒԹՅՈՒՆՆԵՐԸ ԵՎ
ՏԻՊՈՄՈՐՖԻԶՄԸ

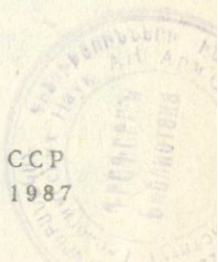
АКАДЕМИЯ НАУК АРМЯНСКОЙ ССР
ИНСТИТУТ ГЕОЛОГИЧЕСКИХ НАУК

75

ТИПОМОРФИЗМ
И ПАРАГЕНЕЗИСЫ МИНЕРАЛОВ
АРМЯНСКОЙ ССР

ИЗДАТЕЛЬСТВО АН АРМЯНСКОЙ ССР
ЕРЕВАН

1987



ББК 26.303

Т 436

Печатается по решению ученого совета Института
геологических наук АН Армянской ССР

Редакционная коллегия:

Г.О.Григорян, С.А.Зограбян, К.А.Карамян, А.И.Карапетян, К.И.Ка-
рапетян, Б.М.Меликсян (ответ.редактор), Р.Л.Меликсян, И.Х.Пет-
ровов, Г.О.Пиджян, М.А.Сатиан, Н.С.Хачатрян, З.О.Чибухчян (от-
вет.секретарь), К.Г.Ширинян (зам.ответ.редактора).

Книгу рекомендовали к печати рецензенты: кандидаты геолого-
минералогических наук Г.А.Казарян, М.Т.Боджян.

Сборник, являющийся вып. II "Записок Армянского отделения
ВМО", содержит материалы по типоморфизму, парагенезисам мине-
ралов и зональности минералообразования магматических и руд-
ных формаций Армянской ССР. Приводятся результаты детальных
минералогических исследований, выполненных микрозондовым и
рентгеноспектральным методами.

В сборник вошли доклады, прочитанные на научной сессии,
посвященной 100-летию со дня рождения академика А.Е.Ферома-
на, а также статьи по некоторым вопросам геологии республики.

Сборник рассчитан на специалистов, занимающихся вопросами
минералогии, geoхимией и рудных месторождений.

Т 1903020000
64 - 87
703 (02) - 87

© Издательство АН Армянской ССР, 1987.

ВЫДАЮЩИЙСЯ УЧЕНЫЙ, ПЕДАГОГ И ОРГАНИЗАТОР НАУКИ
АКАДЕМИК АН АРМЯНСКОЙ ССР И.Г.МАГАКЬЯН



Широка и многогранна творческая деятельность Ивана Георгиевича Магакьяна, видного советского ученого, неутомимого исследователя минеральных богатств нашей страны, организатора науки, лауреата Государственных премий СССР и Армянской ССР, заслуженного деятеля науки и техники республики, академика АН Армянской ССР, бессменного председателя и ответственного редактора "Записок" Армянского отделения, почетного члена Всесоюзного минералогического общества.

Он внес большой вклад в разработку теоретических основ науки о рудных месторождениях. Опубликованные им многочисленные труды (монографии, учебники, статьи и др.), получили признание и высокую оценку научной геологической общественности в нашей стране и за рубежом. Целый ряд научных работ И.Г.Магакьяна переведен на немецкий, английский, французский, японский, китайский языки, а книга "Рудные месторождения" была переведена и издана на китайском /КНР, 1957/, армянском /1958/ и английском /США, 1968/ языках.

Первые металлогенические исследования И.Г.Магакьяна связаны с Таджикско-Памирской экспедицией АН СССР /1935-1940 гг./; одновременно он был ассистентом кафедры месторождений полезных ископаемых Ленинградского горного института.

В 1940 г. результаты исследований были обобщены в кандидатской диссертации "Металлоносность скарновых зон Зеравшано-Гиссарской горной области", а также в монографии "Минералогия, геохимия и генезис скарновых зон Зеравшанского хребта"/1940/.

И.Г.Магакьян в 1941-1942 гг. участвовал в боях на фронтах Великой Отечественной войны и после тяжелого ранения переехал в Ереван и начал работать в Институте геологических наук АН Армянской ССР старшим научным сотрудником, заведующим отделом полезных ископаемых, а с 1947 г.- заместителем директора по научной части. В 1948 г. И.Г.Магакьян блестяще защищает докторскую диссертацию по металлогенезу Армении и в том же году избирается академиком АН АрмССР и профессором Ленинградского горного института. В 1957 г. он избирается академиком-секретарем отделения технических наук, а с 1963 г. до конца своих дней - отделения Наук о Земле.

Работы И.Г.Магакьяна "Алавердский тип оруденения и его руды" (1947), "Металлогенез Армении" (1950), "Основы металлогенеза материков" (1959), "Металлогеническая карта мира" (1960), "Металлогенез" (1974, 1978), принесли ему широкую известность. Принципы металлогенического анализа на историко-эволюционной основе, очень близкие к принципам Ю.А.Билибина, получили широкое развитие в трудах И.Г.Магакьяна и по существу стали теоретической основой металлогенической науки.

Крупным вкладом в учение о рудных формациях явились разработанные И.Г.Магакьяном принципы выделения и систематики рудных формаций (48 типов) и рудных провинций (5 типов). Труды в этой области, опубликованные в ЗВМО (вып. 5.1967) и в виде отдельной монографии "Типы рудных провинций и рудных формаций СССР" (1969), имели большое значение при проведении целеустремленных прогнозно-металлогенических исследований на новом этапе развития геологической науки.

Важнейшим достижением является выделение рядов рудных формаций, возникающих на определенных этапах развития геологических структур в той или иной тектонической обстановке, что позволяет прогнозировать недостающие члены ряда в новых рудных районах ("Типы рудных формаций и провинций СССР"). Составленные им прогнозно-металлогенические карты территории республики легли в основу оценки различных формационных типов руд и расширения границ поисково-разведочных работ.

Исследователи Малого Кавказа и Армении знали Ивана Георгиевича Магакьяна как основателя и руководителя регионально-металлогенических исследований, направленных на систематическое

изучение условий формирования и закономерностей размещения рудных формаций в тесной связи с тектоникой, магматизмом и историей развития территорий Грузии, Азербайджана и сопредельных стран - Турции и Ирана. Им было обосновано выделение тектономагматических и металлогенических комплексов, образующих рудные пояса и зоны, для которых даны перспективы поисков новых рудоносных площадей (Алаверды-Кафанский, Севанс-Амасийский и Памбак-Зангезурский).

В целях расширения минерально-сырьевой базы республики И.Г.Магакьян постоянно общался с производственными геологическими организациями, консультировал поисково-разведочные работы. Именно тесная творческая связь с геолого-производственными организациями привела к открытию и промышленной оценке месторождений медно-молибденовых руд в Зангезуре, золота и железа в Северной Армении.

Значительны заслуги И.Г.Магакьяна в исследованиях по минералогии и геохимии рудных формаций Армении. Опубликованные им работы "Редкие, рассеянные и редкоземельные элементы" (1971) и "Редкие и благородные элементы в рудных формациях Армянской ССР" (1972) сыграли большую роль в выяснении закономерностей распределения и условий концентраций этих элементов в различных минеральных типах руд, месторождениях и формациях; в них определены пути комплексного использования руд и извлечения из них ценных примесей. За коллективную монографию "Редкие и благородные элементы в рудных формациях Армянской ССР" И.Г.Магакьяну в 1976 г. была присуждена Государственная премия Армянской ССР в области науки.

И.Г.Магакьян, будучи прекрасным минералогом, приложил много усилий и сыграл значительную роль в развитии и внедрении минералого-геохимических исследований в Армении. Начиная с 1937 г. и до конца жизни им был опубликован ряд монографических работ и научных статей по отдельным минералам и минеральному составу отдельных рудных формаций. В 1972 г. вышла книга И.Г.Магакьяна "Минераграфия" (на арм.яз.).

В 1956 г. по инициативе И.Г.Магакьяна было основано Армянское отделение Всесоюзного Минералогического общества - одно из первых региональных отделений в СССР, насчитывающее в настоящее время более 100 действительных членов. На протяжении

более 25 лет он был членом ученого совета и почетным членом ВМО и бессменным председателем Армянского отделения ВМО, главным редактором сборников, вышедших в виде 10 номеров "Записок Армянского отделения ВМО".

Большой заслугой И.Г.Магакьяна явилась подготовка и редактирование коллективной монографии "Минералы рудных формаций Армянской ССР" (в двух томах), в которой обобщены все существующие данные по минералам руд, условиям их образования, парагенезисам, типоморфным, структурно-текстурным и генетическим особенностям. Она стала ценным пособием для поисковиков-разведчиков, технологов, научных работников при оценке перспектив рудных месторождений различных формаций и разработке схем извлечения всех ценных компонентов и будет весомым вкладом в проблему региональной минералогии.

Талант И.Г.Магакьяна как прекрасного лектора известен у нас в стране и за рубежом. Несколько поколений студентов и аспирантов Ереванского Государственного университета и Ленинградского горного института помнят яркие, лаконичные и глубокосодержательные лекции И.Г.Магакьяна по металлогенезу, а его учебник по рудным месторождениям, выдержавший несколько изданий, до сих пор является одним из основных руководств для студентов геологических специальностей.

И.Г.Магакьян, будучи председателем общества "Знание" АН Арм. ССР и одним из лучших лекторов, в 1972 г. был удостоен медали С.И.Вавилова - основателя и первого председателя Всесоюзного общества "Знание".

И.Г.Магакьян читал курс лекций по "Металлогенезу" в Софийском Университете (НРБ, 1970), во Франции (1971), в Высшей горной школе и университетах Парижа, Клермон-Феррана и Орлеана. Свободно владея, кроме русского и армянского, немецким, английским и, особенно, французскими языками, И.Г.Магакьян выступал в прениях и с докладами на многих международных форумах, где он блестяще пропагандировал достижения советской металлогенической науки. Он принимал участие в составе делегации АН СССР на торжествах по случаю 300-летнего юбилея английского Королевского Общества (Лондон, 1960), выступал с докладами в Коннектикуте (США, 1968), Монреале (Канада, 1972) и участвовал в работах XXI, XXII, XXIII сессий Международного

геологического конгресса с докладами, участвовал на IX и X Конгрессе Карпато-Балканской геологической ассоциации (ВНР, 1969; ЧССР, 1973), а также был докладчиком на симпозиумах Международной ассоциации по генезису рудных месторождений (IAGOD) в Сент-Эндрьюсе (Шотландия, 1969), в Токио и Кито (Япония, 1970).

Одновременно с научной и педагогической деятельностью И.Г.Магакьян вел большую общественную работу. Избирался депутатом Верховного Совета АрмССР IУ созыва и в 1962 г. являлся членом Центральной избирательной комиссии по Выборам в Верховный Совет СССР. Он редактировал и рецензировал многие труды видных ученых и геологов, под его руководством в Армении была создана металлогеническая школа, многие из его учеников защитили кандидатские и докторские диссертации и возглавляют в разных организациях направления по металлогенезу рудных месторождений и геохимии руд.

Ратные подвиги И.Г.Магакьяна и большой его вклад в развитие геологической науки и подготовку высококвалифицированных кадров были отмечены высокими правительственными наградами – орденами "Красной Звезды", "Знак Почета", "Трудового Красного Знамени" и многими медалями.

Академик АН АрмССР И.Г.Магакьян был одним из крупных и общеизвестных ученых в области учения о рудных месторождениях, металлогении, минералогии, геохимии. Еще многие поколения геологов будут пользоваться прекрасными, глубоко содержательными основополагающими трудами этого замечательного ученого и человека. В некрологе, опубликованном в "Записках Всесоюзного минералогического общества" (№ 3, 1982), высоко оценивая заслуги И.Г.Магакьяна как видного ученого, сказано: "Смерть вырвала Ивана Георгиевича из наших рядов, но не из наших сердец. Фундаментальные исследования И.Г.Магакьяна являются надежной почвой для произрастания новых идей, возникновения новых направлений в учении о закономерностях образования и размещения месторождений полезных ископаемых".

Н. О. Амирян

ПАРАГЕНЕТИЧЕСКИЕ АССОЦИАЦИИ МИНЕРАЛОВ ЗОЛОТОРУДНЫХ МЕСТОРОЖДЕНИЙ АРМЯНСКОЙ ССР.

Парагенетические соотношения минералов имеют важное значение в решении теоретических вопросов эндогенного рудообразования и выполнении практических задач. Эти соотношения определяются физико-химическими параметрами гидротермальных минералообразующих растворов (состав, характер, температура, концентрация, давление) и поведением химических элементов в них.

Анализ парагенетических соотношений минералов является важнейшим условием выяснения генезиса руд и закономерностей их распределения во времени и в пространстве. Кроме того, парагенезис минералов служит основой систематики рудных месторождений, так как определенные рудные формации характеризуются типоморфными парагенезисами минералов, отличающимися сходной последовательностью выделения из рудообразующих растворов.

Решение проблемы парагенезиса минералов имеет не только научное, но и практическое значение для прогноза оруденения, определения направления поисково-разведочных работ и разработки технологических схем переработки руд и извлечения из них всех ценных компонентов.

Основы учения о парагенезисах минералов были заложены А. Брейтгауптом, а в дальнейшем более детально они разработаны А. Г. Бетехтиным (1949, 1951), Д. С. Коржинским (1940, 1957), Н. В. Петровской (1955, 1967) и другими. Сначала под термином "парагенезис" подразумевалось совместное нахождение минералов на данном месторождении вообще (В. И. Севергин, В. И. Вернадский и др.). В настоящее время, в результате накопления огромного фактического материала и развития методов изучения и анализа руд, под термином "парагенезис минералов" понимается такое совместное нахождение минералов, которое обусловлено общностью их

происхождения (А.Г.Бетехтин, Г.Шнейдерхен, Н.В.Петровская и др.). По мнению ряда исследователей (А.Д.Генкин и др., 1982), применительно к гидротермальным рудам понятие парагенезис – это совокупность минералов, возникших одновременно или последовательно в диапазоне физико-химических условий, определяющих возможность их образования без резко выраженных признаков неравновесности. Как нам кажется, это определение, которое является более приемлемым, страдает некоторыми недостатками. Во-первых, одновременность выделения минералов в природных объектах наблюдается редко, во-вторых, равновесность в изменчивых физико-химических системах, какими являются минералообразующие растворы, вряд ли может существовать. Изменение равновесности гидротермальной системы (концентрации, состава, температуры, давления, окислительно-восстановительного потенциала, кислотности и щелочности растворов) как раз и приводит к последовательному отложению минералов. Следовательно, по нашему мнению, парагенезис – это ассоциация минералов, образованная в результате последовательного отложения минералов из одной порции гидротермальных растворов. В результате последовательного отложения минералов нередко ранее выделенные минералы, особенно шпирит, арсенопирит и сфалерит, подвергаются катаклизу, замещению и цементации последующими минералами. Однако всецелое дробление и бракчирование агрегатов данного парагенезиса не происходит. Очевидно, такие микрокатастические явления на отдельных минералах не могут служить основанием выделения парагенезисов минералов.

При многостадийном процессе рудообразования после каждой стадии минерализации происходят новые тектонические подвижки, в результате чего продукты предыдущих стадий подвергаются дроблению. По-видимому, одновременно происходит изменение в характере развитияrudогенерирующего источника, поэтому новое трещинообразование сопровождается выделением новых порций растворов несколько иного состава и характера, послуживших причиной отложения новых парагенезисов. Отложение минералов происходит или по новым трещинам, или же вдоль прежних. В последнем случае создаются сложные структурно-текстурные рисунки, анализ которых позволяет выделить различные парагенезисы и восстановить ход процессов минералообразования.

В изучении парагенетических соотношений минералов значительные успехи достигнуты при исследовании руд золоторудных месторождений Армянской ССР (Амирян Ш.О., 1960-1972). Результаты этих исследований позволили золоторудные месторождения подразделить на ряд формаций, выявить закономерности проявления и локализации определенных формаций и минеральных типов руд, наметить наиболее перспективные участки золоторудной минерализации, выработать минералого-геохимические критерии их оценки. Эти исследования послужили основой разработки соответствующих технологических схем переработки руд.

Среди золоторудных месторождений Армянской ССР выделяются следующие формации руд: кварц-золото-сульфидно-теллуридовая, кварц-золото-сульфидная (золото-полисульфидная, золото-полиметаллическая), кварц-золото-мolibденит-шеелитовая, кварц-золото-антимонит-сульфоантимонитовая, золото-кварцевая, золотоносные вторичные кварциты (эндогенные формации); золотоносная железная шляпа сульфидных (колчеданных и полиметаллических) месторождений и золотоносные россыпи (аллювиальные, элювиальные, дельвиальные и пролювиальные; экзогенные формации).

Характерные парагенезисы минералов золоторудных формаций приведены в таблице I.

Для золотоносной железной шляпы характерными парагенезисами минералов являются самородное золото, окислы, гидроокислы, карбонаты и сульфаты железа, меди, свинца, цинка, сурьмы, мышьяка и других элементов, а золотоносных россыпей - самородное золото, магнетит, ортит,ильменит, сфен, нередко галенит, шеелит, хромит, теллуриды, пирит, сфалерит, апатит и другие.

Отмеченные парагенезисы минералов на каждом конкретном месторождении являются результатом проявления самостоятельных стадий рудного процесса: ими сложены жилы, прожилки, гнезда. Нередко они проявляются совместно, образуя зоны прожилково-вкрашенной минерализации, сложные жилы и жильные зоны.

В одноименных парагенезисах различных формаций последовательность выделения минералов обычно имеет идентичный характер. В начале стадии минерализации выделяется кварц, а затем последовательно следуют пирит, арсенопирит, сфалерит, халькопирит, блеклая руда, галенит, сульфосоли, теллуриды, самородное золото, самородное серебро и карбонаты.

Таблица I

Эндогенные золоторудные формации и парагенетические ассоциации минералов

Формации руд	Парагенетические ассоциации минералов	Месторождение
Кварц-золото-сульфидно-тальвурдиевая	Кварцевый, кварц-карбонатный, кварц-золото-ширит-арсенопирит-сфалеритовый, кварц-карбонат-ширитовый, кварц-карбонат-золото-ширит-халькопиритовый, кварц-карбонат-сфалерит-галенит-золото-тениантит-тетраэдритовый, кварц-золото-антимонит-сульфоантимонитовый, кварц-карбонат-золото-тальвурдиевый, кварц-карбонат-реальгар-аурипигментовый	Зод, Меградзор
Кварц-золото-сульфидная (полиметаллическая)	Кварцевый, карбонатный, кварц-ширитовый, кварц-карбонат-золото-ширит-халькопиритовый, кварц-золото-арсенопиритовый, кварц-карбонат-золото-халькопирит-сфалерит-галенитовый, гипс-карбонат-цеолитовый	Тей-Личкав, Шаумян, Арманиц, Лалигих
Кварц-золото-молибденит-шеелитовая	Кварцевый, карбонатный, кварц-ширитовый, кварц-золото-шеелитовый, кварц-молибденитовый, кварц-карбонат-золото-арсенопирит-халькопирит-сфалерит-галенитовый (с тальвурдами)	Гамзачиман
Кварц-золото-антимонит-сульфоантимонитовая	Кварцевый, карбонатный, кварц-ширитовый, кварц-карбонат-золото-ширит-халькопиритовый, кварц-карбонат-золото-сфалерит-галенитовый, кварц-золото-сульфоантимонитовый, кварц-карбонат-золото-антимонитовый, гипс-баритовый	Азатек, Софи-бина
Золото-кварцевая	Кварцевый, кварц-карбонатный, кварц-золото-ширит-халькопирит-галенит-сфалеритовый (малосульфидный)	Капутсар, Банкадзор, Зар
Золотоносных вторичных кварцитов	Кварц-алунит-диаспор-диоксит-лирофиллитовый, кварц-золото-ширит-халькопирит-энаргит-галенит-сфалеритовый (малосульфидный)	Казарт, Казачий бугор, Новади

Обычно последовательное отложение минералов в парагенезисах сопровождается понижением температуры и обычно завершается отложением карбонатов, гипса, цеолитов, ангидрита. К началу следующей стадии минерализации, т.е. до отложения нового парагенезиса происходит изменение состава парагенезиса от карбонатных, гипсовых, цеолитовых к кварцевым. По-видимому, в течение отложения парагенезиса минералов меняется состав и характер растворов, что отражается в составе минералов и околоврудных метасоматитах.

Выше указана общая схема последовательности выделения минералов; появление в ней новых минералов или отсутствие других не нарушают общий порядок их выделения. Детальные схемы стадийности рудообразования и последовательности отложения минералов приведены и в других работах автора (Амирян Ш.О., 1960–1980).

Следует отметить, что нередко в одних и тех же парагенезисах наблюдаются несколько генераций одного и того же минерала (кварц, карбонат, пирит, халькопирит, сфалерит, золото и другие), которые отличаются оптическими и физическими свойствами, формой, примесями и взаимоотношениями с другими минералами парагенезиса. В таких случаях последовательность выделения минералов несколько нарушается и приходится говорить о существовании нескольких парагенезисов в продуктах одной и той же стадии минерализации.

Последовательность выделения минералов в парагенезисах является выражением более общих закономерностей, характерных для генезиса рудных месторождений и их парагенезисов. Так, в ряду рудных формаций, во времени, наблюдается переход от кварцевых и железорудных месторождений к оловорудным,вольфрамовым, молибденовым, медно-молибденовым, медным, медно-цинковым, полиметаллическим, золото-полиметаллическим, антимонитовым, золото-теллуридовым и т.д. В последовательности выделения парагенезисов эта закономерность проявляется в следующем виде (в общих чертах): сначала образуются кварцевые или аллюмосиликатные парагенезисы, а затем кварц-пиритовые, далее – шеелитовые, молибденитовые, молибденит-халькопиритовые, кварц-пирит-арсенопиритовые, халькопиритовые, халькопирит-сфалеритовые, полиметаллические, золото-полиметаллические, галенитовые, антимонит-сульфантимонитовые, золото-теллуридовые и другие.

Последовательность образования парагенезисов различна для различных формаций руд. Она несколько нарушается появлением новых парагенезисов, но для различных месторождений одной и той же формации она имеет идентичный характер. В таких случаях различия наблюдаются в количественном проявлении отдельных минералов, их парагенезисов и в минералах-примесях.

Различные парагенезисы отличаются друг от друга не только отношением к отдельным структурам и минеральным составом, но и структурно-текстурными, геохимическими и физико-химическими критериями. Например, не все установленные на золоторудных месторождениях парагенезисы золотоносны. Обычно золотоносными являются один - два и редко три - четыре парагенезиса. Золотоносные парагенезисы в основном относятся к средним и поздним стадиям рудного процесса. А в отдельных парагенезисах, в последовательном ряду выделения минералов, самородное золото занимает одно из последних мест. Оно заполняет трещины и поры сульфидов, арсенидов, сульфосолей, окислов, теллуридов, карбонатов и других минералов, нарастает на их зерна и агрегаты, проникает в межзерновые пространства, промежутки листоватых, пластинчатых минералов. В отдельных случаях наблюдаются более ранние генерации золота, в виде округлых, каплевидных, изометрических выделений в сульфидах и арсенидах.

Самородное золото из различных парагенезисов отличается не только формой выделений и агрегатов, но и пробностью. Так, например, золото из кварц-золото-арсенопиритового парагенезиса, на Зодском месторождении, характеризуется пробой 930, из кварц-карбонат-золото-теллуридового парагенезиса - 841, а из гипергенного парагенезиса - 953 пробой. В этих парагенезисах различно и золото-серебряное отношение. В кварц-золото-арсенопиритовом парагенезисе оно составляет I:I,3, в полисульфидном - I:2,9. Аналогичным образом эти параметры меняются для других парагенезисов из различных золоторудных формаций. Кроме того, различные генерации золота отличаются также элементами-примесями. Это равным образом относится и к другим генерациям одних и тех же минералов. Эти отличия четко отличаются для сфалеритов, арсенопиритов, халькопиритов и галенитов.

На Зодском месторождении арсенопирит из кварц-золото-арсенопиритового парагенезиса характеризуется толстопризматичес-

кими выделениями и крупнозернистыми агрегатами. В этой генерации арсенопирита отмечены низкие содержания никеля, кобальта, свинца, висмута, селена, теллура, серебра, сурьмы. Макротвердость этого арсенопирита составляет от 700 до 1400 кг/мм². Для низкотемпературного арсенопирита из кварц-карбонат-золото-антимонит-сульфоантимонитового парагенезиса характерны тонкие игольчатые призматические выделения, которые образуют радиально-лучистые агрегаты, крестообразные двойники, звездчатые тройники и иные формы. Микротвердость низкотемпературного арсенопирита составляет от 600 до 1200 кг/мм². Эта генерация арсенопирита характеризуется повышенным содержанием золота, серебра, висмута, теллура, никеля, кобальта, сурьмы.

Сфалерит из ранних парагенезисов характеризуется черным, темно-бурым цветом и редкими пойкилитовыми включениями халькопирита. Эта генерация сфалерита содержит повышенные концентрации железа, магния, марганца, свинца, мышьяка и других элементов. В последующих парагенезисах сфалерит светло-бурового, светло-коричневого цвета с многочисленными включениями халькопирита, нередко станинна, являющимися продуктами распада твердых растворов. Эти генерации сфалерита характеризуются повышенным содержанием меди, олова, индия, кадмия, теллура, сурьмы. Такая же картина наблюдается и для других минералов, их генераций из различных формаций руд (Ш.О.Амирян, 1974, 1982).

Температура образования отдельных парагенезисов, выявленная гомогенизацией и декрептизацией газово-жидких включений, различна. Так, на Тейском золото-сульфидном (золото-полиметаллическом) месторождении температура образования кварц-пирит-халькопиритового парагенезиса составляет 180–390°, кварц-карбонат-золото-халькопирит-сфалерит-галенитового парагенезиса – 180–420°, кварц-золото-арсенопиритового – 180–380°. На Зодском месторождении, по данным газово-жидких включений в кварцах и карбонатах, кварц-золото-арсенопиритовый парагенезис образовался при температуре 330–350°, кварц-карбонат-золото-полисульфидный парагенезис – 290–320°, кварц-карбонат-золото-антимонит-сульфоантимонитовый – 220–240°, кварц-карбонат-золото-теллуридовый при температуре 290–320°, кварц-карбонат-реальгаровый – 190–210°, кварц-кальцитовый – 150–180°, а дорудный кварцевый – при температуре 360–380°С (Г.А.Казарян, С.С.Григорян и др., 1982).

Следует отметить, что С.С.Григоряном (1982) определены также солевые составы растворов включений из каждого парагенезиса. Солевые и газовые компоненты отмеченных включений характеризуются различными концентрациями и составом. Аналогичные данные получены и для Меградзорского и Тейского месторождений. Приведенные выше данные наряду с минералого-геохимическими исследованиями показывают правильность стадийного развития процесса формирования золоторудных месторождений АрмССР.

ЛИТЕРАТУРА

1. Амирян Ш.О. О вещественном составе руд одного из золоторудных месторождений. Изв.АН АрмССР, серия геол. и геогр. наук, т. XIII, № 3-4, 1960.
2. Амирян Ш.О. К минералогии золоторудных месторождений. ДАН АрмССР, т. XXXI, № 1, 1960.
3. Амирян Ш.О., Акопян А.Г. О золоторудной минерализации на одном сурьмяно-полиметаллическом месторождении Айоцзорского рудного района. Науч.-тех. сб.-к. Геол. и гор.дело, № 3-4, 1963.
4. Амирян Ш.О., Карапетян А.И. Минералого-геохимическая характеристика руд Меградзорского золоторудного месторождения. Изв. АН АрмССР, серия геол. и геогр. наук, т. XIII, № 2, 1964.
5. Амирян Ш.О. К минералогии и золоторудной минерализации Гамзачиманского месторождения. Записки Арм.отд. ВМО, вып. 3, 1966.
6. Амирян Ш.О. Некоторые черты металлогенеза золота и золотоносные ассоциации минералов в АрмССР. Изв. АН АрмССР. Науки о Земле, т. XXI, № 4, 1968.
7. Амирян Ш.О., Тунян Г.А. Минералого-геохимическая характеристика руд Тейского золоторудного месторождения. Изв. АН Арм. ССР. Науки о Земле. № 5, 1971.
8. Амирян Ш.О. Место золоторудного оруденения в ряду рудных формаций АрмССР. Записки Арм. отд. ВМО, вып. 6, 1972.
9. Амирян Ш.О., Карапетян А.И. Парагенезис золота в месторождениях различных рудных формаций АрмССР. В кн.: "Минералогия самородных элементов". Владивосток, 1980.
10. Амирян Ш.О. Золоторудные формации АрмССР. Изд. АН АрмССР, Ереван, 1984.

- II. Бетехтин А.Г. О влиянии режима серы и кислорода на парагенетические соотношения минералов в рудах. Изв. АН СССР, сер. геол. № 3, 1949.
12. Бетехтин А.Г. Парагенетические соотношения и последовательность образования минералов в рудах. Зап. ВМО, вып. 2, 1951.
13. Генкин, А.Д., Добровольская М.Г. и др. Парагенетические ассоциации минералов гидротермальных рудных месторождений и критерии их выделения. Тезисы докладов VI симпозиума МАГРМ, Тбилиси, 1982.
14. Григорян С.С., Козеренко С.В., Манучарянц Б.О. Температурные условия формирования некоторых золоторудных месторождений АрмССР. Изв. АН АрмССР. Науки о Земле, т. XXXIV, №2, 1981.
15. Коринский Д.С. Физико-химические основы анализа парагенезисов минералов. Изд. АН СССР, М., 1957.
16. Петровская Н.В. О продуктивных минеральных ассоциациях в золоторудных месторождениях. Зап. ВМО, т. XXXIV, № 3, 1955.
17. Петровская Н.В. О понятии "парагенетическая минеральная ассоциация". Геол. рудных месторождений, № 2, 1967.
18. Шнейдерхен Г. Рудные месторождения. ИЛ, 1958.

АССОЦИАЦИИ АКЦЕССОРНЫХ МИНЕРАЛОВ В МАФИТ-УЛЬТРАМАФИТОВЫХ КОМПЛЕКСАХ ОФИОЛИТОВЫХ ПОЯСОВ АРМЯНСКОЙ ССР

Мафит-ультрамафитовые интрузивные комплексы на территории Армянской ССР входят в состав двух узких дугообразных офиолитовых поясов СЗ простирания - Севанского и Вединского. Севанский пояс прослеживается вдоль Базумского, Ширакского и Севанского хребтов на расстояние около 200 км при ширине от 1 до 15 км, а Вединский пояс на расстояние около 40 км, при ширине от 1 до 7 км в направлении с.с. Артамат-Веди и отличается значительно меньшими размерами. Оба пояса продолжаются на СЗ в Турцию и на ЮВ - в Иран и примыкают таким образом к обширной цепи офиолитов крупной Средиземноморской области.

Детальный анализ геолого-структурных, петрографических, петрохимических, минеральных и металлогенических особенностей Севанского и Вединского офиолитовых поясов позволяет рассматривать их как ассоциацию верхнемелового и палеогенового вулканогенно-осадочных, габбро-перидотитового и габбро-диоритового интрузивных комплексов (Абовян, 1981).

Породы габбро-перидотитового интрузивного комплекса составляют около 85% площади распространения интрузивных пород Севанского и Вединского офиолитовых поясов. Они слагают массивы различными от нескольких десятков метров до 75 кв.км, имеющие линзо- и пластообразные формы, вытянутые в СЗ - общекавказском направлении. Они многофазные и имеют сложный состав. В их строении в различных количественных соотношениях участвуют мафитовые и ультрамафитовые породы. В целом среди пород комплекса ультрамафитовые породы (70%) преобладают над мафитовыми (30%). Ультрамафитовые породы представлены главным образом перидотитами, реже дунитами и широксенитами. Обычно ультрамафитовые породы в различной степени серпентинизированы, а вдоль контакта с известняками - лиственитизированы. Мафитовые породы пространственно тесно связаны с ультрамафитовыми и представлены различными габбро, габбро-норитами и норитами. Метаморфические породы развивающиеся по мафи-

там представлены амфиболитами и родонитами. Более кислые дифференциаты комплекса имеют подчиненное развитие и представлены габбро-диоритами, кварцевыми диоритами и реже плагиогранитами.

Породы габбро-диоритового интрузивного комплекса занимают около 15% площади выхода интрузивных пород описываемых поясов. Они слагают массивы небольших размеров площадью от сотен кв.м до 3,7 кв.км. По форме это штоко- и пластообразные тела, вытянутые в СЗ направлении. В отличие от многофазных массивов габбро-перidotитового комплекса, массивы габбро-диоритового комплекса имеют однофазное строение, характеризуются довольно простым составом, и представлены габбро, габбро-диоритами и диоритами.

Как известно, при решении различных вопросов петрологии и металлогении магматических комплексов, в качестве дополнительных критерии используются акцессорные минералы. В частности, рассматриваемые интрузивные комплексы, как будет видно ниже, отличаются друг от друга качественным содержанием и химизмом акцессорных минералов.

С целью изучения закономерностей качественного и количественного распределения акцессорных минералов из пород рассматриваемых интрузивных комплексов отобрано около 350 проб-протолочек, исходным весом 10-12 кг. в каждой. Измельчение проб проводилось на щековых и валковых дробилках, промывка - на концентрационном столе, а обработка проб по "габбродной" схеме /Соболев, 1965/.

Детальное изучение протолочек из мафит-ультрамафитовых интрузивных пород офиолитовых поясов Армянской ССР позволило установить в них следующие акцессорные минералы:

а) простые и сложные окислы: магнетит (титаномагнетит, хроммагнетит), хромшишелид, ильменит (лейкоксен), рутил, гематит, лимонит, иосит; б) сульфиды: пирит, никель-cobальт пирит, пирротин, пентландит, миллерит, хизлевудит, халькопирит, сфалерит, ковеллин, галенит, киноварь, антимонит, реальгар, ауришмект; в) силикаты: эфен, циркон, гранат; г) гидрокарбонаты: малахит, азурит, артинит, брусит, англезит; д) карбиды: муассанит; е) самородные металлы: никелистое железо (аварийт), самородные - медь, свинец, мышьяк, золото.

Ниже приводится краткая характеристика акцессорных минералов.

а) Простые и сложные окислы:

Магнетит

Магнетит встречается во всех интрузивных породах и представлен магматической (первичной) и вторичной разновидностями.

Первичный магнетит встречается во всех типах пород, в количестве сотен г/т за исключением ультрамафитов. Он образует правильные кристаллы октаэдрического облика размерами до 2 мм с блестящими гранями железно-черного цвета, обладающими синеватой побежалостью. Магнетит обычно слагает включения в пироксенах или сростки с пироксеном, амфиболом, биотитом, реже плагиоклазом.

В связи со значительным содержанием титана описанные магнетиты относятся к титаномагнетитам, при этом содержание титана в них возрастает в связи с увеличением кислотности имеющих их пород. Повышенное содержание титана в титаномагнетитах средних и кислых пород указывает на генетическую связь последних с габброидными породами. Известно, что титаномагнетиты из соответствующих дифференциатов гранитоидной магмы содержат менее 1% TiO_2 (Штейнберг, Фоминых, 1961). В габро-норитах встречена хромсодержащая разновидность магнетита-хроммагнетита с содержанием Cr - 8,4%.

Вторичный магнетит образуется в результате разложения темноцветных минералов - в ультрамафитовых породах в процессе серпентинизации дунитов, перidotитов и пироксенитов, в мафитовых породах - в результате хлоритизации и амфиболизации габброидов. Количество его находится в прямой зависимости от степени разложения указанных пород. Вторичный магнетит образует тонкую рудную шиль вдоль пироксеновой спайности в перidotитах, пироксенитах и габброидах и слагает стекки петель в дунитах. Рентгенограмма порошка, выделенного из серпентинизированного дунита, указывает на его принадлежность к типичному магнетиту (Абоян, Борисенко, 1971). Концентрация элементов-примесей во вторичном магнетите из ультрамафитов не превышает их содержания в силикатах, за счет разложения которых они образовались. Содержания Ni, Co и Cr в титаномагнетитах основных и кислых дифференциатов габро-перidotитового комплексов значительно выше, чем в титаномагнетитах соответствующих пород габбро-диоритового комплекса, что может служить дополнительным подтверждением генетической самостоятельности выделенных магматических комплексов.

Хромшипинелид

Хромшипинелид характерен для ультрамафитовых и некоторых разновидностей мafитовых пород габбро-перidotитового комплекса в количестве от единиц г/т до тысяч г/т.

В относительно свежих разновидностях ультрамафитов хромшипинелид образует правильные октаэдрические кристаллы размерами от 0,1 до 0,5 мм. В серпентинизированных разновидностях зерна приобретают более или менее округлую форму, со сглаженной матовой поверхностью.

Отмечается зависимость состава хромшипинелидов и содержания в них элементов-примесей от состава вмещающих их пород и от положения последних в теле ультрамафитового массива.

Ильменит

Ильменит встречается в виде единичных знаков в некоторых разновидностях пироксенитов и довольно неравномерно во всех мafитовых породах обоих магматических комплексов, особенно в габбро-диоритовом.

Ильменит слагает зерна неправильной формы в ассоциации с титаномагнетитом, реже кристаллы таблитчатого и октаэдрического облика размерами до 0,6 м. Иногда встречается пластинчатое выделение ильменита в титаномагнетите в виде продукта распада твердого раствора. Цвет ильменита черный или стально-серый, блеск смолистый, металловидный, непрозрачен. Измененные зерна с поверхности замещаются лейкоксеном серого цвета, а во внутренних частях иногда сохраняются остатки черного ильменита.

Рутил

Рутил распространен в виде единичных знаков в измененных пироксенитах, диоритах, плагиогранитах габбро-перidotитового, а также в диоритах габбро-диоритового комплексов. В гидротермально-измененных породах Мумухан-Красарского массива количество его резко возрастает до 65 г/т.

Для кристаллов рутила характерен призматический облик. Цвет от вишнево-красного до черного, в тонких осколках просвечивает буровато-красным цветом. Размеры зерен рутила достигают до 0,3 мм.

Отсутствие рутила в свежих породах, появление его в изменен-

ных разновидностях и возрастание его количества в гидротермально-измененных породах, по-видимому, связано с деятельностью постмагматических гидротермальных растворов.

Гематит

Гематит встречается главным образом в гидротермально-измененных породах (сотни г/т), значительно меньше – в серпентинитах, лиственитах и в мafитовых, средних и кислых породах габбро-перidotитового (десятки г/т) и в виде единичных знаков в породах габбро-диоритового комплексов.

Гематит образует пластинчатые, таблитчатые, реже ромбоздрические кристаллы, иногда пылевидные, и скрытокристаллические или колломорфные скопления. Цвет кристаллических разновидностей железно-черный, скрытокристаллических или колломорфных скоплений – красный. Блеск полуметаллический, в тонких осколках просвечивает густо красным цветом. В габбро, кварцевых диоритах и плагиогранитах отмечаются в различной степени мартитизированные кристаллы магнетита. Размеры зерен гематита достигают 3 мм.

Возникновение гематита в рассматриваемых породах связано с их постмагматическим изменением.

Иоцит

Иоцит обнаружен в незначительном количестве (единицы г/т) в габбро и габбро-негматитах габбро-перidotитового и в виде единичных знаков в породах габбро-диоритового комплекса.

Иоцит встречается в виде черных шариков с блестящей поверхностью до 0,3 мм. Части сростки с магнетитом. Иоцит, по-видимому, образовался за счет магнетита в восстановительных условиях.

Лимонит

Лимонит присутствует во всех разновидностях пород габбро-перidotитового комплекса, особенно в их измененных разновидностях. Значительно меньше он встречается в породах габбро-диоритового комплекса.

Лимонит образует псевдоморфозы по магнетиту, шириту и широтиту. Часто, в результате лимонитизации пылевидных выделе-

ний магнетита, серпентиниты и листвениты приобретают коричневато-бурый цвет.

б) Сульфиды

Пирит

Пирит встречается неравномерно во всех разновидностях пород от единичных знаков до 8200 г/т. В породах габбро-перидотитового комплекса наблюдается увеличение количества пирита от ультрамафитовых пород к мафитовым, средним и кислым. Значительное количество пирита отмечается в серпентинитах, лиственитах и гидротермально-измененных породах.

В ультрамафитах и в породах габбро-диоритового комплекса размеры зерен пирита не превышают 0,5 мм, а в остальных типах пород достигают до 5 мм.

Для пиритов из пород габбро-перидотитового комплекса характерно более высокие содержания Cr, Ni, Co, Zn и более низкие содержания Ti, Mn, V по сравнению с пиритами из пород габбро-диоритового комплекса. Кроме того, в пиритах из гидротермально-измененных пород наблюдается привнос Ti, As и B.

Из изложенного ясно, что пириты четко реагируют на состав среды, в которой происходила их кристаллизация, а также на постмагматические процессы, обусловившие гидротермальное изменение вмещающих пород.

Пирротин

Пирротин встречается во всех разновидностях пород от единичных знаков до 600 г/т. Среди пород габбро-перидотитового комплекса количество пирротина увеличивается с возрастанием кислотности пород. В породах габбро-диоритового комплекса количество пирротина вновь резко сокращается.

Пирротин представлен угловатыми, неправильными, крючковатыми и ланцетными выделениями размерами от 0,1 до 1,0 мм. Целые кристаллы редки.

Для пирротинов всех пород габбро-перидотитового комплекса характерны довольно высокие содержания Cr, Ni, Co, а содержания Ti, Cu, Zn и Sc возрастают от пирротинов ультрамафитовых пород к пирротинам мафитовых и средних пород.

В породах основного состава пирротины имеют магматическое происхождение – они выделяются последними после силикатов, а

в породах ультрамафитового состава и в гидротермально-измененных породах они имеют эпимагматическое происхождение.

П е н т л а н д и т

Пентландит в количестве единичных знаков обнаружен только в породах габбро-перidotитового комплекса. Наблюдается некоторое увеличение его количества с повышением степени серпентинизации пород (единицы г/т). Наиболее высокое содержание пентландита отмечается в гидротермально-измененных породах (сотни г/т).

Пентландит образует зерна неправильной формы размерами до 0,4 мм. Часто встречаются более мелкие сростки с хромшинелидом и пирротином. В рассматриваемых породах пентландит является эпимагматическим минералом и связан с гидротермальными процессами.

М и л л е р и т

Миллерит встречен в виде единичных знаков только среди ультрамафитов, причем количество его увеличивается в связи с повышением степени серпентинизации пород.

Он представлен тонкими пластинчатыми выделениями с неправильными часто изрезанными контурами размерами до 0,2 мм в трещинах аксессорных хромшинелидов. Цвет латунно-желтый, иногда с радужной побежалостью. Блеск металлический.

Как и пентландит, миллерит выделяется в более позднюю эпимагматическую стадию, связанную с гидротермальными процессами.

Х и з л е в у д и т

Хизлевудит обнаружен в виде единичных знаков только среди дунитов и перidotитов. Наблюдается увеличение его количества в связи с повышением степени серпентинизации пород (до единиц г/т).

Хизлевудит образует зерна неправильной формы, иногда крючковатые выделения размерами до 1 мм в срастании с пирротином и особенно часто с аваритом, за счет которого, по-видимому, и образуется. Цвет - бледно-желтый, блеск металлический, магнетин.

Хизлевудит редкий эпимагматический минерал, связанный с про-

цессом серпентинизации, причем источником серы и никеля являлись сами ультрамафитовые породы.

Халькопирит

Халькопирит встречается в незначительных количествах в породах обоих комплексов от единичных знаков до 8 г/т и в гидротермально-измененных породах до 90 г/т.

Он представлен кристаллами октаэдрического облика или их обломками размерами до 0,5 мм. Цвет латунно-желтый. Встречаются разности, замещенные малахитом и азуритом.

Присутствие халькопирита только в измененных разновидностях пород, вероятно, указывает на его возникновение в эпимагматическую стадию в результате гидротермальных процессов.

Галенит

Галенит обнаружен только в породах габбро-перidotитового комплекса в количестве от единичных знаков до 32 г/т и в гидротермально-измененных породах до 45 г/т.

Он образует таблитчатые, пластинчатые или кубические зерна размерами до 0,4 мм часто со ступенчатой поверхностью. В результате окисления с поверхности они покрыты белым англезитом.

Приуроченность к измененным разновидностям пород и ассоциация с пиритом и халькопиритом указывает на гидротермальное происхождение галенита.

Киноварь

Киноварь встречена только в гидротермально-измененных породах от единичных знаков до 30 г/т.

Она представлена примазками и налетами, реже сплошными массами или неправильными зернами размерами до 1 мм.

Ассоциация киновари с пиритом, халькопиритом, карбонатами и кварцем указывает на его гидротермальное происхождение.

Сфалерит

Сфалерит обнаружен в породах габбро-перidotитового комплекса и в гидротермально-измененных породах от единичных знаков до 20 г/т.

В щлихах он представлен остроугольными обломками с остатками граней тетраэдрической формы с хорошо выраженной спайностью, реже цельными кристаллами кубической формы размерами до 0,5 мм.

Ассоциация с пиритом, халькопиритом, галенитом и киноварью позволяет отнести сфалерит к гидротермальному образованию.

А н т и м о н и т

Антимонит встречен только среди пород габбро-перidotитового комплекса Мумухан-Красарского массива в виде единичных зерен.

Он слагает призматические, игольчатые и неправильной формы кристаллы с вертикальной штриховкой размерами до 0,7 мм, иногда игольчатые кристаллы слагают агрегат радиально-лучистого сложения.

Как и другие сульфиды антимонит относится к гидротермальным образованиям.

Р е а л ь г а р и а у р и п и г м е н т ы

Реальгар и аурипигменты встречены среди серпентинитов в виде единичных зерен и среди гидротермально-измененных пород Мумухан-Красарского массива до 50 г/т.

Они представлены призматическими кристаллами размерами до 0,4 мм, на гранях которых наблюдается тонкая штриховка параллельно вертикальной оси. Редко встречаются двойники. При изменении реальгар превращается в аурипигмент.

Реальгар и аурипигмент как и антимонит, образовались в результате поздних гидротермальных процессов.

в) Гидрокарбонаты и карбонаты

М а л а х и т и а з у р и т

Оба минерала обнаружены среди наиболее измененных пород обоих комплексов и лиственитов в количестве от единичных знаков до 10 г/т (малахит) и до 4 г/т (азурит).

Малахит и азурит образуют частичные или полные псевдоморфозы по халькопириту. Формы и размеры их выделений находятся в зависимости от таковых халькопирита.

Б р у с и т и артини т

Брусит встречен только в серпентинитах в количестве от единичных зерен до 3 г/т (артиниит) и 6 г/т (брусит).

Брусит наблюдается в виде чешуйчатых и листоватых образований белого или желтовато-белого цвета размерами до 0,3 мм, а артиниит - тонконогольчатых образований снежно-белого цвета размерами до 0,7 мм.

Оба минерала образовались в результате гидротермального изменения оливина в процессе серпентинизации.

г) Силикаты

С ф е н и ц и р к о н

Оба минерала встречены в большинстве пород обоих интрузивных комплексов в количестве от единичных зерен до 3 г/т и в гидротермально-измененных породах до 40 г/т. Наблюдается некоторое увеличение количества сфена при переходе от интрузивных пород к их жильным фациям.

Сфен представлен клиновидными или конвертовидными кристаллами размерами до 0,8 мм, а циркон длиннопризматическими кристаллами с тетрагональными бипирамидами, размерами до 0,5 мм.

Они кристаллизовались в последние моменты магматической стадии после породообразующих силикатов.

Гранаты

А н д р а д и т и альмандин

Андродит встречен в некоторых разновидностях серпентинитов в количестве единичных знаков до 7 г/т и в контактово-измененных породах некоторых массивов и габбро-диоритового комплекса до сотен г/т, а альмандин - в перidotитах в количестве от единичных знаков до 5 г/т.

Андродит из серпентинитов имеет зеленый цвет и ромбо-додекаэдрический облик, часто в комбинации с тетрагон-триоктаэдром, размерами до 2 мм. Коричневато-бурая разновидность андродита из контактово-измененных пород слагает октаэдрические кристаллы, размерами до 1 мм в ассоциации с магнетитом. Альмандин представлен тетрагон-триоктаэдрическими кристаллами оранжево-красного цвета размерами до 0,6 мм.

Образование зеленой разновидности андрадита связано с воздействием кислых гидротерм на ультрамафиты, коричневато-буровой — с изменением известняков на контакте с габбровым интрузивом. Альмандин имеет магматическое происхождение и составляет первичную составную часть перidotитов.

д) Самородные металлы

Аваруит — никелистое железо

Аваруит наблюдается среди серпентинизированных разностей ультрамафитов в количестве от единичных знаков до десятков г/т. Отмечается резкое возрастание его количества при повышении степени серпентинизации пород.

Он слагает зерна неправильной формы, крючковатые выделения, размерами до 1 мм.

Тесные срастания аваруита с магнетитом и серпентинитом, иногда явные признаки замещения магнетита, указывают на его возникновение за счет магнетита при низкотемпературных восстановительных условиях, при этом источником никеля служили сами ультрамафиты. По мнению П. Рамдора (1962), для образования аваруита, кроме восстановительной среды необходимо также одновременное каталитическое воздействие следов платины.

Самородная медь

Самородная медь обнаружена среди пород габбро-перidotитового комплекса от единичных знаков до 8 г/т.

Она образует неправильные, крючковатые, пластинчатые, иногда моховидные выделения, размерами до 0,7 мм.

Как и аваруит, самородная медь образуется в восстановительных условиях, источником меди служили сульфиды, с которыми она ассоциирует.

Самородный свинец

Самородный свинец встречен в большинстве пород обоих интрузивных комплексов в количестве от единичных знаков до 5 г/т.

Он представлен зернами неправильной формы и крючковатыми выделениями размерами до 1 мм.

Самородный свинец также образуется в восстановительных условиях, источником свинца служили галенит и некоторые суль-

фиды меди и железа, в которых галенит встречается в виде механической примеси.

Самородный мышьяк

Самородный мышьяк наблюдается среди аподунитовых серпентинитов Мумухан-Красарского массива, к югу от гидротермально-измененных пород сурьмяно-мышьякового месторождения в количестве до 2-3 г/т.

Он встречается в виде пластинчатых выделений, реже кристаллов псевдокубического облика размерами до 0,5 мм.

Образование самородного мышьяка, ассоциирующего с реальгаром, аурипигментом и другими сульфидами, связано с гидротермальным процессом, обусловившим также возникновение сурьмяно-мышьякового месторождения.

Самородное золото

Самородное золото встречено среди дунитов и перидотитов в количестве единичных знаков.

Оно слагает пластинчатые, реже крючковатые выделения размерами до 0,5 мм.

Нахождение самородного золота в относительно свежих ультрамафитах вдали от месторождений золота, по-видимому, указывает на его магматическое происхождение.

е) Фосфаты

Апатит

Апатит обнаружен почти во всех разновидностях пород в количестве от единичных зерен до 4 г/т в ультрамафитах и до 280 г/т в мафитах. Отмечается увеличение количества апатита в связи с повышением степени серпентинизации ультрамафитов.

Он представлен хорошо образованными кристаллами удлиненных шестигранных призм или, реже, утолщенных призм короткостолбчатого облика размерами до 0,8 мм.

Для ультрамафитов характерны тонкие иглоподобные бесцветные, почти прозрачные кристаллы апатита размерами до 0,2 мм, а для мафитов — менее удлиненные серые, иногда черные кристаллы с бипирамидами размерами до 0,6 мм, для средних и кислых

пород - короткостолбчатые кристаллы изометрического облика черного цвета с комбинацией биширамиды и базопинакоида размерами до 0,8 мм.

Наличие в апатите редких земель царево-иттриевого состава указывает на генетическую связь включающих их пород с основной магмой / Семенов, 1963/.

Выделение кристаллов апатита произошло, по-видимому, одновременно или позже начала кристаллизации пордообразующих минералов.

ж) Карбиды

М у а с с а н и т

Муассанит встречен в некоторых апоперидотитовых серпентинатах в количестве от единичных знаков до 6 г/т.

В шлихах он имеет форму остроугольных неправильных обломков, реже - удлиненных гексагональных табличек размерами до 0,3 мм.

Ассоциация с хромшпинеллом, гранатом альмандин-широполового состава указывает на то, что муассанит представляет первичную составную часть перидотитов, образовавшихся в условиях высокого давления и температуры.

З А К Л Ю Ч Е Н И Е

Сложные геологические условия образования пород интрузивных комплексов наложили свой отпечаток на процессы кристаллизации в них акцессорных минералов - на их видовой состав, форму, размеры и химические особенности. Сравнение акцессорных минералов однотипных, но в различной степени измененных пород, позволяет установить более широкое разнообразие их видового и количественного содержания в измененных разновидностях и при переходе от интрузивных пород к породам их жильных серий.

Химические особенности акцессорных минералов обусловлены той средой, в которой происходила их кристаллизации. Хромшпинелиды, титаномагнетиты, пириты и пирротины из различных магматических комплексов резко отличаются друг от друга по коли-

чественному распределению ряда элементов-примесей, что может служить надежным геохимическим критерием, который, наряду с геолого-петрографическими факторами, позволяет выделять самостоятельные интрузивные комплексы.

Некоторые акцессорные минералы являются показателями более поздних наложенных гидротермальных процессов и могут служить поисковым признаком на руды мышьяка, сурьмы и ртути.

В зависимости от времени выделения акцессорных минералов различаются пять стадий: ранне- и позднемагматическая, автометаморфическая, гидротермальная и гипергенная.

Изучение акцессорных минералов габбро-перидотитового комплекса показывает, что среди них выделяются ассоциации характерные для определенных типов пород: для ультрамафитовых - ассоциация хромшипелид, вторичный магнетит, аваруит, хизлевудит; для основных - титаномагнетит, иоплит, халькопирит и для обоих типов - хромшипелид, вторичный магнетит, пирит, пирротин, пентландит, циркон и апатит. В ультрамафитовых породах по сравнению с мафитовыми в целом характерно сокращение видового и количественного содержания акцессорных минералов.

Следует отметить, что ассоциация хромшипелид-вторичный магнетит-аваруит-хизлевудит указывает на возможность обнаружения самостоятельных минералов группы платины в ультрамафитах Армянской ССР, а ассоциация хромшипелид-гранат-муассанит позволяет надеяться на их возможную алмазоносность.

ЛИТЕРАТУРА

1. Абоян С.Б. Мафит-ультрамафитовые интрузивные комплексы офиолитовых поясов Армянской ССР. Изд. АН АрмССР, 1981.
2. Абоян С.Б., Борисенко Л.Ф. Новые данные о вторичном магнетите из ультрабазитов Армянской ССР. ДАН АрмССР, т.П, № 4, 1971.
3. Рамдор П. Рудные минералы и их срастания. Изд. ИЛ., 1962.
4. Семенов Е.И. Минералогия редких земель. Изд. АН СССР, 1963.
5. Соболев С.Ф. Габбро-тоналитовый комплекс Полярного Урала. Изд. "Наука", 1965.
6. Штейнберг Д.С., Фоминых В.Г. Состав акцессорного титаномагнетита в различных генетических типах гранитоидов Урала. ДАН СССР, т.139, 1961.

ГЕОХИМИЧЕСКИЕ ОСОБЕННОСТИ ПОРОД СРЕДНЕЮРСКИХ
РУДНОСНЫХ ВУЛКАНОГЕННЫХ КОМПЛЕКСОВ ШАМШАДИНСКОГО
РУДНОГО РАЙОНА АРМЯНСКОЙ ССР

В проблеме изучения рудносности вулканогенных (и интрузивных) формаций, комплексов и фаций островных дуг киммерийского и альпийского этапов Малого Кавказа вопросы геохимии являются менее разработанными и представляют собой первоочередную актуальную задачу. Путем изучения геохимических особенностей геологических, магматических формаций, применяя методы математической статистики и теории вероятности в целом, могут быть выработаны критерии о связи с ними процессов рудообразования; определены данные об источниках рудного вещества; оценены закономерности коррелятивного распределения элементов в различных комплексах и фациях пород; выявлены геохимическая и металлогеническая специализации в процессе эволюции первичных магматогенно-рудно-метасоматических систем – зависимости от типов очагов и извержений вулканов в ходе направленной дифференциации или ликвации исходных магм и т.д. Если в области исследования интрузивных пород Армянской ССР и Малого Кавказа в целом, они были начаты в ранних этапах (С.И.Баласанян, Б.М.Меликсян, Г.А.Казарян, Г.М.Мкртчян, Р.Л.Мелконян, В.О.Пароникян, Г.В.Мустафаев и др.), то в вулканогенных комплексах, фациях они были детально разработаны в последние годы Г.А.Казаряном, В.О.Пароникяном, Л.В.Оганесяном, А.И.Карапетяном, А.Х.Мнацаканян, Р.Т.Джрабашином, К.М.Мурадяном и др.

Первые попытки в этом направлении были сделаны автором /1/ в 1966 г., изучившим геохимические и акцессорно-минералого-геохимические особенности среднезоценовых пород и установившим на примере Базумского рудного района Армянской ССР обеднение рудогенными элементами (Cu , Zn , Pb , Ag) продуктив-

ных на колчеданное оруденение дифференцированных вулканогенных комплексов. В Алавердском рудном районе детальные исследования (Р.Л. Мелконян, Г.Г. Мирзоян и др.) кислых интрузивных и вулканогенных формаций, комплексов и фаций, при эволюции магматических очагов (J_2 и $J-K_1$ этапов) также привели к выводу об "отсутствии" геохимической специализации, обеднение одних — медью, цинком и обогащение других — свинцом, рудогенным элементами, продуктивных на медноколчеданное, колчеданно-барито-полиметаллическое оруденение, по сравнению с основными и средними их разновидностями.

Материалом для изучения геохимических особенностей пород среднеуральских вулканогенных комплексов и фаций Шамшадинского рудного района послужили результаты количественных спектральных анализов пород из фаций и комплексов отдельных рудных полей. При этом нами ставились задачи проанализировать изменение концентраций Cu, Zn, Pb, Ag, Ni, Co в дифференцированных (см. табл. I) вулканогенных и интрузивных породах/от Б-АБ-А до РД-Р, Г-ЛГ/ с целью выявления поведения рудообразующих элементов в процессе ретроспективной гомодромной эволюции вулканизма (при смене метамагматической сульфуризации толеитовых пород к известково-щелочной серии) рассматриваемого рудного района. Для выяснения характера распределения элементов-примесей в породах и минералах отдельных фаций и комплексов, и для сравнения вулканогенных и интрузивных комплексов, было использовано 600 анализов коренных пород (точечных и площадных проб) и 115 анализов акцессорных, пордообразующих и рудных минералов, а также основной массы. Результаты анализов пород и минералов сравнивались с кларками этих элементов в соответствующих типах пород по А.П. Виноградову (табл. I).

В настоящее время при металлогенических исследованиях выдвигается на передний план определение местного геохимического фона для выявления и сопоставления специализированных потенциально рудоносных магматических комплексов. С этой целью нами с помощью обработки геохимического материала вероятностно-статистическими математическими методами был высчитан местный геохимический фон (кларк) наиболее характерных для металлогении исследуемого района эле-

Таблица I

Оценки параметров распределения основных металлических элементов в породах мезозойских-среднерусских вулканогенных и интрузивных комплексов и фаций Шамшадинского рудного района.

№ пп	Наименование комплексов пород и фаций	Ин- декс	М е д ь			Ц и н к		
			N	%Ф	ε	N	%Ф	ε
I	Риодалит-риолитовый (РД-Р)	I	70	$\frac{8 \cdot 10^{-3}}{2 \cdot 10^{-3}}$	1,45	69	$\frac{2 \cdot 8 \cdot 10^{-3}}{6 \cdot 10^{-3}}$	1,41
	Поверхностная фация (II)	II-I	20	$\frac{7 \cdot 7 \cdot 10^{-3}}{2 \cdot 10^{-3}}$	1,51	19	$\frac{2 \cdot 8 \cdot 10^{-3}}{6 \cdot 10^{-3}}$	1,38
	Жерловая фация (Ж)	II-2	20	$\frac{7 \cdot 5 \cdot 10^{-3}}{2 \cdot 10^{-3}}$	1,26	20	$\frac{2 \cdot 8 \cdot 10^{-3}}{6 \cdot 10^{-3}}$	1,37
	Субвулканическая фация (С)	II-3	30	$\frac{8 \cdot 2 \cdot 10^{-3}}{2 \cdot 10^{-3}}$	1,36	30	$\frac{2 \cdot 8 \cdot 10^{-3}}{6 \cdot 10^{-3}}$	1,48
I.I	Гидротермально-измененные риодалит-риолитовые породы:	II	39	$\frac{6 \cdot 8 \cdot 10^{-3}}{2 \cdot 10^{-3}}$	1,26	40	$\frac{2 \cdot 7 \cdot 10^{-3}}{6 \cdot 10^{-3}}$	1,85
	Поверхностная, промежуточная фация	II-II	24	$\frac{5 \cdot 5 \cdot 10^{-3}}{2 \cdot 10^{-3}}$	1,38	24	$\frac{2 \cdot 2 \cdot 10^{-3}}{6 \cdot 10^{-3}}$	1,39
	Жерловая фация	II-2	15	$\frac{7 \cdot 2 \cdot 10^{-3}}{2 \cdot 10^{-3}}$	1,23	16	$\frac{2 \cdot 9 \cdot 10^{-3}}{6 \cdot 10^{-3}}$	2,46
2	Базальт, андезитобазальт, андезитовый (Б-АБ-Л)	III	48	$\frac{15 \cdot 10^{-3}}{5 \cdot 5 \cdot 10^{-3}}$	1,85	47	$\frac{4 \cdot 3 \cdot 10^{-3}}{7 \cdot 2 \cdot 10^{-3}}$	1,49
	Поверхностная фация (II)	III-I	14	$\frac{12 \cdot 10^{-3}}{5 \cdot 5 \cdot 10^{-3}}$	1,95	14	$\frac{4 \cdot 3 \cdot 10^{-3}}{7 \cdot 2 \cdot 10^{-3}}$	1,66
	Жерловая фация (Ж)	III-2	18	$\frac{15 \cdot 10^{-3}}{5 \cdot 5 \cdot 10^{-3}}$	1,77	17	$\frac{5 \cdot 2 \cdot 10^{-3}}{7 \cdot 2 \cdot 10^{-3}}$	1,29
	Субвулканическая фация (С)	III-3	16	$\frac{12 \cdot 10^{-3}}{5 \cdot 5 \cdot 10^{-3}}$	2,20	16	$\frac{3 \cdot 7 \cdot 10^{-3}}{7 \cdot 2 \cdot 10^{-3}}$	1,24
3.	Гранит-лейкогранитовый (Г-ЛГ)	IV	19	$\frac{12 \cdot 10^{-3}}{2 \cdot 10^{-3}}$	2,20	19	$\frac{3 \cdot 10^{-3}}{6 \cdot 10^{-3}}$	1,51

Продолжение таблицы I

С в и н е ц			С е р е б р о			Н и к е л ь			К о б а л ь т		
N	$\chi\Phi$	ε	N	$\chi\Phi$	ε	N	$\chi\Phi$	ε	N	$\chi\Phi$	ε
70	$1.6 \cdot 10^{-3}$ $2 \cdot 10^{-3}$	I,57	70	$4 \cdot 10^{-6}$ $5 \cdot 10^{-6}$	I,48	68	$23 \cdot 10^{-4}$ $8 \cdot 10^{-4}$	I,60	68	$2.5 \cdot 10^{-4}$ $5 \cdot 10^{-4}$	I,6
20	$1.9 \cdot 10^{-3}$ $2 \cdot 10^{-3}$	I,51	20	$4 \cdot 10^{-6}$ $5 \cdot 10^{-6}$	I,52	20	$24 \cdot 10^{-4}$ $8 \cdot 10^{-4}$	I,60	20	$2.3 \cdot 10^{-4}$ $5 \cdot 10^{-4}$	I,4
20	$1.5 \cdot 10^{-3}$ $2 \cdot 10^{-3}$	I,47	20	$4 \cdot 10^{-6}$ $5 \cdot 10^{-6}$	I,49	18	$25 \cdot 10^{-4}$ $8 \cdot 10^{-4}$	I,59	18	$2.6 \cdot 10^{-4}$ $5 \cdot 10^{-4}$	I,8
30	$1.8 \cdot 10^{-3}$ $2 \cdot 10^{-3}$	I,58	30	$4 \cdot 10^{-6}$ $5 \cdot 10^{-6}$	I,43	30	$22 \cdot 10^{-4}$ $8 \cdot 10^{-4}$	I,65	30	$2.3 \cdot 10^{-4}$ $5 \cdot 10^{-4}$	I,6
4I	$1.5 \cdot 10^{-3}$ $2 \cdot 10^{-3}$	I,50	43	$4 \cdot 10^{-6}$ $5 \cdot 10^{-6}$	2,95	43	$16 \cdot 10^{-4}$ $8 \cdot 10^{-4}$	I,85	38	$1.4 \cdot 10^{-4}$ $5 \cdot 10^{-4}$	I,6
26	$1.5 \cdot 10^{-3}$ $2 \cdot 10^{-3}$	I,45	27	$4 \cdot 10^{-6}$ $5 \cdot 10^{-6}$	2,82	27	$16 \cdot 10^{-4}$ $8 \cdot 10^{-4}$	I,94	22	$1.4 \cdot 10^{-4}$ $5 \cdot 10^{-4}$	I,7
15	$1.6 \cdot 10^{-3}$ $2 \cdot 10^{-3}$	I,58	16	$4 \cdot 10^{-6}$ $5 \cdot 10^{-6}$	3,28	16	$15 \cdot 10^{-4}$ $8 \cdot 10^{-4}$	I,71	16	$1.3 \cdot 10^{-4}$ $5 \cdot 10^{-4}$	I,5
48	$1.9 \cdot 10^{-3}$ $1.5 \cdot 10^{-3}$	I,88	48	$7 \cdot 10^{-6}$ $7 \cdot 10^{-6}$	I,68	49	$8.0 \cdot 10^{-3}$ $5.5 \cdot 10^{-3}$	2,03	49	$0.8 \cdot 10^{-3}$ $1 \cdot 10^{-3}$	3,38
15	$1.8 \cdot 10^{-3}$ $1.5 \cdot 10^{-3}$	2,02	15	$6 \cdot 10^{-6}$ $7 \cdot 10^{-6}$	I,30	15	$7.4 \cdot 10^{-3}$ $5.5 \cdot 10^{-3}$	2,22	15	$0.7 \cdot 10^{-3}$ $1 \cdot 10^{-3}$	2,47
18	$2.2 \cdot 10^{-3}$ $1.5 \cdot 10^{-3}$	2,14	18	$8 \cdot 10^{-6}$ $7 \cdot 10^{-6}$	I,94	18	$8.3 \cdot 10^{-3}$ $5.5 \cdot 10^{-3}$	I,86	18	$1.1 \cdot 10^{-3}$ $1 \cdot 10^{-3}$	2,54
15	$1.7 \cdot 10^{-3}$ $1.5 \cdot 10^{-3}$	I,39	15	$8 \cdot 10^{-6}$ $7 \cdot 10^{-6}$	I,88	16	$8.4 \cdot 10^{-3}$ $5.5 \cdot 10^{-3}$	I,87	16	$0.7 \cdot 10^{-3}$ $1 \cdot 10^{-3}$	3,63
19	$1.6 \cdot 10^{-3}$ $2 \cdot 10^{-3}$	I,43	18	$6 \cdot 10^{-6}$ $5 \cdot 10^{-6}$	I,19	16	$33 \cdot 10^{-4}$ $8 \cdot 10^{-4}$	I,94	19	$2.4 \cdot 10^{-4}$ $5 \cdot 10^{-4}$	I,68

N - Количество проб, по которым определялась величина геохимического фона; $\chi\Phi(Mk)$ - Местное значение геохимического фона (в числителе кларк) в весовых %; $\varepsilon (s)$ - Стандартный множитель (стандартное или среднеквадратическое отклонение).

Примечание - кларки приведены для кислых, средних и основных пород по данным А.П.Боноградова (1962).

ментов-индикаторов: меди, цинка, свинца, серебра, никеля, кобальта и др.

Определение местного геохимического фона химических элементов в различных горных породах является одной из основных задач при металлогенических исследованиях, так как каждый анализ горной породы характеризуется случайным значением содержаний в нем тех или иных элементов. При объективной оценке местного фона методом математической статистики становится возможным выявление геохимических особенностей вулканогенных пород (комплексов, фаций) исследуемого района. Обработка полученных аналитических данных методами математической статистики дает также возможность определить вероятностный закон их распределения, позволяет установить наиболее вероятное значение измеряемых величин (\bar{x}_Φ , \tilde{x}_Φ) и пределы их колебаний s , ε (стандартное отклонение при нормальном распределении, стандартный множитель при логнормальном распределении).

Из вышеизложенного вытекает, что применение математических методов обработки геохимических информаций, значительно повышает достоверность полученных результатов и позволяет осуществить объективную их интерпретацию с петрографическими и петрохимическими данными.

Ниже рассматриваются геохимические особенности пород, слагающих магматические (вулканогенные, вулканогенно-интрузивные) формации, комплексы и фации Шамшадинского рудного района (табл. I).

Содержание элементов, как было констатировано, в пробах из коренных относительно свежих и гидротермально измененных породах определялось методом количественного спектрального анализа. Исходя из металлогенической специализации исследуемого рудного района, нами был определен местный геохимический фон; рассмотрены оценки параметров, закономерности распределения основных металлических элементов (меди, цинка, свинца, серебра, никеля и кобальта) в вышеуказанных породах (см. табл. I). Отдельные фации и комплексы пород охарактеризованы фоновым содержанием и стандартным отклонением отмеченных элементов. Последний показатель имеет важный геохимический смысл, т.к. характеризует степень неравномерности распределения элемента в данной среде. В настоящее время на примере палеозойской колчеданоносной провинции Урала, Рудного Алтая установлено, что степень неравномер-

ности распределения элементов в породах возрастает под воздействием процессов анатексиса и метамагматической сульфуризации. (Овчинников, Баранов, Жабин, Гладких и др.). Степень неравномерности распределения элементов при этом является также показателем условий формирования пород. В частности, в хорошо дифференцированных магматических комплексах отдельные элементы распределены более неравномерно, чем в слабо дифференцированных породах (см. табл. I).

Наблюдаемые средние (фоновые) содержания элементов в породах и степень неравномерности их распределения (величина стандартного отклонения) являются величинами интегральными, т.е. отражают конечный результат формирования пород и дальнейших их изменений, обусловленных различными эндогенными факторами и в том числе процессами рудообразования.

Методика обработки результатов наблюдений

Содержание любого химического элемента в породе может быть рассмотрено как значение случайной величины, т.к. до анализа пробы предугадать результат невозможно. В лучшем случае можно на числовой оси указать некоторый интервал, в пределах которого окажется содержание данного элемента в исследуемой пробе.

Многочисленные исследования последних лет показали, что содержание элементов в горных породах могут быть аппроксимировано нормальным или логарифмически нормальным (логнормальным) функциями распределения случайных величин (Н.К.Разумовский, Д.А.Родионов, В.Н.Бондаренко, Р.Шторм и др.). Различие между двумя отмеченными функциями распределений заключается только в том, что в первом случае нормальным распределением аппроксимируется натуральное значение изучаемого свойства (в данном случае содержание какого-либо элемента в определенных горных породах), а во втором случае этой же функцией удовлетворительно описываются логарифмы значений натуральных величин. Причем логнормальное распределение является более общим.

Нормальное (логнормальное) распределение определяется двумя параметрами: α - математическим ожиданием и b - среднеквадратическим отклонением. Поскольку значения α и b в большинстве случаев не могут быть вычислены без погрешностей, то на практике ограничиваются вычислением этих оценок-параметров, какими соответственно являются \bar{x} (или \tilde{x}) - среднеарифметичес-

кое (среднегеометрическое) значением изучаемых величин и S (или ε) - стандартное (или среднее квадратическое) отклонение (стандартный множитель) эмпирического ряда распределения. s^2 - дисперсия.

Учитывая, что распределение элементов лучше аппроксимируется логнормальным законом (что подтверждается критерием согласия χ^2 Пирсона, при уровне значимости $\alpha = 0,05$) все расчеты велись в логарифмах с последующим антилогарифмированием полученных значений $\lg \bar{x}$ и $\lg s$. В результате были получены среднегеометрические (фоновые χ_{Φ}) значения содержания элементов в пробах $\tilde{x} = \chi_{\Phi}$ и величина стандартных множителей ε .

Нами принималось во внимание правило трех сигм, которое гласит, что практически все значения (точнее 99,73%) нормально распределенной случайной величины должны укладываться в интервале $\bar{x} \pm 3s$ (для логнормального распределения в интервале $\tilde{x} \pm \varepsilon^{\pm 3}$).

В случае несоблюдения этого правила из выборок были последовательно исключены выходящие за пределы указанного интервала значения и заново определены χ_{Φ} и ε . Это продолжалось до тех пор, пока не было достигнуто выполнение правила трех сигм. Поскольку содержание элемента в пробе является случайной величиной, то оценки параметров эмпирического распределения (χ_{Φ} и ε) тоже являются величинами случайными. Следовательно, сравнение соответствующих оценок, полученных для различных выборок может быть осуществлено методами проверки статистических гипотез (Е.С. Вентцель, Н.В. Смирнов, И.В. Дунин-Барковский, Р.Л. Миллер, Дж.С. Кан, Р.Шторм и др.).

Для сравнения дисперсий нами использован критерий Фишера (F):

$$F = \frac{s_1^2}{s_2^2}$$

где s_1^2 - большая из двух (s_1^2, s_2^2) сравниемых значений оценок дисперсий. В случае подтверждения однородности (равенства) сравниваемых дисперсий проверка гипотезы о равенстве средних содержаний (фоновых значений) элементов осуществлялась при помощи критерия Стьюдента (t):

$$t = \frac{\bar{x}_1 - \bar{x}_2}{\sqrt{\frac{s_1^2}{n_1} + \frac{s_2^2}{n_2}}}$$

где: $\bar{\chi}_1$ и $\bar{\chi}_2$ сравниваемые фоновые значения элементов;

N_1 и N_2 - объем сравниваемых выборок. В тех случаях, когда гипотеза о равенстве дисперсий при помощи критерия Фишера опровергалась, для сравнения фоновых значений был использован критерий, предложенный А.Д.Родионовым. В вышеприведенных выражениях: $\bar{\chi}_1 = \lg \tilde{\chi}_1$; $\bar{\chi}_2 = \lg \tilde{\chi}_2$; $S_1^2 = \lg S_1^2$; $S_2^2 = \lg S_2^2$. Полученные наблюдаемые значения t_H и F_H сравнивались с их соответствующими табличными значениями t_T и F_T (Н.В.Смирнов, И.В.Дунин-Барковский, Митрапольский, Р.Шторм и др.) при уровне значимости $\alpha = 0,05$.

Таким образом осуществлялась проверка нулевых гипотез:

$$H_0 : S_1^2 = S_2^2$$

$$H_0 : \chi_{\Phi}^{(1)} = \chi_{\Phi}^{(2)}$$

Нулевая гипотеза принималась, если $t_H < t_T$ (при сравнении фоновых значений) или $F_H < F_T$ (при сравнении дисперсий). В противном случае нулевая гипотеза опровергалась. Функции распределения элемента в сравниваемых выборках применялись равными в случае совместного подтверждения гипотез о равенстве дисперсий и средних значений.

Закономерности распределения элементов

Ниже рассмотрим геохимическое поведение отдельных металлических элементов:

М е д ь . Результаты анализа данных таблицы I (рис. I,2) позволяют заключить, что содержание (местный кларк) меди во всех комплексах пород значительно превышает кларковые значения, причем наиболее высокими концентрациями отличаются породы риодацит-риолитового комплекса и их гиповулканические-гипабиссальные интрузивные разности (гранит-лейкограниты, таблица I). Заметных аномальных значений показателя степени неравномерности распределения меди в различных комплексах пород и фациях не наблюдается. Чувствительность спектрального анализа на медь составляет 0,0001%. Наличие меди установлено почти во всех пробах. Примесь меди характерна для всех породообразующих и акцессорных минералов рассматриваемых комплексов и фаций. О формах нахождения этого элемента мы можем судить по дан-

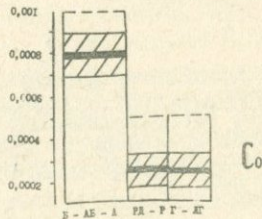
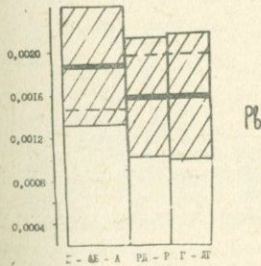
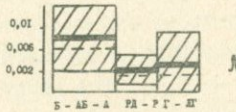
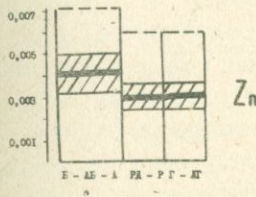
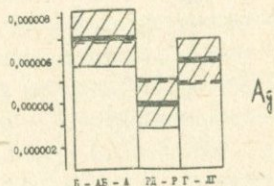
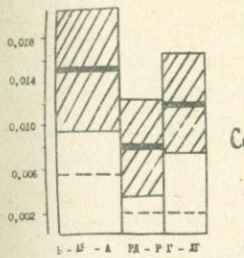


Рис. I. Распределение рудных элементов (и некоторых элементов группы железа) в средненорских вулканогенных (Б-АБ-А - РД-Р) и интрузивных (Г-ИГ) комплексах. Условные обозначения: сплошной линкой (извилистой на рис. 2) показано среднее содержание ("местный кларк"); пунктирной линией показана величина кларков элементов для кислых, средних и основных пород (по А.П. Виноградову, 1962). Штриховкой указаны доверительные границы.

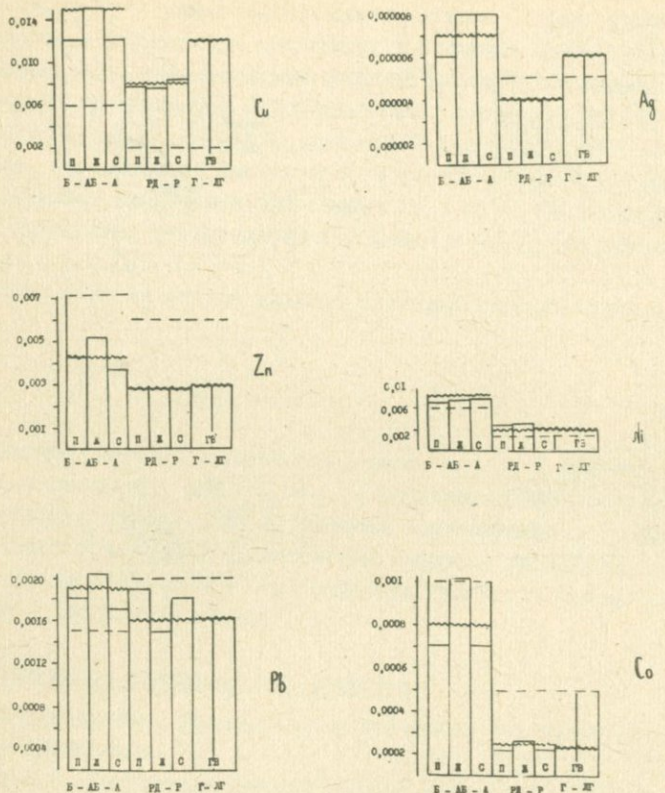


Рис. 2. Распределение рудных элементов (и некоторых элементов группы железа) в отдаленных фациях (покровной -П, льерловской -А, субвулканической -С, гиповулканической -ГВ, табл. I) пород среднеюрских вулканогенных (Б-АБ-А - РД-Р) и интрузивных (Г-ГР) комплексов. Условные обозначения те же, что на рис. I.

ным изучения искусственных проб и количественных спектральных анализов ряда акцессорных и породообразующих минералов. В искусственных пробах медь присутствует в виде халькопирита и самородной меди. Главная же масса меди в породах риодазит-риолитового комплекса содержится: в титаномагнетитах (магнетитах) 0,019-0,024%, в интрапеллурических кварцах - 0,0001%, в плагиоклазах - 0,001% и в основной массе - 0,001% (поверхностная фация); в титаномагнетитах (магнетитах) - 0,01-0,065%, в кварцах 0,0001-0,01%, в плагиоклазах 0,0003-0,01% и в основной массе 0,0003-0,01% (жерловая фация); в титаномагнетитах (магнетитах) 0,01-0,07%, в кварцах 0,0006-0,0009%, в плагиоклазах 0,0002-0,0004% и в основной массе 0,0004-0,0006% (субвулканическая фация); а также в виде примесей титаномагнетитах-магнетитах 0,021-0,35%, в кварцах 0,0001-0,0011% гиповулканической-гипабиссальной фации. Такие закономерности распределения содержаний меди (от более ранних минералов к более поздним), в магматическом очаге, породившем последовательно дифференцированные колчеданоносные вулканогенные комплексы ($B-AB-A=15 \cdot 10^{-3}$ до $PD-P=8 \cdot 10^{-3}$) свидетельствуют о том, что часть акцессорной меди была захвачена еще в магматическую стадию и, следовательно, исходная магма (известково-щелочная серия с толеитовой тенденцией), из которой образовались породы отдельных фаций рассматриваемых комплексов, была обогащена медью (табл. I).

Цинк. Местный геохимический фон цинка почти во всех породах примерно в два раза ниже кларковых значений (по А.В. Виноградову, для кислых пород - 0,006%) и составляет 0,0028% (РД, Р), 0,0043% (B-AB-A). Распределение этого элемента характеризуется высокой и очень близкой для различных фациальных типов пород равномерностью (табл. I, рис. I, 2). Только жерловая фация гидротермально измененных риодазит-риолитовых пород отличается сравнительно более высокой степенью неравномерности распределения цинка. Геохимическая характеристика этого элемента тесно связана с поведением Mg^{2+} , Fe^{2+} , что приводит к наложению цинка в минералах этих элементов. Например, в титаномагнетите (магнетите) содержится 0,042% (поверхностная фация), 0,1-0,32% (жерловая фация), 0,01-0,075% (субвулканическая фация) и 0,018-0,024% (гиповулканическая-гипабиссальная). А в кварцах, плагиоклазах и основной массе содержание цинка 0,005%

(почти во всех фациальных разновидностях; только в гипабиссальных фациях - 0,008% (в кварцах). Результаты приведенных анализов, а также наличие акцессорного сфалерита, самородного цинка, говорят о наличии цинка в породах риодакито-риолитового комплекса еще в родонаучальную магматическую стадию.

Свинец и серебро. Фоновые значения этих элементов почти совпадают с кларками (см. табл. I). Распределены эти элементы достаточно равномерно во всех породах. Небольшим превышением степени неравномерности распределения серебра отличаются гидротермально измененные риодакит-риолитовые породы.

Местный кларк свинца в риодакит-риолитовых образованиях составляет 0,0016%, в поверхностной, жерловой, субвуликанической фациях соответственно: 0,0019%, 0,0015%, 0,0018%, что соответствует кларку этого элемента - 0,002% для кислых пород.

Наличие свинца установлено в 90% всех проанализированных акцессорных и пордообразующих минералов. Свинец присутствует в виде акцессорного галенита и самородного свинца. Свинец установлен в титаномагнетите (магнетите) риодакит-риолитового комплекса соответственно в фациях: поверхностной - 0,0018%, жерловой - 0,0013-0,0042%, субвуликанической - 0,0024-0,0075%. Сравнительно небольшая концентрация свинца обнаружена в интрапеллическом кварце: 0,0006-0,001% (жерловая, субвуликаническая фация), в основной массе: 0,0006-0,0012% (жерловая фация), 0,0006-0,0009% (субвуликаническая фация). В гипабиссальном-интрузивном комплексе свинец установлен в титаномагнетите-магнетите: 0,001-0,002%.

Содержание серебра в породах различных фаций риодакит-риолитового комплекса в подавляющем большинстве случаев находится ниже и в пределах чувствительности анализа. В редких случаях оно превышает этот предел. В титаномагнетите-магнетите риодакит-риолитового комплекса установлено серебро в $56 \cdot 10^{-7}$ - $75 \cdot 10^{-7}\%$ (поверхностная-субвуликаническая фация). В породах базальт, андезито-базальт, андезитового комплекса содержится: свинца $1,9 \cdot 10^{-3}\%$, серебра $7 \cdot 10^{-6}\%$.

Из вышеизложенного вытекает, что геохимическая специализация пород различных фаций риодакит-риолитового и др. комплексов выражается в существовании металлических элементов (меди, цинк, свинец, серебро) в виде собственных акцессорных минералов и в

присутствии их в виде примесей в первичных акцессорных и породообразующих минералов, что свидетельствует о богатстве исходной ("родоначальной") последовательно дифференцированной магмы этими элементами /3/.

Никель. Из анализа вышеизведенной таблицы I и рис. I,2 вытекает, что во всех породах, кроме пород базальт, андезито-базальт-андезитового комплекса, содержание никеля заметно выше кларковых. Породы базальт, андезито-базальт-андезитового комплекса содержат никель в количествах, сопоставимых (или не значительно превышающих) с кларковыми значениями. Этот элемент распределен во всех породах достаточно равномерно.

Кобальт. В отличие от никеля содержание кобальта в 2-3 раза ниже по сравнению с соответствующими кларковыми значениями (см. табл. I и рис. I,2). Здесь тоже выделяется базальт, андезито-базальт-андезитовый комплекс с близкокларковыми значениями содержания элемента. Причем этот комплекс пород характеризуется также в некоторой степени повышенными значениями показателя неравномерности распределения кобальта.

Сравнительная характеристика распределения элементов

Представляет определенный интерес сопоставление особенностей распределения рассмотренных выше элементов в породах Шамшадинского рудного района (см. табл. I и рис. I,2). Породы рудного района характеризуются резко повышенным значением фонов меди и никеля. Обратная тенденция наблюдается для цинка и кобальта. В гидротермально измененных породах четких тенденций не обнаруживается. Здесь происходит заметное (1,5-2 раза) снижение содержания никеля, кобальта и лишь незначительное уменьшение содержания меди, отчасти свинца. При этом заметно выраженных изменений в степени неравномерности распределения этих элементов не наблюдается, за исключением никеля, который проявляет слабо заметную тенденцию к увеличению степени неравномерности распределения в гидротермально измененных разностях пород.

Содержание цинка и серебра фактически одинаково как в неизмененных, так и гидротермально измененных породах рассматриваемых.

емого рудного района, но степень неравномерности распределения этих элементов, естественно, больше в гидротермально измененных разностях пород.

Выявление закономерностей распределения элементов методом проверки статистических гипотез.

Выше закономерности распределения элементов рассматривались путем простого сопоставления параметров распределения и кларковых значений. Поскольку полученные оценки параметров (χ_{Φ} и ε), как и первичные фактографические данные, на основе которых они выведены, являются случайными величинами, то их сравнение в различных породах (комплексов и фаций) было осуществлено методами проверки статистических гипотез. Такая проверка позволяет ответить на вопрос о том, насколько существенны наблюдаемые различия значений параметров распределения, носят ли они закономерный характер или же являются случайными, обусловленными природными колебаниями (флуктуациями) распределения элементов в изучаемой среде и погрешностями применяемых методов изучения данной среды.

Результаты сравнения χ_{Φ} и ε методом проверки статистических гипотез при помощи t критерия Стьюдента и F критерия Фишера не приведены. В связи с этим здесь коротко остановимся на тех выводах, которые можно сделать на основе этого сравнения.

Сравнение измененных пород риодацит-риолитового комплекса со своими неизмененными аналогами показывает, что фоновые значения только никеля и кобальта заметно повышены в измененных разностях пород. Вместе с тем распределение меди, цинка и никеля в измененных породах характеризуется значительной неравномерностью, а серебро более неравномерно распределено в измененных разновидностях пород. Степень неравномерности распределения свинца и кобальта одинаковы как в неизмененных, так и в гидротермально измененных породах риодацито-риолитового комплекса (табл. I).

Статистическое сравнение оценок параметров распределения элементов в различных фациях риодацито-риолитового комплекса показывает достаточную их близость. Заметные, не случайные различия отмечаются только для меди, свинца и кобальта. Эти отличия выражаются в следующем. Фоновое значение свинца и степень неравномерности распределения меди в поверхностной фации значительно выше

по сравнению с жерловой, а кобальт распределен более неравномерно в жерловой фации по сравнению с поверхностной фацией (см. табл. I).

Покровные и жерловые фации гидротермально измененных пород риодолит-риолитового комплекса тоже достаточно близки по geoхимическому спектру рассматриваемых элементов. Различия заключаются только в том, что фоновое значение меди в породах жерловой фации значительно больше по сравнению с фоновым значением этого элемента в породах покровной фации. Медь и цинк более неравномерно распределены в породах поверхностной фации (табл. I, рис. 2).

Сравнение распределения элементов в поверхностной, жерловой и субвулканической фациях базальт, андезитобазальт, андезитового комплекса (см. табл. I, рис. 2) позволяет установить, что фоновые значения рассмотренных элементов в большинстве случаев не зависят от фации пород. Отличия наблюдаются только для цинка, фоновые значения которого в жерловой фации значительно выше по сравнению с субвулканической фацией.

Более значительные отличия наблюдаются при рассмотрении степени неравномерности распределения элементов. Поверхностная фация базальт, андезитобазальт, андезитового комплекса характеризуется значительно неравномерным распределением цинка по сравнению с жерловой и субвулканической фациями. Последнее характерно также для пород жерловой фации (см. табл. I, рис. 2).

Изучение фонового содержания и оценки параметров распределения основных металлических элементов (Cu , Zn , Pb , Ag , Ni , Co) в породах среднеуральских комплексов и фаций Шамшадинского рудного района позволяет сделать следующие выводы:

I. Путем применения методов математической статистики определен местный геохимический фон, что является одной из основных задач при металлогенических и геохимических исследованиях. При этом, применение вероятностно-статистического метода позволило первичную фактографическую-геохимическую информацию представить в компактной форме, что создало возможность использовать эту информацию в комплексе с петрохимическими и минералого-геохимическими данными для обоснования некоторых генетических выводов по прогнозурудоносности вулканогенной формации, комплексов и фаций. В качестве харак-

теристик, описывающих распределение элементов в породах были принятые фоновые знания ($\chi_{\text{ф}}$) и стандартный множитель (ε - показатель степени неравномерности распределения элементов). Отличие между двумя соответствующими показателями в различных комплексах пород, устанавливалось при помощи t -критерия Стюдента и F -критерия Фишера, при уровне значимости $\alpha = 0,05$.

2. Установлено, что распределение металлических элементов в неизмененных породах и их гидротермально измененных разностях вулканогенных (и интрузивных) комплексах и фациях Шамшадинского рудного района приближенно подчиняется логарифмическому нормальному закону.

3. Определен на туралльный геохимический фон (местный кларк) металлических элементов: меди, цинка, свинца, серебра, а также некоторых элементов группы железа - никеля, кобальта в комплексах и фациях дифференцированных пород среднеюрской рудоносной вулканогенной формации и вулкано-плутонических ассоциаций, которые соответственно составляют: а/ в базальт, андезитобазальт, андезитовом комплексе: для меди - $0,02\%$ ($0,012\%$ - поверхностная фация, $0,015\%$ - жерловая фация, $0,012\%$ - субвулканическая фация); для цинка - $0,004\%$ ($0,0043\%$ - поверхностная фация, $0,0052\%$ - жерловая фация, $0,0037\%$ - субвулканическая фация); для свинца - $0,002\%$ ($0,0018\%$ - поверхностная фация, $0,0022\%$ - жерловая фация, $0,0017\%$ - субвулканическая фация); для серебра - $0,00001\%$ ($0,000006\%$ - поверхностная фация, $0,000008\%$ - жерловая и субвулканическая фации); для никеля - $0,01\%$ ($0,0074\%$ - поверхностная фация, $0,0083\%$ - жерловая фация, $0,0084\%$ - субвулканическая фация); для кобальта - $0,001\%$ ($0,0007\%$ - поверхностная фация, $0,0011\%$ - жерловая фация, $0,0007\%$ - субвулканическая фация); б/ в риодацит-риолитовом комплексе: для меди - $0,006\%$ (четыре раза превышает кларковые, $0,0077\%$ - поверхностная фация, $0,0075\%$ - жерловая фация, $0,0082\%$ - субвулканическая фация); для цинка - $0,03\%$ ($0,0028\%$ - нижекларковые содержания (в два раза) во всех породах поверхностной, жерловой и субвулканической фаций); для свинца - $0,002\%$ ($0,0019\%$ - поверхностная фация,

0,0015% - жерловая фация, 0,0018% - субвулканическая фация); для серебра - $\frac{0,000004\%}{0,000005\%}$ (одинаковое близкое содержание во всех фациях пород); для никеля - $\frac{0,002\%}{0,001\%}$ (два раза превышает кларковое значение, 0,0024% - поверхностная фация, 0,0025% - жерловая фация, 0,0022% - субвулканическая фация); для кобальта - $\frac{0,0003\%}{0,0005\%}$ (0,00023% - поверхностная фация, 0,00026% - жерловая фация, 0,00023% - субвулканическая фация); в/ в гиповулканическом-гипабиссальном гранит-лейкогранитовом комплексе: для меди - $\frac{0,01\%}{0,002\%}$; для цинка - $\frac{0,003\%}{0,006\%}$; для свинца $\frac{0,002\%}{0,002\%}$; для серебра - $\frac{0,0001\%}{0,0001\%}$; для никеля - $\frac{0,003\%}{0,001\%}$; для кобальта - $\frac{0,0002\%}{0,0005\%}$.

В ходе эволюции мезозойского-среднеурского магматического процесса от дифференцированных основных-средних к кислым сериям наблюдается нижеследующая сравнительная геохимическая специализация: а/ уменьшается местный геохимический фон меди, цинка; б/ остается неизменным натуральный геохимический фон свинца, серебра; в/ уменьшается также местный геохимический фон никеля и кобальта, но устанавливается общая тенденция превалирования никеля над кобальтом.

4. Наиболее конкретным индикатором геохимической специализации рудоносных вулканогенных комплексов является не только достоверная металлогеническая специализация, но и первичная минеральная специализация, выражавшаяся наличием акцессорных рудных минералов: пирита, халькопирита, сфалерита, галенита, ионита, титаномагнетита, магнетита, самородной меди, цинка, свинца, серебра, железа и др., а также высоким содержанием меди, цинка, свинца, серебра и др. элементов в акцессорных и породообразующих минералах, что свидетельствует о накоплении этих металлических элементов в эволюционировавших остаточных расплавах-растворах.

5. Существование рудообразующих элементов в виде собственных акцессорных минералов, повышенное содержание металлических элементов в первичных акцессорных и породообразующих минералах пород материнских вулканогенных (и интрузивного) комплексов и относительно пониженное "отрицательное" и кларковое содержание

этих же элементов в длительно формировавшихся дифференциатах является их специфичной геохимической специализацией. Такая особенность, вероятно, вызвана дифференциацией рудогенерирующей исходной магмы во вторичных магматических камерах верхней части земной коры, с конечными вулканогенными продуктами которой тесно связана во времени и в пространстве колчеданная минерализация.

На основе комплексных петрологических, геохимических и металлогенических данных по мезозойской колчеданоносной провинции Малого Кавказа (Шамшидинский сегмент Сомхето-Карабахской, Кафанской вулканогенно-металлогенической зоны или Понтийско-Малокавказско - Эльбурсской островной дуги) подтверждаются основные положения гипотезы Д.С. Коржинского о метамагматической сульфуризации при одновременной дебазификации родоначальных толеитовых магм. Предполагается, что рудоносные родоначальные толеитовые (известковые) известково-щелочные расплавы на глубине взаимодействуют с серосодержащими трансмагматическими и дегидратирующими метеорными флюидами (образовавшимися) путем фракционного плавления континентальной и океанической коры с морскими осадками, затянутыми в Малокавказскую зону субдукции. Ежочерноморский-Рионо-Куринский-Еноказпийский глубоководный желоб Вадати - Заварцкого - Беньофа /2/. Вследствие этого происходит анатексис и экстракция рудообразующих металлов (меди, цинка, свинца, серебра, молибдена и др. , а также элементы группы железа: никель, кобальт, хром, титан, ванадий, марганец, скандий и др.) в процессе глубинной эволюции магматических расплавов Малокавказского мезозойского вулканизма (и плутонизма) островных дуг с образованием последовательно дифференцированных вулканогенных комплексов толеитовых → известково-щелочных серий и колчеданных (серно-медноколчеданных, колчеданно-барито-полиметаллических с серебром и золотом), железорудных и других месторождений.

ЛИТЕРАТУРА

1. Мурадян К.И. Геохимические особенности пород субвулканического комплекса Базумского рудного района Армянской ССР. Изв АН АрмССР, Науки о Земле, XIX, с.74-83, 6, 1966.

2. Мурадян К.И. Геодинамическая модель Малого Кавказа и ее

прикладное значение в металлогении Армянской ССР. Тезисы докладов У Всеес. палеев. симпозиума."Проблемы палеовулканологических реконструкций и картирования в связи с вулканогенным рудообразованием". Часть I, Наукова думка, с. 122-123, Киев, 1981.

З. Мурадян К.М. Петрологические критериирудоносности мезозойских вулканогенных комплексов Шамшадинского рудного района. Тезисы докладов IV Рег. петр.сов. по Кавказу, Крыму и Карпатам, с. 94-95, г. Нахичевань, 1983.

ЗОНАЛЬНОСТЬ И ДИСКРЕТНОСТЬ ЦЕОЛИТИЗАЦИИ В РИТМИЧНО-ПОЛОСЧАТЫХ ДАЙКАХ КОЛЧЕДАННЫХ МЕСТОРОЖДЕНИЙ АРМЯНСКОЙ ССР

Ритмично-полосчатые дайки с оригинальными текстурными рисунками, ритмичным чередованием светлых (лейкократовых) и темных (меланократовых) полос распространены в различных вулканогенных свитах юрского возраста Алавердского и Кафанского рудных районов. Полосчатость даек, по мнению исследователей, является результатом кристаллизационной дифференциации и асимиляции вмещающих ксенолитов вулканических пород при застывании магмы в результате течения и действия давления /Казарян, 1959/ или магматической дифференциации /Казарян, Ананян, 1966/. На основе новых данных доказывается образование или проявление полосчатости в рассматриваемых дайках в результате фрагментарного метасоматизма (цеолитизации).

На северо-западе Алавердской геосинклинали нами установлены широкие зоны метаморфизма цеолитовой фации. Пирокластические породы и лавы, а также многочисленные дайки и субвулканические тела юрского возраста метаморфизованы в интервале условий от цеолитовой до пропилитовой (зеленосланцевой) фации. Эти изменения наложены на весь юрский разрез и обнаруживают связь с различными вулканическими комплексами и структурами.

Цеолитизация проявляется по всему разрезу мезозойских вулканогенно-осадочных толщ Алавердской геосинклинали. Она захватывает как породы шахтахтской (оксфорд-неоком), так и юшабердской (средний байос) и дебедской (нижний байос) толщ. При этом наиболее интенсивно цеолитизация проявляется в верхних частях этих толщ. Одновременно отмечается вертикальная зональность внутри каждой фазы вулканизма, а именно смена высокотемпературных парагенезисов минералов-низкотемпературными, соответствующими фациям различной глубинности - пропилитовой, пренит-думпелилитовой и цеолитовой. Цеолитовые породы обнару-

жены в пирокластических образованиях и лавах, в дайках и субвулканических телах, пересекающих их. Цеолиты замещают первичный плагиоклаз основного состава, альбит, хлорит, а также местами и селадонит, выполняют поры и миндалины в эфузивных породах, образуют гемеробластовые скопления или псевдопоры, псевдоминдалины в базальтoidных дайках. Вследствие цеолитизации темно-серые, почти черные породы превращаются в светло-серые, беловатые породы с зеленоватыми оттенками. Осветление происходит вследствие замещения плагиоклазов, части хлорита и селадонита белыми цеолитами и, по-видимому, за счет некоторой собирательной перекристаллизации магнетитов. Состав светлых полос изменчив в зависимости от интенсивности цеолитизации.

Дайки, которые интересуют нас в настоящей статье, сложены массивными, без флюидальности или видимых структур течения базальтовыми и диабазовыми порфиритами, которые в результате цеолитизации приобретают ритмично-полосчатые или симметрично-полосчатые текстуры. Дайки этого облика имеют широкое распространение в пределах всего юрского разреза Алавердской геотекстиклии, в частности, в пределах предполагаемой палеокальдеры Кошабердского вулкана (бассейн р.Лалвар) и в толще миндалекаменных андезитов верхнего байоса – нижнего бата Кафанской брекчиятиклии (бассейн рек Вожчи и Вачаган).

Практически все цеолитизированные базальтoidные дайки обнаруживают ритмично-полосчатые текстуры, отличающиеся числом, шириной, расположением меланократовых и лейкократовых полос или общим рисунком (рис. I и 2). Это зависит не только от внутреннего (первичного) строения (скрытой флюидальности или расслоенности), прототектонической и послемагматической трещиноватости даек, но и от физико-химических условий и механизма блочного /Поспелов, 1973/ или фрагментарного /Царев, 1978/ метасоматизма. Эти текстуры не улавливаются в неизмененных или прошлифованных дайках, кроме параллельных контактовым поверхностям плоскостей раскола.

Меланократовые полосы – это исходные базальтовые и диабазовые порфириты с мелкими вкраплениниками плагиоклаза и широксена, ксеноморфными изометричными зернами широксена, олагациами, с беспорядочно ориентированными лейстами плагиоклаза, основную массу. В основной массе присутствуют также мелкие зерна и пыле-

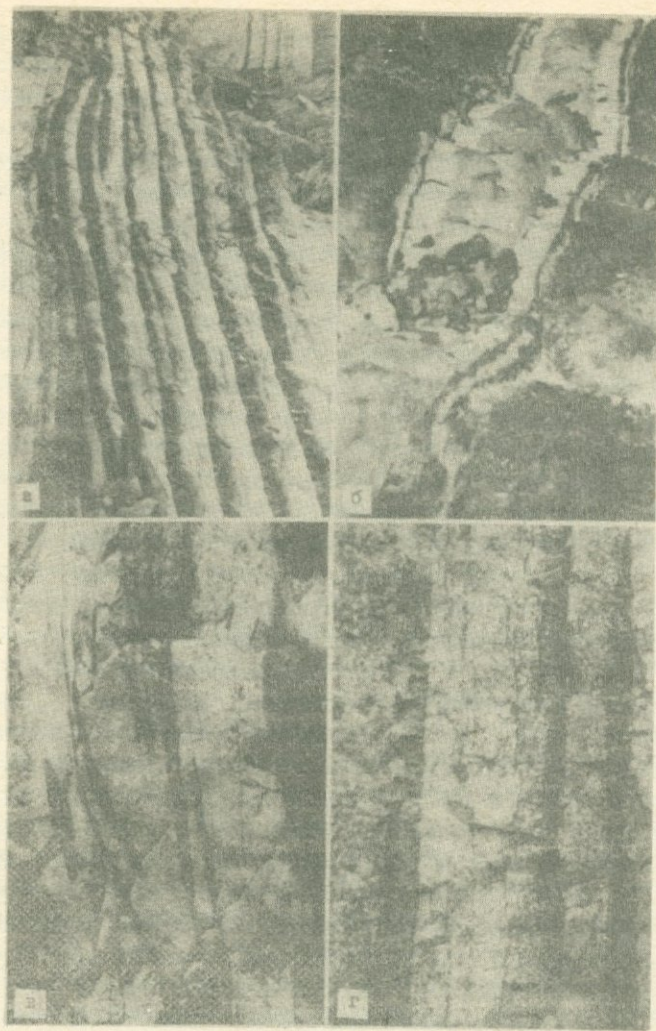


Рис. I. Ритмично-полосчатые текстуры в цеолитизированных базальтовых дайках бассейнов рек Лалвар и Вачаган.
 а/ - Текстуры цеолитизированных участков около лежачего бока дайки, правый борт р. Вачаган; б/ - симметрично-полосчатое строение цеолитизированной дайки на юго-западном склоне г. Воскесар; в/ - радиальные эллиптические структуры в цеолитизированной дайке на правом борту р. Лалвар; г/ - участок полосчатой дайки избирательно цеолитизированной, левый борт р. Вачаган.

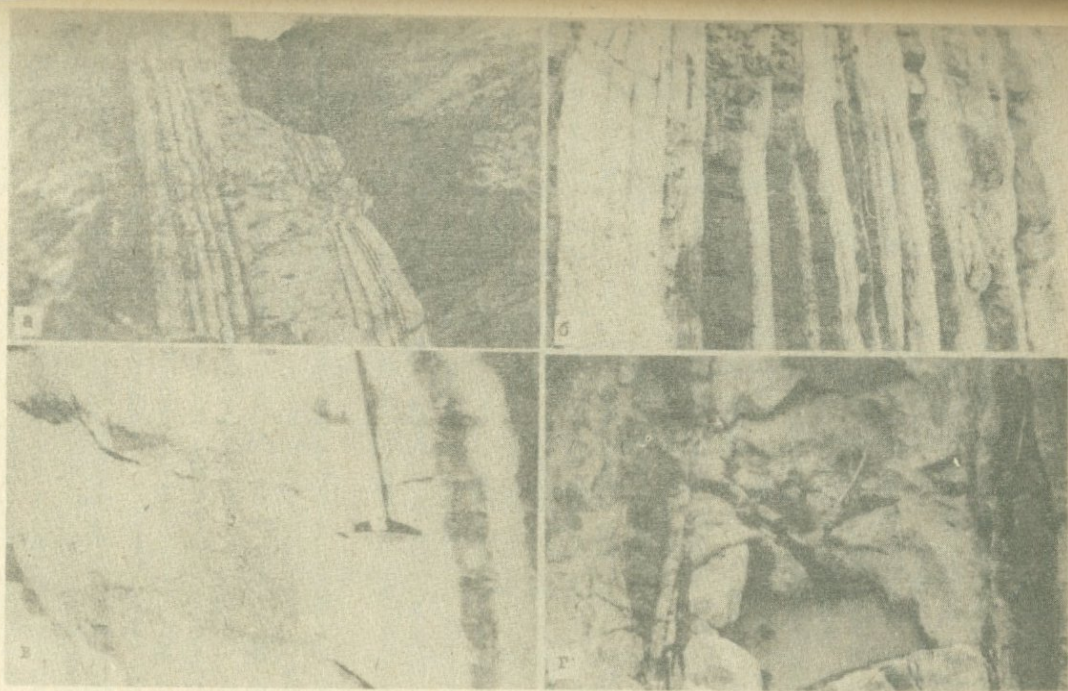


Рис. 2. Текстурные особенности фрагментично цеолитизированных даек бассейнов рек
Далвар и Вачаган. а/ - Ритмично-полосчатая асимметричная дайка. Прямые продольные
линии и полосы /реликты/ фиксируют следы течения расплава в канале дайки; б/ - участок
полосчатой дайки. Цеолиты в виде порфиробластов кристаллизуются впереди линии
фронта замещения. Массоперенос происходит диффузионным путем по микропорам;
в/ - ксенолиты в цеолитизированной дайке и единственная реликтовая полоса параллель-
ная контакту дайки; г/ - клиновидные и эллипсоидальные блоки исходных пород в цео-
литизированной дайке на левом борту р. Вачаган.

видные частицы магнетита, тонкочешуйчатые, радиально-лучистые и сферолитовые агрегаты хлорита, а также каолинита, гидросерпента, нередко пренита, кварца, иногда цеолита. Структуры интерсертальные, микролитовые, диабазовые, долеритовые. В интерстициях лейстов плагиоклаза основной массы расположены по одному или чаще несколько зерен пироксена, магнетита, агрегаты хлорита, селадонита, зерна кварца. Гидрослюды с каолином или пренитом с хлоритом и селадонитом со средоточены в псевдопорах и псевдоминдалинах размером 0,1-1,0 мм в диаметре.

Цеолитизированные базальты, слагающие лейкократовые полосы, сложены из изменчивого количества цеолитов (от единичных до 50-60%, обычно 10-20%), реликтовых минералов пироксена (18-25%), магнетита (3-5%), хлорита и селадонита (10-30%), кальцита (1-10%). Магматические структуры пород разрушены цеолитизацией. Среди первичных реликтовых структур наблюдаются разнообразные наложенные структуры: порфиробластовые, пятнистые, гетеробластовые, гранобластовые. Цеолиты представлены таблитческими, пластинчатыми, пластинчато-зернистыми, листоватыми, радиально-лучистыми, споновидными агрегатами, ксенобластовыми зернами с зубчатыми контурами, нередко столбчатыми, призматическими монокристаллами и перекрещенными двойниками. Они, обычно, образуют агрегатные псевдоморфозы по вкраепленникам плагиоклаза.

Согласно кристаллическим и рентгеноструктурным исследованиям цеолиты в своей основной массе представлены ломонтитом и лесногардитом (табл. I а). Из других цеолитов развиты также эпистильбит, стильбит, сколецит и морденит (табл. 2 б). При сравнении химических составов цеолитизированных пород с исходными видно, что значительных изменений при цеолитизации не происходит. Это согласуется и с выводами С.И.Набоко (1963) об эволюции химизма при цеолитизации пород в современных активных вулканических областях. Исходные базальтовые дайки в различной степени прошлифованы и вариации в содержании вторичных минералов (хлорита, селадонита, кальцита и др.) значительные на каждом квадратном сантиметре. Вследствие этого выявление количественного эффекта миграции и тем более строгий подсчет баланса вещества для цели, поставленной в настоящей статье, не являются необходимыми. Химические изменения выражаются в прив-

Таблица I.

Рентгенометрическая характеристика цеолитов

а б

	I	$\frac{d}{n}$		I	$\frac{d}{n}$		I	$\frac{d}{n}$		I	$\frac{d}{n}$	
I	9	9,3	20	3	2,793		I	10	9,3	24	5	2,354
2	7	6,77	21	2	2,630	2	6	6,76	25	5	2,354	
3	2	6,16	22	4	2,568	3	I	6,13	26	4	2,258	
4	3	5,00	23	3	2,515	4	2	5,00	27	3	2,211	
5	4	4,71	24	4	2,437	5	4	4,69	28	3	2,170	
6	4	4,48	25	3	2,359	6	3	4,47	29	5	2,146	
7	I0	4,14	26	3	2,263	7	9	4,12	30	2	2,083	
8	2	4,04	27	3	2,211	8	I	2,75	31	2	1,982	
9	2	3,74	28	2	2,175	9	4	3,64	32	3	1,955	
I0	8	3,65	29	4	2,158	I0	6	3,49	33	I	1,885	
II	9	3,74	30	2	2,088	II	3	3,39	34	I	1,867	
I2	2	3,39	31	2	I,994	I2	4	3,33	35	2	1,846	
I3	3	3,35	32	3	I,995	I3	6	3,253	36	I	1,823	
I4	6	3,25	33	2	I,883	I4	4	3,182	37	I	1,763	
I5	6	3,19	34	3	I,870	I5	5	3,124	38	I	1,706	
I6	4	3,15	35	3	I,847	I6	6	3,018	39	3	1,633	
I7	9	3,03	36	2	I,824	I7	I	2,934	40	2	1,622	
I8	2	2,94	37	2	I,758	I8	4	2,866	4I	I	1,586	
I9	4	2,872				I9	3	2,792	42	3	1,562	
						20	I	2,623	43	3	1,519	
						2I	4	2,568	44	I	1,487	
						22	3	2,511	45	2	1,472	
						23	5	2,43I	46	3	1,448	

- a) леонгардит-ломонтит с примесью полевого шпата и кальцита
 б) ломонтит с примесью стильбита и, возможно, морденита

Анализы выполнены в рентген. лаборатории ИГН Ревазовой Н.В. на дифрактометре ДРОН - 2, Сo-излучении, при скорости сканирования 2° в минуту

Таблица 2

Химические составы базальтоидных и цеолитизированных ритмично-полосчатых даек бассейна рек Лалвар и Вачаган

Название типа по- лос или породы	Меланократо- вые полосы			Лейкократовые полосы				Диабазовые порфириты			Лейкокра- тевые полосы		Mелано- крат. полосы	Лейкократ. полосы
	53	173	154	159	160	161	162	10K	17K	146	170	1A	2A	
SiO ₂	43,00	40,20	47,40	47,87	52,04	49,10	50,52	51,56	46,83	54,76	46,60	44,42	45,33	
TiO ₂	1,00	1,08	0,80	0,80	0,80	0,87	0,97	0,88	0,37	0,80	0,94	1,10	0,95	
Al ₂ O ₃	17,50	19,87	16,39	17,90	16,00	17,40	17,41	17,98	18,50	14,21	16,68	17,39	16,86	
Fe ₂ O ₃	2,16	0,56	2,97	3,49	1,66	2,90	3,22	2,28	4,93	2,45	3,57	3,91	2,30	
FeO	7,66	11,20	4,28	4,82	6,24	4,88	4,59	6,52	7,12	4,28	5,45	6,32	5,40	
MnO	0,12	0,19	0,05	0,05	0,05	0,15	0,17	0,13	0,20	0,04	0,16	0,17	0,09	
CaO	12,61	7,83	10,08	10,09	9,25	9,51	9,46	5,10	7,30	9,51	11,03	9,39	10,23	
MgO	8,12	9,93	5,08	6,51	6,27	7,27	5,84	4,02	5,38	5,60	8,03	9,65	6,98	
Na ₂ O	2,00	2,70	2,10	1,80	2,30	2,30	3,30	4,60	2,66	3,00	1,50	2,98	1,81	
K ₂ O	0,18	0,11	0,22	0,10	0,18	0,20	0,32	0,32	0,62	0,63	0,08	0,31	0,37	
H ₂ O	0,48	0,40	1,25	1,17	0,76	0,79	0,50	0,59	-	0,81	0,83	0,46	0,51	
П.п.п.	1,13	1,65	5,07	3,92	1,96	2,07	1,69	5,54 ^X	5,98 ^X	2,68	3,42	3,58	7,51	
CO ₂	4,75	5,80	5,01	2,20	3,08	3,08	1,23	н.о.	н.о.	1,67	2,28	н.о.	н.о.	
P ₂ O ₅	0,06	0,13	0,09	0,06	0,06	0,16	0,13	0,03	н.о.	0,06	0,13	0,56	0,52	
Сумма	100,77	100,65	100,79	100,78	100,65	100,69	99,35	99,55	99,89	100,50	100,70	100,24	99,86	

Примечание: 53, 173 - из реликтовых полос внутри S-образной дайки на правом берегу р. Лалвар; 154, 159, 160, 161, 162 из различных цеолитизированных полос внутри той же дайки; 10K, 17K - дайки пропилитизированных диабазовых порфиритов бассейна р. Лалвар (Казарян, 1971); 146, 170 - цеолитизированная порода из различных даек на юго-западном склоне г. Воскесар; 1A, 2A - реликтовая и цеолитизированная полосы из ритмично-полосчатой дайки бассейна р. Вачаган (Казарян, Анисян, 1966).

носе кальция, кремнезема, воды; выносе натрия, алюминия, углекислого газа, а также железа и магния. Химические анализы, приведенные в таблице 2, подтверждают это. Отсутствие иногда строгой тенденции в изменении химического состава при цеолитизации прошлифованных базальтов объясняется, как было сказано выше, изменчивым содержанием как наложенных ранее на первичные породы минералов, так и самих цеолитов в новообразованных метасоматитах.

Ритмичная полосчатость проявляется в дайках уже при содержании цеолитов до 5%. Чем интенсивнее цеолитизация, тем меньше в породе плагиоклаза, хлорита или селадонита, тем светлее становится метасоматическая полоса. В основной массе цеолитизированных пород сохраняются полностью пироксены и магнетит. В каждой дайке можно отметить относительно постоянный состав данной лейкократовой полосы вдоль ее простирации на десятки метров. В некоторых дайках центральные светлые полосы цеолитизированы более интенсивно, чем краевые (рис. I, а), в других отмечается обратное явление (рис. I, б). Содержание цеолитов в различных ритмично-полосчатых дайках, как и в различных полосах одной и той же дайки, крайне изменчиво и варьирует от 1 до 50–60%, обычно составляя 10–20%. Цеолитизация обычно доходит до полного замещения даек. Об этом свидетельствуют текстуры даек с точечными, пятнистыми, линейными, ленточными и полосчатыми формами реликтов первичной породы внутри цеолитизированной основной массы.

Изучая полосчатость даек, необходимо обратить внимание и на цеолитизацию во вмещающих вулканогенно-осадочных породах, где фрагментарная и избирательная цеолитизация проявлены также четко. Прерывистое или дискретное распределение цеолитов в пространстве отмечается и в шаровых лавах. Здесь дискретность выражается в концентрическом расположении светлых цеолитизированных и темных реликтовых полос. Примеры развития цеолитизации сплошным фронтом, с уничтожением структур исходных пород, в рассматриваемом регионе отсутствуют.

Аналогичные взаимоотношения цеолитизированных и реликтовых частей характерны и для вмещающих дайки потоков массивных и шаровых лав, лавовых брекчий и различных туфов, в которых распределение и конфигурации лейкократовых частей контролируется первичной текстурой. Сфероиды шаровых лав приобретают концентри-

чески-зональные текстуры. В туфах цеолиты в первую очередь развиваются по цементу, оставляя почти нетронутыми относительно крупные обломки. При общем замещении агломератовых туфов и лавобрекций образуются цеолитовые породы с текстурами пирокластических пород. Заметим, что различные литологические контакты и видимые трещины являются, как правило, экранирующими.

Кроме магматических пород со структурами течения, основные дайки в большинстве случаев бесструктурны и относятся к массивным телам в силу того, что их первичные структурные элементы, за исключением узкой приконтактовой части, неуловимы обычными петрографическими и геологическими методами (Болк, 1946). Однако цеолитизация рассматриваемых базальтоидных даек показала, что все они без исключения обладают сильно выраженными первичными, но скрытыми структурами течения или скрытой флюидальностью, аналогичной структурам фельзитовых даек. Как будет видно из дальнейшего изложения, более строгие и точные данные о внутреннем строении базальтовых даек можно получить, используя возможности, представленные фрагментарной цеолитизацией. Наиболее любопытными являются дайки, в которых правильная полосчатость отмечается фрагментами, блоками или пятнами на однородном фоне. Большая часть объема этих даек не изменена (точнее - прошипилизирована), массивна или бесструктурна. Полосчатые текстуры по простирианию переходят в участки, лишенные таких текстур. При этом отмечается одновременно и исчезновение цеолитов. Эти ритмичные текстуры в цеолитизированных участках параллельны контактным поверхностям даек, а не контурам цеолитизированных фрагментов. Вдоль даек установлено много примеров перехода от цеолитизированных ритмично-полосчатых к массивным прошипилизованным дайкам. Примеров таких даек много, особенно на юго-западном склоне г. Воскесар, вблизи г. Алаверди, на левом борту р. Вачаган, в 2-х км к юго-западу от г. Кафан и в других местах.

Полосчатые текстурные признаки проявляются и при слабой или умеренной цеолитизации. Контрастность "черно-белых" полос в этом случае слабая, однако границы полос и здесь резкие и прямолинейные. Примерами такого ряда являются некоторые дайки бассейна р. Лалвар и ритмично-полосчатые дайки Кафансского рудного района (рис. I). В одной из даек на левом борту р. Лалвар

прерывисто, в виде цепочки прослеживается вдоль простирания лишь одна интенсивно цеолитизированная полоса мощностью в 20 см, заключенная между двумя плоскостями. Нецеолитизированные участки этой дайки массивные, но обнаруживают рассланцевание, параллельное ее стенкам. В другой дайке, которая залегает в агломератовых туфах нижнего байоса на юго-восточном склоне г. Боскесар, интенсивно цеолитизированные полосы шириной в 50 см отмечаются только в приконтактовых частях. Эта симметрично-полосчатая дайка интересна тем, что характеризуется всего одной реликтовой полосой мощностью в 15-20 см внутри лейкократовых метасоматитов. Центральная часть этой двухметровой дайки сложена слабо цеолитизированными породами со сложными пятнистыми текстурами (рис. I,б, рис. 2,в).

Круто падающая дайка северо-восточного простирания мощностью в 5 м на правом борту р. Лалвар сечет прослои туфов, туфопесчаников, лавовых брекчий и шаровых лав (рис. I,а, рис. 2,а). По обеим контактным стенкам наблюдаются лейкократовые полосы шириной до 0,50-0,75 м, затем симметрично расположенные с чередованием меланократовые реликтовые и цеолитизированные полосы мощностью от 5 до 25-30 см. С каждой стороны протягиваются по 5-8 реликтовых полос, причем число их больше на лежачем боку дайки. Центральная часть шириной в 2 м сложена лейкократовой полосой, которая состоит из цеолитов (в среднем 30%) и реликтовых минералов - пироксена, хлорита, магнетита и др. В сравнительно мощных цеолитизированных полосах отмечается линейное и тонкополосчатое расположение цеолитов и темноцветных минералов исходной породы (рис. 2,б). Цеолитизация развивается вдоль продольных структур, избегая поперечные. Реликтовые полосы имеют состав и строение исходной породы и включают в себя плагиоклаз, клинопироксен, магнетит, хлорит, селадонит, кальцит и др. Реликтовые темные полосы имеют как резкие, так и расплывчатые границы. Часто внешняя сторона полосы, обращенная к контакту дайки, более четкая, резкая и прямолинейная, чем внутренняя (рис. I,а, рис. 2,б). Эта закономерность устанавливается в реликтовых полосах различной мощности, но измененных относительно слабо. При более интенсивном метаморфизме, когда вкрапленная цеолитизация распространяется и внутри меланократовых полос, эти различия исчезают. Реликтовые полосы по простиранию переходят в цеолитизированные части дайки плавно, постепенно или резко.

Дайки базальтовых и диабазовых порфиритов бассейнов рек Лалвар и Бачаган изобилуют ритмично-полосчатыми текстурами, прослеживаемыми вдоль всей длины. Строение, состав и цвет полос различны. Вещественные и структурные признаки в границах данной полосы относительно устойчивые. Границы между ними, как правило, резкие, нередко постепенные. Фрагментарное развитие и интенсивность цеолитовой минерализации определяют формы реликтов исходных пород, которые в дайках сохраняются в виде слоеподобных крутопадающих полос. Это псевдодайки, по терминологии В.Миллера (Miller, 1945), или антидайки - по Г.Л.Поспелову (1973). Между ними расположены цеолитизированные полосы аналогичной формы (метадайки). Каждая ритмично-полосчатая дайка, таким образом, состоит из набора ритмично чередующихся дайкоподобных цеолитизированных зон или метасоматитов (метадаек) и неизмененных реликтовых зон аналогичной формы (антидаек).

Ритмично-полосчатые текстуры сопровождают каждую цеолитизированную дайку независимо от мощности и элементов залегания. Чаще они симметричны или грубо симметричны (рис. I,б, рис. 2,а). Иногда полосчатость выражена только на одной стороне дайки. Наиболее четко и хорошо полосчатость выражена между контактовой поверхностью и осевой линией дайки (рис. 2,а). Обычно центральная и непосредственно приконтактовая части представлены лейкократовыми метасоматитами, т.е. наиболее интенсивно цеолитизированы, причем центральная зона сравнительно однородна и наиболее мощная во всех дайках. В этих частях отмечаются тонко-ритмичные, линейные, ленточные, плоско-параллельные текстуры (в краевых частях, рис. 2,б), нередко в форме изоклинальных складок или концентрически-зональных образований, длинная ось которых параллельна стенкам дайки (в центральных частях, рис. I,в). В некоторых дайках параллельные полосы замыкаются с двух сторон, образуя ячейки длиной в 15-20 м.

Для массивных даек очень характерны плоскости делимости или раскола, которые строго параллельны границам даек. Эти плоскости, которые одновременно совпадают с плоскостями "черно-белой" полосчатости, прослеживаются и внутри цеолитизированных участков. По существу они служили путями (фронтами) диффузии вещества и цеолитизации.

Все эти факты никак не согласуются с представлениями об об-

разовании полосчатости рассматриваемых даек в результате магматической дифференциации или ассилияции вмещающих пород обогащенной летучими движущейся магмой. Цеолиты раньше были отмечены только в дайках бассейна р. Вачаган /Казарян, Ананян, 1966/, но им не придавали никакого значения. Между тем генетическая информация записана в составе и строении именно цеолитизированных полос. Гидротермальные цеолиты являются единственным источником сведений о генезисе ритмичной полосчатости базальтовых даек и сфероидов шаровых лав. Благодаря им в цеолитизированных дайках проявляются структурные и текстурные признаки, характерные для дифференцированных расслоенных тел. Полосы эти ориентированы очень круто, почти вертикально, и поэтому исключается более или менее ощущимое расслоение в быстро кристаллизующихся маломощных дайках основного состава. Между тем все структурные особенности цеолитизированных даек указывают на влияние движения магмы в каналах дайки. Структуры, параллельные контактным поверхностям дайки, не могут быть получены при метасоматозе "на пустом месте", без предварительной подготовки, дикенингом магмы или прототектоникой. Хотя экспериментально доказано, что ритмично-полосчатые текстуры могут образоваться и при метасоматизме однородных пород (Поспелов, 1973, Царев, 1978), факт строгого параллелизма этих текстур по отношению к контактам, всем изгибам, даже незначительным неровностям поверхности даек указывает на первичную скрытую ориентировку. В свежих или прошлифованных типах базальтовых даек такая ориентировка или флюидальность не заметна. Но она проявляется при фрагментарном метасоматизме. Цеолитизация играет роль травления или мечения атомов, раскрывая внутренние первичные очень тонкие текстуры и поразительные неоднородности внутри даек базальтового состава. Безусловно, в т.н. бесструктурных магматических основных дайках скрыта структурная и, по-видимому, также вещественная анизотропия выражена очень сильно.

На первый взгляд кажется, что магматические факторы не участвуют в расслоении, но их контролирующая роль важна и является определяющей при фрагментарном метасоматизме. Ритмично-полосчатые текстуры обусловлены кристаллизацией магмы и фрагментарным метасоматизмом пород в условиях направляющей роли скрытой флюидальности и протектонической трещиноватости. Цеолитизация не только выявляет видимую ритмичную полосчатость, но и служит ключом

к пониманию внутреннего строения внешне однородных массивных даек основного состава. Таким образом, природа полосчатости различна и формирование ее происходило в результате воздействия двух процессов — кристаллизации магмы и последующей цеолитизации в условиях направляющей роли первичных структур.

Теоретические вопросы фрагментарного метасоматизма, а также механизмами возникновения ритмичных текстур рассмотрены в работах Г.Л.Поспелова (1973) и Д.И.Царева (1978). Экспериментально доказано, что сложные формы ритмичных или слоевидных текстур могут образоваться и по однородным породам, что "любая форма диффузионного переноса является структурообразующим фактором" (Поспелов, 1973) и " псевдофлюидальность при метасоматических процессах может возникать и в нерассланцованных породах", т.е. в породах, подготовленных тектоникой линейных путей" (Царев, 1978).

Текстуры, наблюдаемые в дайках, имеют лишь внешнее сходство с истинными ритмичными текстурами пород, т.к. элементы ритмичности в цеолитизированных дайках генетически различные (сочетание магматических и метасоматических полос). В истинных ритмично-полосчатых текстурах вся система образуется одновременно. Ритмичность при цеолитизации возникает вследствие того, что внутри метасоматитов остаются правильные дайкоподобные полосы исходной породы. Цеолитизация развивается не сплошным фронтом, как, например, в дайках Аджарии (Петров, 1935), а фрагментарно, по многочисленным прототектоническим и другим линейным путям одновременно. При очень интенсивной и продолжительной цеолитизации исчезает всякая полосчатость и вся дайка превращается в массивный цеолитовый метасоматит, точнее — широксен-цеолитовой миксометасоматит (по терминологии Г.Л.Поспелова), т.к. широксены в цеолитовой фации являются устойчивыми и не замещаются. Окончательное формирование наблюдаемых текстур в цеолитизированных дайках может быть объяснено магматическими (образование скрытой флюидальности и прототектонической трещиноватости, параллельной контактам даек, т.е. необходимых путей для диффузии) и метасоматическими (фрагментарный метасоматизм и проявление ритмичной полосчатости) факторами структурообразования.

Цеолитизация в дайках и вмещающих породах выражается раз-

ными текстурными рисунками при одном механизме и характере поступления вещества к месту реакции; фронт замещения, как во вмещающих агломератовых и шаровых лавах, так и в дайках, указывает на передвижение вещества путем диффузии по микропорам и капиллярам. Никаких микротрещин и прожилков, перпендикулярных к полосчатости, не наблюдается. Цеолиты кристаллизовались в отдельных точках исходной породы впереди линии фронта сплошного развития их, образуя микро- и макрогранобластовые агрегаты и порфиробласти. Число их на фоне исходной породы постепенно возрастает и в конце концов они, сливаясь, образуют относительно однородную сплошную светлую полосу, в которой кроме цеолитов присутствуют реликты исходной породы — широксен, магнетит, часто плагиоклаз и хлориты. Интенсивность осветления зависит от продолжительности цеолитизации.

Линия фронта цеолитизации в дайках более или менее резкая, но обычно она выражена несколько выдвинутыми вперед порфиробластами и агрегатами цеолитов. Эта линия, т.е. внешняя граница лейкократовой полосы, обращена в сторону контакта дайки. В то же время границы с жилками или микротрещинами наступления цеолитизации не отмечаются. Для внутренних контуров лейкократовых полос характерна совершенно прямолинейная резкая граница, не только без жилок или трещинок, но и без порфиробластов цеолитов.

Предполагается, что замещение по этой линии (т.е. резкой внутренней границей лейкократовой полосы) не происходит. Это неподвижный фронт и цеолитизация протекает и наступает в одном направлении — от центра симметрично в сторону обоих контактов.

Судя по системе параллельных прототрещин или флюидальных текстур, которые появляются в цеолитизированных участках даек, можно сказать, что пути массопереноса различные. Вначале через серию параллельных тонких продольных прототрещин вещество передвигается путем инфильтрации, а затем через капилляры или микропоры проникает к месту реакции путем диффузии в неподвижных растворах. Если в системе прототрещин основной формой массопереноса является инфильтрация, то при цеолитизации, которое происходит в направлении от центра к границам дайки, перпендикулярно к плоскостям протрещин в межтрещинном пространстве, су-

щественную роль играют диффузионные процессы и капиллярные явления.

В заключение следует отметить, что полосчатость даек является результатом дискретного распределения цеолитов в пространстве. Прерывистость выражается в изменении содержания цеолитов скачками вдоль скрытых флюидальных текстур или продольных прототектонических трещин. Такое ритмично-полосчатое распределение цеолитов является отражением стабильных, но сложных процессов метасоматизма базальтовых даек в поствулканический гидротермальный дорудный этап цеолитизации. Главная причина возникновения полосчатости в базальтовых дайках Алавердского и Кафанского рудных районов - фрагментарный диффузионный метасоматизм, когда цеолитизация развивается в капиллярно-попристой среде в условиях устойчивого ориентированного перемещения элементов, в данном случае от центральной части дайки к стенкам перпендикулярно плоскостям продольных прототектонических трещин. Фиксируемые цеолитизацией текстуры являются унаследованными от первичных, внешне однородных массивных базальтовых даек. Таким образом, "черно-белая" расслоенность в ритмично-полосчатых дайках бассейна р.р. Лалвар и Ворчи, обусловленная чередованием светлых цеолитизированных и темных полос, гетерогенна и вызвана как магматическими, так и метасоматическими процессами.

ЛИТЕРАТУРА

Болк Р. Структурные особенности изверженных горных пород. Москва-Ленинград, Госгеолтехиздат, 1946, 212 с.

Казарян А.Г., Ананян Э.В. К вопросу полосчатости в дайках диабазовых порфиритов. Доклады АН СССР, 1966, I69, № 2, с. 441-445.

Казарян Г.А. О полосчатом строении диабаз-порфиритовых даек Алавердского района. Записки Армянского отделения Всесоюзного минералогического общества, 1959, № I, с.61-69.

Казарян Г.А. Основные закономерности магматизма Алавердского рудного района. В кн.: "Петрология интрузивных комплексов важнейших рудных районов Армянской ССР", Ереван, Изд. АН АрмССР, 1971, с. 7-100.

Набоко С.И. Гидротермальный метаморфизм пород в вулканических областях, Москва, Изд. АН СССР, 1963, с. I7I.

Петров В.П. Жильные породы Аджаристана. Материалы по геологии и петрографии Грузии, вып. I. Труды СОПС АН СССР, серия Закавказская, 1935, № I4, с. 167-178.

Поспелов Г.Л. Парадоксы, геолого-физическая сущность и механизмы метасоматоза. Новосибирск, "Наука", 1973, с.354.

Царев Д.И. Метасоматоз и конвергенция в петрологии и рудогенезе. Москва, "Наука", 1978, с.308.

Miller J.W. Observation on pseudo-dikes and foliated dikes. Journal Geology, 1945, v.LIII, n.3, p.175-190.

А.А.Коджоян, С.С.Миртчян

ТИПОМОРФНЫЕ ОСОБЕННОСТИ СФАЛЕРИТОВ ПОЛИМЕТАЛЛИЧЕСКИХ МЕСТОРОДЖЕНИЙ АРМЯНСКОЙ ССР

К настоящему времени у авторов накопился большой фактический материал, относящийся к исследованию типоморфных свойств сфалеритов, позволяющий более выявить специфические особенности сфалеритов в связи с условиями их образования.

К числу исследованных типоморфных свойств сфалеритов относятся: химический состав, содержание примесей, окраска, облик кристаллов, их физические свойства, как люминесценция, электропроводность и др. В связи с ограниченностью объема статьи мы остановимся на морфологических особенностях сфалерита, на химическом составе и элементах-спутниках. Попытаемся также выяснить их влияние на кристаллохимические свойства сфалеритов и найти зависимость их состава от конкретных условий процесса рудообразования.

Морфологические особенности сфалеритов

Важным типоморфным признаком минералов является морфология кристаллов, которая довольно чувствительна к изменению физико-химических условий среди минералообразования и поэтому способна отразить в той или иной мере условия образования минералов. По образному выражению Н.П.Джкина (1972) "кристалл неизбежно несет на себе следы предыдущих моментов своего существования и по его форме, по скелеттуре граней, мелочам и деталям его поверхности мы можем читать его прошлое".

Исследованные нами сфалериты из разнотипных полиметаллических месторождений представлены в основном кристаллически - зернистыми образованиями; встречаются и колломорфные их агрегаты, которые пользуются весьма ограниченным и локальным распространением.

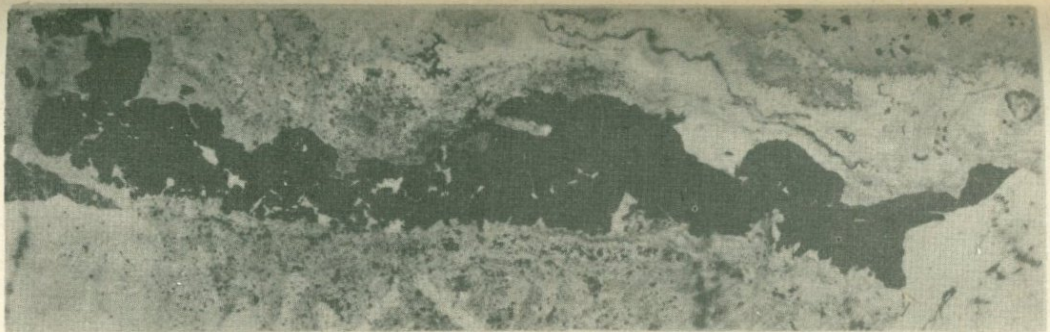


Рис. 1. Промыкное выделение колючоморфного сфалерита в липарито-дацитовом туфе. Сфалерит частично раздроблен и замещен кварцем. М-ник Круглая Шинка. Прозрачный шлиф. Ник. II. Ув. 8.

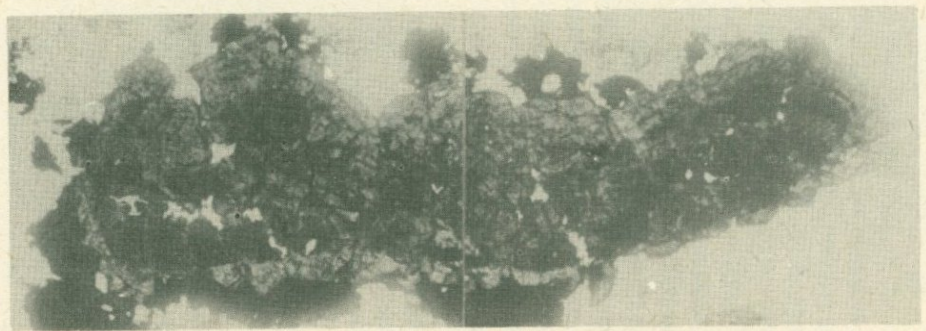


Рис. 2. Зональное строение почковидных образований сфалерита. Сфалерит с периферии частично разъедается пиритом (черное). Белое — липарито-дацитовый туф. Прозрачный шлиф. Ник. II. Ув. 30.

Колломорфный сфалерит обнаружен в основном на рудопроявлении Круглая Шашка в виде мелкозернистых склений и неравномерной вкрапленности минерала в окварцованных туфах. Изредка наблюдаются цепочные выделения изолированных почек сфалерита вдоль тонких трещин и коротенькие прожилки (рис. I). Под микроскопом в прозрачно-полированных шлифах метаколлоидный сфалерит характеризуется тонкозернистым строением и образует концентрически-зональные почки и сферические агрегаты размером до 1,5 см. Отдельные зоны роста почки имеют светло-желтую, буровато-красную и бурую окраски. На рис. 2 колломорфный сфалерит состоит из серии срастаящихся друг с другом почковидных образований размером до 2,2 мм. Почковидные образования состоят в основном из медово-желтого сфалерита, а зоны представлены буровато-красной разностью. Возможно, что зональное строение почковидных агрегатов сфалерита является следствием ритмичной коагуляции рудного вещества; при этом различная окраска отдельных зон сфалерита очевидно связана с изменением количественного соотношения ионов-хромофоров, разновременно участвующих в коагуляциях, в зависимости от достигнутой концентрации. Рентгенографическое исследование колломорфного сфалерита показало, что этот сфалерит представлен сульфидом цинка и не содержит в себе виртцитовой молекулы.

Изучение угольно-коллодиевых реплик с естественных сколов колломорфного сфалерита под электронным микроскопом позволило выявить ряд особенностей внутреннего строения сульфида цинка. Как подтвердилось, почковидные образования сфалерита имеют концентрически-зональное, скорлуповатое строение, которое проявляется еще в момент зарождения минерала (рис. 3).

Наряду с почковидными образованиями сфалерита во вкрапленных рудах встречаются и глобулы (рис. 4), имеющие правильную форму шара и светло-желтую окраску. Размеры глобул обычно не превышают 0,3 мм. Часто глобулы сфалерита разъедаются и замещаются мелкозернистым кварцем, чем очевидно и объясняется их редкая встречаемость в рудах.

Для месторождений всех типов характерны кристаллически-зернистые агрегаты сфалерита.

Среди кристаллически-зернистых агрегатов сфалерита выделяются мелко- и крупнозер-



Рис. 3. Скородитовое строение коллеморфного сферулита. И-ниe Круглая Шинка. Ув. 9000 (электронная микрофотография) 1 мм на фото =0,037 мк.

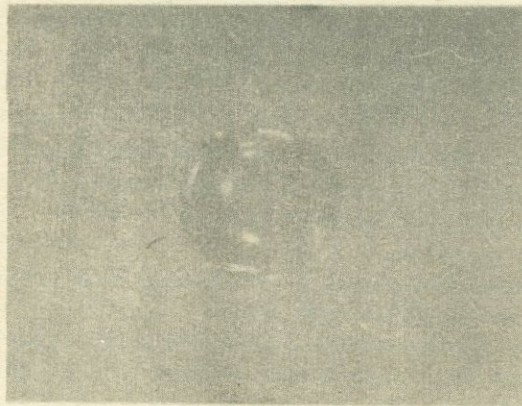


Рис. 4. Глобуль сфалерита. Ув. 100.

нистые разности. В крупнозернистом сфалерите нередко встречаются хорошо ограниченные кристаллы, свободно растущие на стенках

трещинок и пустоток. Эти кристаллы обычно представлены разнообразными комбинациями простых форм; часто искажены, приобретают уплощенный облик, в результате чего грани простых форм имеют неодинаковое развитие. Чаще всего кристаллы сфалерита имеют тетраэдрический облик. Изредка встречаются кубические кристаллы с острыми ребрами и гладкими гранями, вершины которых притуплены октаэдрическими гранями (рис. 5). Очень редко встречаются кристаллы октаэдрического габитуса (рис. 6) с неизменительным развитием граней тригон-тритетраэдра и ромбо-декаэдра. Наблюдающиеся на гранях тетраэдра торцы тонких сту-



Рис. 5. Кубический кристалл сфалерита. Темно-серое - андезитовый порфирит. М-ние Марцигет. Полированный шлиф. Ув. 40.

пеней и склоны пирамидок роста соответствуют тригон-тритетраэдру. Кристалл имеет величину 0,35 мм и светло-желтую окраску.

Отличительной особенностью сфалерита из большинства месторождений является то, что он в значительной степени несет на себе следы динамометаморфизма, выразившиеся в деформации зерен с образованием тончайших полисинтетических двойников и отчасти перекристаллизации крупнокристаллических агрегатов в мелкокристаллические.

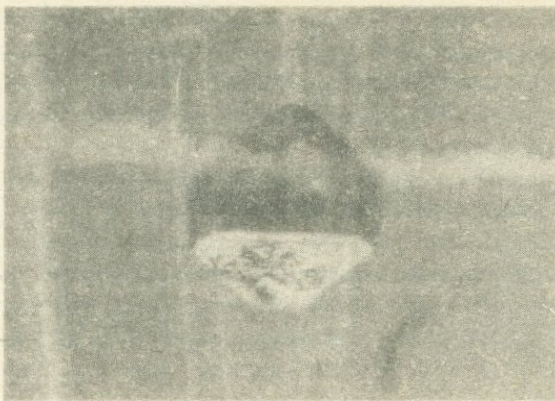


Рис. 6. Кристалл сфалерита октаэдрической формы. Ув. 100.

Химизм сфалеритов

В исследуемых нами сфалеритах из различных типов полиметаллических месторождений региона постоянно фиксировался широкий диапазон примесей, составляющих так называемый "микропарагенезис" - Fe, Mn, Co, Cd, Ge, Ga, Cu, Pb, Ag, Au, Sb и др.

Однако, при общности состава, количественное распределение элементов-примесей в различных сфалеритах различное, что, естественно, является отражением условий, в которых образуется сфалерит. В таблице I приводятся содержания элементов-примесей в сфалеритах из различных полиметаллических месторождений. Все элементы-примеси в них можно разделить на две группы: первая - элементы-примеси, отмечавшиеся во всех сфалеритах независимо от концентрации (Fe, Mn, Cd, Ga, Ge, In). Для элементов-примесей этой группы характерна малая дисперсия их содержаний. Вторая группа - это примеси, особенность распределения которых заключается в том, что они в сфалеритах различных типов руд проявляются по-разному (Cu, Pb, Ag, Au, Bi, Sb, As, Mo и др.).

Так, медь, свинец и сурьма проявляют тенденцию концентрироваться в сфалеритах свинцово-цинкового типа руд; кадмий, герма-

ний, галлий, серебро, индий - в сфалеритах колчеданно-полиметаллического типа руд; молибден, висмут, мышьяк, сурьма - тяготеют к сфалеритам полиметаллического типа руд. Естественно, что причина особенностей распределения примесей в сфалерите кроется в условиях его образования. Это наглядно наблюдается на примере поведения железа.

Изучение количественного распределения железа в сфалеритах позволило уточнить особенности его поведения в процессе формирования минерала. Так, например, распределение железа в сфалеритах выражается низким и устойчивым содержанием со слабо выраженной дисперсией. Равномерно низкая, как бы снивелированная концентрация железа в сфалеритах характерна не только в пределах одного и того же типа руд, но и всего региона в целом (таблица I).

Маложелезистость сфалеритов устанавливается при сравнении их с таковыми других регионов Союза. Так, средняя концентрация железа в сфалеритах Армении примерно равна 1,10%, в то время как в соседнем регионе на Северном Кавказе среднее содержание железа в сфалеритах достигает 4,7-5%, в Восточном Забайкалье - 9,66%, в Рудном Алтае - 2,3%.

Таким образом, маложелезистость сфалеритов является специфической особенностью полиметаллических месторождений Армении, позволяющей рассматривать этот регион как своеобразную геохимическую провинцию, в которой характер распределения железа в сфалеритах из разнотипных полиметаллических месторождений, залегающих в различных геотектонических зонах, в общих чертах остается неизменным, низким и устойчивым с малой дисперсией, способной проявляться даже в пределах одного и того же типа руд.

Выяснение условий образования сфалеритов с различным содержанием железа было целью многих экспериментальных исследований, пытавшихся определить зависимость между температурой кристаллизации сфалерита и степенью его насыщенности железом. Известно /4/, что железо относится к числу элементов, коэффициент распределения которого чувствителен к колебаниям температуры. Изменение температурного уровня изменяет интенсивность вхождения железа в решетку сфалерита. Отсюда вывелоось как общее правило то, что гидротермальные сфалериты, образовавшие-

Таблица I

Средние содержания элементов-примесей в сфалеритах
(по данным количественных спектральных анализов)

Типы руд	Полиметаллический					Свинцово-цинковый			
	Ахтала	Шаумян	Газма	Гюмушки- хана	Арманис	Круглая Шишка	Приволь- ное	Ардви	Марцигет
Fe	I,2	0,155	0,8	I,24	I,56	0,9	I,8	I,36	0,86
Mn	0,026	0,906	0,33	0,25	0,47	0,0037	0,27	0,1	0,0024
Ni	-	0,0005	0,00043	0,00062	0,0005	0,00036	0,0007	0,0004	0,00023
Co	-	0,0033	0,0035	0,0048	0,0068	0,0024	0,0073	0,0086	0,0031
Mo	0,007	0,0005	-	-	-	-	-	-	-
Cu	0,410	0,706	0,023	0,018	0,75	0,002	0,13	0,29	0,033
Pb	2,0	0,923	0,04	0,04	I,63	0,05	0,13	0,14	0,44
Ag	0,0028	0,188	0,0005	0,006	0,0065	0,0054	0,00045	0,0045	0,003
Sb	0,048	0,053	0,0032	0,003	0,0025	0,005	-	0,0018	-
Bi	-	0,0016	0,0004	0,0027	0,035	0,0003	0,0003	0,00042	0,00023
As	0,02	0,056	-	-	0,003	-	-	-	0,024
Cd	0,42	0,548	0,21	0,24	0,107	0,18	0,14	0,16	0,2
Te	-	0,129	0,007	0,005	0,002	0,01	0,009	0,012	-
Tl	-	-	-	0,0003	-	-	0,027	-	-
Sn	-	0,004	0,003	0,0001	-	0,0005	-	0,0003	0,00077
Ge	0,007	0,004	-	0,0005	0,001	0,0006	0,0003	-	0,0005
Ga	0,007	0,004	0,0004	0,0006	0,001	0,0013	0,0002	0,0005	0,00078
In	0,0003	0,008	0,0007	0,0009	-	-	-	-	0,0006
Hg	0,0017	0,002	0,00003	-	-	0,00011	-	0,0022	0,0022
Au	0,0012	0,0112	-	-	-	-	0,0003	-	-

ся при высоких температурах, всегда содержат высокие концентрации железа, а низкие концентрации железа в сфалеритах служат доказательством средней и низкой температуры их образования.

Если рассматривать слабо выявленную дисперсию содержаний железа в сфалеритах из разнотипных полиметаллических месторождений региона как результат дисперсии температуры образования сфалеритов, тогда следует иметь в виду, что сфалериты из разных типов руд образовались в очень близких температурных условиях.

Однако, работы А.А.Годовикова, А.Б.Птицина / 1 /, Л.В.Чернишева, В.Н.Анфилогова / 15 / не подтвердили наличие этого эффекта. Они отмечали, что состав насыщенных железом сфалеритов может и при постоянной температуре изменяться в весьма широких пределах в зависимости от активности серы, кислотности растворов и их окислительного потенциала. В какой-то мере это подтверждается нашими работами. О формировании сфалеритов со сравнительно высоким содержанием железа в условиях повышенной кислотности растворов говорят данные по Привольненскому свинцово-цинковому месторождению, руды которого характеризуются широким развитием кварц-магнетит-гематитового парагенезиса. Образование магнетита и гематита в сульфидную стадию процесса рудообразования свидетельствует о повышении роли кислорода и понижении активности серы, об уменьшении щелочности растворов и переход их на каком-то интервале в кислые. Это, возможно, связано с нарушением равновесия системы, вызванное тектоническими подвижками, обусловившими возникновение трещин и доступ кислорода по ним в результате чего в процессе кристаллизации сульфидов активизируется O_2^- , который содействует образованию гематита и магнетита - минералов, характерных для кислой среды. Одновременно парагенезис сфалерита с гематитом свидетельствует о понижении восстановительного потенциала среди к моменту отложения сфалерита. Влияние окислительного потенциала на концентрацию железа в сфалерите можно видеть также на примере Ахтальского месторождения. В данном случае об этом свидетельствует широкое развитие на месторождении барита, находящегося в тесной ассоциации со сфалеритом, халькопиритом, галенитом и содержит высокий продукт окисления серы - комплексный анион (SO_4^{2-}) устойчивый лишь в явно окислительных условиях. Поэтому рассматриваемые сфалериты сравнительно богаче железом.

В отличие от Привольненского и Ахтальского месторождений, где процесс формирования сфалеритов протекал в обстановке относительно высокого окислительного потенциала, формирование сфалеритов в месторождениях остальных типов руд протекало в более восстановительных условиях. Содержание железа в сфалеритах этих месторождений заметно уменьшается. Особенно низкими концентрациями железа отличаются сфалериты Шаумянского месторождения (0,155%).

Можно заключить, что кислотно-щелочной и окислительно-восстановительный режим растворов оказывает более существенное влияние на механизм входления железа в сфалерит, чем температура, так как режим растворов определяет концентрацию ионов Fe, Zn, S, формы переноса и подвижность их в гидротермальных условиях. Основными примесями и типоморфными элементами в сфалеритах, наряду с железом, являются кадмий, германий и галлий. Содержание этих элементов-примесей в сфалеритах из разнотипных полиметаллических месторождений, является более или менее выдержаным в месторождениях и не зависит от их расположения в той или иной геотектонической зоне.

Среднее содержание кадмия в сфалеритах региона составляет примерно 0,3%. При этом дисперсия содержаний кадмия в сфалеритах весьма незначительна, несмотря на то, что проявляется в пределах одного типа руд, даже в пределах одного месторождения.

Принято считать, что наиболее высокие содержания кадмия в сфалеритах характерны для его маложелезистых разностей. Однако, в исследованных сфалеритах отсутствует какая-либо закономерная связь между кадмием и железом. Степень железистости сфалеритов сама по себе не оказывает влияния на содержание в них кадмия. В одних случаях (месторождение Шаумян, Марцигет) более высокими содержаниями кадмия характеризуются маложелезистые сфалериты, тогда как в других месторождениях (Ахтала, Привольное, Армавир) кадмием богаче сфалериты со сравнительно высоким содержанием железа. Таким образом, характер поведения кадмия в сфалеритах из разнотипных полиметаллических месторождений региона зависит не от типа месторождений, а от геохимических особенностей минерализации.

Аналогичная картина наблюдается и в отношении германия и галлия. Для этих элементов, как и для кадмия характерна весьма не-

значительная дисперсия содержаний в сфалеритах. Исключение составляют сфалериты из колчеданно-полиметаллического типа руд, в которых содержание галлия и германия примерно составляет 0,005%, что в десять раз превышает их концентрацию в сфалеритах из других типов руд. По-видимому, это связано с относительным распространением в рудах минералов германия. Среди них установлены германит, реньерит, которые распространены в рудах крайне неравномерно.

Широко распространенной примесью и типоморфным элементом в сфалеритах полиметаллических месторождений рассматриваемого региона является свинец. Сравнительный анализ сфалеритов, отобранных из разнотипных полиметаллических месторождений региона показывает, что концентрация свинца в них меняется в широких пределах (от 0,04% до 2,0%). При этом устанавливается интересная зависимость: максимально высокие содержания свинца отмечаются в сфалеритах, которые заметно обогащены медью и отчасти сурьмой (месторождения Ахтала, Шаумян, Арманис). В сфалеритах месторождений Круглая Шишка, Марцигет, Газма, Гюмушхана, в которых содержание меди составляет сотые и тысячные доли процента, свинец встречается в весьма малых количествах (0,045%). Конечно, в данном случае нельзя говорить о какой-либо корреляционной зависимости между медью, свинцом и сурьмой в сфалерите. Наблюдаемая связь, по-видимому, определяется совместными условиями их осаждения.

При анализе поведения свинца в сфалерите, естественно возникает вопрос о формах нахождения свинца. Многие исследователи объясняют высокие содержания свинца в сфалерите наличием в последнем свинцовых минералов. Однако, полный анализ сфалеритов и его микроскопическое изучение убедили нас, что исследованные сфалериты свободны от примеси свинцовых минералов. В справедливости последнего утверждения нас убеждает тот факт, что изменение количественных содержаний свинца в сфалеритах вызывает изменение физических свойств последнего - таких как окраска, люминесцентные свойства и др. Подобное явление не может быть связано лишь с обычновенной механической примесью сульфида свинца. Эта мысль подтверждается при изучении окраски и люминесцентных свойств сфалеритов.

Окраска сфалерита занимает одно из ведущих мест среди его

типоморфных признаков. Известно, что разнообразие окрасок сфалерита зависит главным образом от качественного состава и количественных соотношений элементов-хромофоров в его составе. Следовательно, окраска сфалерита чутко реагирует на изменения, происходящие в составе минералообразующих растворов, и в каждом конкретном случае он приобретает свои специфические особенности окраски. Отсюда и важное диагностическое свойство окраски.

Большой интерес, с точки зрения богатства цветов и оттенков, представляют сфалериты Армении. Встречаются его разновидности от бесцветных до черных с редкими по красоте оттенками красок (светло-зеленая, вишнево-красная и др.). Наибольшим разнообразием цветов отличаются сфалериты Газмисского и Марцигетского месторождений. Здесь широкое развитие получили вишнево-красные, зеленые и коричневые сфалериты. Во всех остальных месторождениях превалирующими являются черные и медово-желтые разности сфалеритов.

Сопоставление разноокрашенных сфалеритов из полиметаллических месторождений региона показало определенную последовательность их выделения. Повсеместно на месторождениях, в пределах рудных тел, на нижних горизонтах сфалериты преимущественно представлены черной разностью, светлые зерна встречаются в единичных случаях. От нижних горизонтов к верхним заметно увеличивается количество светлоокрашенных сфалеритов.

Принято считать, что окраска сфалеритов обусловлена главным образом изоморфной примесью железа и в меньшей степени марганца и кадмия - при переходе от светлых раностей к темным содержание железа в них увеличивается. Е.К.Лазаренко /5/, изучая химический состав сфалеритов, установил закономерность в изменении их цвета от почти бесцветных до темно-коричневых в зависимости от содержания железа в них. М.И.Моисеева /8/, изучавшая сфалериты, заключила, что зеленый цвет сфалеритов связан с примесью кобальта. А.А.Ясинская /18/ заключила, что зеленая и желтая окраски сфалеритов вызваны присутствием в них двухвалентного железа. Основной причиной красной окраски сфалерита Е.Г.Проценко, М.М.Сливко /9/, изучавшие спектры поглощения красного сфалерита, считают примесь кадмия. Кроме того, авторы считают немаловажной роль серебра, мышьяка и сурьмы. А.Н.Платонов /10/ считает, что ведущая роль в окраске сфалеритов, несомненно, принадлежит изоморфной

примеси - железу. На основании данных по оптическим спектрам поглощения железистых сфалеритов отмечается, что желтая, бурая, коричневая и черная окраски определяются прежде всего интенсивностью полосы переноса заряда Fe^{2+} . Присутствие других элементов-примесей группы железа вносит лишь небольшое дополнение в смещение полосы переноса заряда.

По данным А.Н.Платонова, заметное влияние на окраску сфалерита оказывает также примесь Co^{2+} . Интенсивность полосы поглощения, связанная с присутствием Co^{2+} , захватывает желто-оранжевую и красную области спектра. А.Н.Платонов, А.Т.Таращан связывают красную окраску сфалерита с примесью олова. Авторами показано, что полоса поглощения, связанная с присутствием Sn^{4+} , располагается в сине-зеленой области спектра.

Из приведенного обзора литературы видно, что вопрос о причинах окраски сфалеритов нельзя считать окончательно решенным. Ниже перейдем к рассмотрению поведения некоторых элементов-хромофоров в разноокрашенных сфалеритах.

Характерной особенностью сфалеритов региона является то, что в рудах светлые и темные разности их, как правило, встречаются совместно; это, в свою очередь, значительно облегчает изучение взаимоотношений разноокрашенных сфалеритов в комбинированных прозрачно-полированных и полированных шлифах.

Было установлено /17/, что в кристаллических зернах медово-желтого сфалерита вдоль плоскостей спайности закономерно располагаются вrostки черной разности его. При этом, в одном случае зерна имеют зональное строение с параллельными плоскостями, а в другом - решетчатое, с ромбической формой решеток (рис. 7). По мнению ряда авторов /2, 11, 16/, подобное явление рассматривается как результат самоочистки вещества, происходящей при процессах перекристаллизации. При этом происходит переход темных, богатых железом сфалеритов в светлые безжелезистые разности их с появлением новообразованного пирротина или пирита на границе или по спайности зерен сфалерита за счет освободившегося железа.

Вместе с тем, принимается во внимание возможность того, что микроскопические выделения сульфидов в полях сфалерита могут оказаться не новообразованиями, а первичными минералами /3/, и что изменение окраски сфалеритов может быть связано с изменениями

ем состава растворов или наложением более поздних минералов. Это наглядно видно при микроскопическом изучении взаимоотношений халькопирита и галенита с зернами светлоокрашенных сфалеритов (рис. 8), на стыке которых наблюдается потемнение окраски



Рис.7. Решетчатое строение сфалерита, состоящего из медово-желтой и черной разностей. М-ние Марцигет, Прозрачный шлиф. Ник.П. Ув.70.

сфалерита. При этом, зерна сфалерита приобретают зональное строение с различной окраской отдельных зон. Аналогичное явление было описано Е.К.Лазаренко /5/ в полосчатых медно-цинковых рудах Среднего Урала, где вдоль прожилков пирита и халькопирита наблюдалось потемнение окраски коричневого сфалерита. Такое явление, возможно, связано с изменением ионов-хромофоров (Си, РЬ) в растворе в ходе процесса кристаллизации минералов. Это можно объяснить следующим образом. В первую стадию минерализации, в ходе завершения кристаллизации медово-желтого сфалерита, в растворе повышается роль ионов меди, свинца, железа, которые диффундируют вдоль кристаллографических направлений и приводят к локальной перекристаллизации медово-желтого сфалерита с образованием вростков черной разности его. С развитием процесса замещения происходит слияние соседних вростков и медово-желтый сфалерит уступает место черному. Такая схема образования разноокрашенных сфалеритов подтверждается следующими фактами:

1. Границы между указанными разностями резкие (рис. 9), в то время как при процессах самоочистки переходы одной разности в другую были бы постепенными, наблюдалось бы неравномерное распределение окраски и пятна черного сфалерита в медово-желтом.

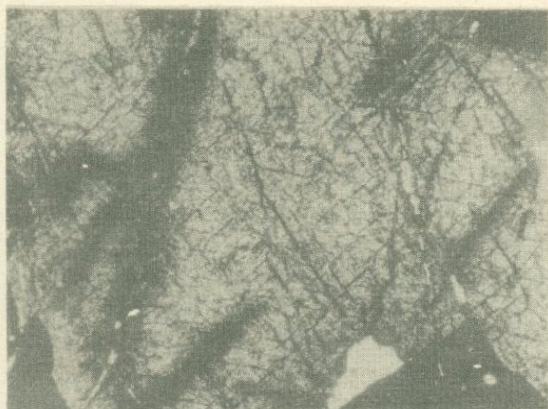


Рис.8. Изменение окраски медово-желтого сфалерита (светло-серое) на контакте с пиритом (черное). Прозрачно-полированный шлиф. Ник. П, Ув. 70

Помимо того, резкая граница между светлой и темной окрасками свидетельствует о том, что постепенное количественное изменение химизма среды вызывает резкое качественное изменение окраски. При этом отсутствуют какие-либо внешние воздействия, как привнос новой порции растворов, отличных по составу от предыдущих.

2. Зерна медово-желтого сфалерита часто обволакиваются черной разностью, что свидетельствует о развитии одной разности за счет другой.

3. В прозрачных шлифах наблюдаются явления пересечения медово-желтого сфалерита микропроекциями черной разности, причем отходящие от микропроекции апофизы как бы растекаются по плоскости спайности первого и затухают в нем (рис. 10).

4. В полях черного сфалерита встречается тонкая вкрапленность

халькопирита и галенита, тогда как медово-желтые разности не имеют включений. При самоочистке вещества сульфида обособлялись бы в полях светлой разности. Об отсутствии самоочистки

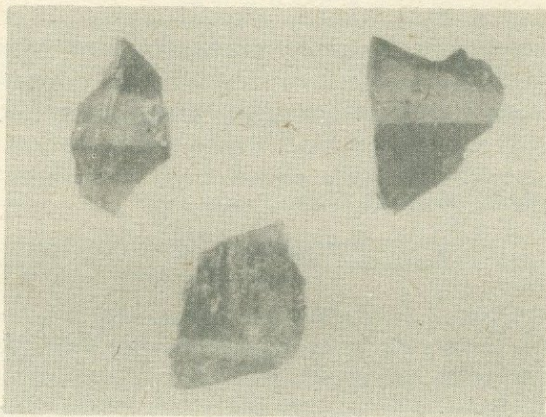


Рис. 9. Резкие границы между медово-желтыми и черными разностями сфалеритов. Ув.35.



Рис. 10. Микроэпюлинов черного сфалерита с апофизами в поле медово-желтой разности. Прозрачный шлиф. Ув.70.

вещества в сфалеритах свидетельствуют также результаты химических и спектральных анализов (табл.2).

Таблица 2

Химические анализы разноокрашенных сфалеритов (м-ние Марцигет)

Окраска минерала	Элементы								Сумма
	Zn	Fe	Mn	Cd	Cu	Pb	Co	S	
Медово- желтая 4 ^х	65,28	0,80	0,025	0,27	н/обн	н/обн	0,012	32,80	99,187
Черная 3 ^х	64,88	0,64	0,027	0,24	0,13	1,04	-	32,78	99,737

х/ Количество определений

Как выяснилось, по содержанию железа, марганца и кадмия разноокрашенные сфалериты почти не отличаются. Вопреки существующему представлению, в светлых разностях сфалеритов оказалось более высокое содержание железа, чем в его черных разностях. Вместе с тем выяснилось, что при переходе от светлых разностей к черным повышается содержание меди и свинца. Как это представляется?

С повышением в растворах концентрации меди в кристаллической решетке сфалерита ввиду близости ионных радиусов (Zn^{2+} - 0,74 Å, Cu^{2+} - 0,72 Å) происходит закономерная замена ионов цинка ионами меди без изменения объема анионного каркаса. В связи с этим в темных сфалеритах содержание меди более высокое. После завершения кристаллизации сфалерита развитие процессов катионного обмена с одновременным привносом железа приводит к разрушению решетки сфалерита с образованием на ее месте халькопирита, причем халькопирит часть элементов-примесей заимствует из сфалерита. Этим и объясняется образование периферийных каемок халькопирита вокруг зерен сфалерита и приуроченность микропроявлений халькопирита именно к полям сфалерита.

Содержание свинца в разноокрашенных сфалеритах колеблется в пределах 0,04% до 2,0%. При этом окраска сфалеритов изменяется с увеличением в них концентрации свинца.

Форма нахождения свинца в сфалерите и вызванные им изменения окраски последнего вызывают весьма противоречивые высказывания. Большинство исследователей единодушны в своем мнении, что свинец

в сфалерите может находиться только в виде механической примеси, в виде субмикроскопических включений минеральной формы свинца. Возможность входления ионов свинца в решетку сфалерита ставится под сомнение из-за различия их кристаллохимических свойств (таблица 3).

Другие исследователи считают возможным входление свинца в решетку сфалерита в ионной форме. Мы предполагаем, что ион свинца (Pb^{2+}) в сфалерите является интерстициальной (междуузельной) примесью. Свидетельством тому служит связь между окраской сфалерита и содержанием свинца в нем, а также способность даже малых

Таблица 3
Кристаллохимическая характеристика
свинца и цинка

Элементы	Электрические свойства		Величина радиусов (\AA)			Связь	Строение верхних слоев электронной оболочки	Координационное число	Координационное расположение связей
	/ЭК/ по Ферс- ману	/ОМ/ по Тром- шу	Про- води- мость элек- трич.	Атом- ный ради- ус по Боклю	Ион- ный ради- ус по Боклю				
Zn	2,20	10^8	проводник	1,39	0,83	2,35	Zn-S sp^3	4	Тетраэдрическое расположение связей
Pb	1,78	I	хороший проводник	1,75	1,26	2,96	Pb-S $d^2 sp^3$	6	Октаэдрическое расположение связей

количества свинца вызвать характерное свечение сфалерита, что возможно только в случае определенных взаимоотношений ионов свинца с решеткой сфалерита. Известно, что изменение окраски, способность люминесцировать появляется в результате изменения энергетического состояния минерала, вызванного нарушением периодичности структуры кристалла под действием присутствующих примесей.

Для проверки этого предположения были изучены сфалериты, полученные методом гидротермального синтеза /12/. Принцип эксперимен-

тов заключается в том, чтобы последовательно изменить концентрацию вводимой в раствор примеси свинца и наблюдать изменение физических свойств получаемых кристаллов сфалерита. Было установлено, что свинец, присутствующий в переотложном сфалерите в виде примеси оказывает существенное влияние на его физические свойства, в частности на окраску.

При переходе от светлых разностей через медовые к черным увеличивается содержание свинца, при этом содержание железа и марганца остается неизменным. Свинец в количествах от 0,0% до п % существенно влияет на окраску сфалеритов (таблица 4).

Т а б л и ц а 4.

Содержание свинца в разноокрашенных сфалеритах по данным количественных спектральных анализов

№ проб	Содержание свинца в сфалеритах (вес. %)			
	черный	красный	медовый	светло-желтый
32	-	-	-	0,0025
27	-	-	-	0,003
17	-	-	0,02	-
28	-	-	0,065	-
12	-	0,3	-	-
18	-	0,17	-	-
23	-	0,35	-	-
16	I	--	-	-
21	5	-	-	-

Приведенные данные зависимости окраски сфалеритов от содержания свинца в нем в условиях экспериментов являются хорошим материалом для иллюстрации того, что свинец является ионом-хромофором.

Результаты многочисленных определений параметров элементарной ячейки сфалерита, содержащего свинец, показывают полный разброс данных и, казалось бы, невозможно вывести какой-либо закономерности из имеющегося материала. Вместе с тем вывод средней статистической оценки, выражавшей зависимость между содержанием свинца и величиной параметра элементарной ячейки разноокрашенных сфалеритов, показал некоторую связь между рассматриваемыми

величинами, свидетельствующую о влиянии концентрации ионов свинца на размер параметра решетки сфалерита.

Таким образом, можно считать установленной достаточно тесную связь между концентрациями свинца и меди и окраской сфалеритов. При этом характер распределения этих элементов в разноокрашенных сфалеритах из разнотипных полиметаллических месторождений, залегающих в различных геотектонических зонах, в общих чертах остается неизменным. Отсюда становится очевидным, что сходство физических свойств сфалеритов отражает близость сходства условий их кристаллизации.

ЗАКЛЮЧЕНИЕ

В результате сравнения и сопоставления данных по типоморфным особенностям сфалеритов из полиметаллических месторождений региона можно сделать следующий вывод:

Основной типоморфной особенностью сфалеритов является их химический состав. Примеси и их количественные соотношения в сфалеритах являются отличительным признаком сфалеритов региона. Так, сфалериты региона характеризуются с одной стороны неизменным, низким и устойчивым содержанием железа, кадмия, галлия со слабо выраженной дисперсией, с другой - высоким содержанием свинца, меди, которые в данном случае являются типоморфными примесями.

На основании сходства химизма сфалеритов можно предположить, что физико-химические условия их кристаллизации в полиметаллических месторождениях региона сходны.

ЛИТЕРАТУРА

1. Годовиков А.А., Птицин А.Б. О морфологии кристаллов искусственного гидротермального сфалерита. - Минералог. сборник, 1966, вып.4, 20.

2. Иванкин П.Ф. и др. Типы руд и стадии рудообразования на Новоберезовском месторождении. - В сб.: Вопросы геологии и металлогении Рудного Алтая. Изд. АН Каз.ССР, 1960.

3. Кеджкоин А.А. О совместном нахождении разноокрашенных сфалеритов. - Минералог. сборник Львовского гос.ун-та, 1964, вып.3, № 18.

4. Куллеруд Г. Сульфидные системы как геологические термометры. - В сб.: Геохимические исследования. Изд. ИЛ, 1961.

5. Лазаренко Е.К. О химическом составе цинковых обманок Донецкого бассейна. - ЗВМО, 1944, ч. 73, вып. I.
6. Лазаренко Е.К. Цинковые обманки колчеданных залежей Среднего Урала. - Учен. зап. Львовского ун-та, 1955, т. XXXУ, вып. 8.
7. Магакьян И.Г. Рудноносные магматические комплексы и рудные формации территории Армянской ССР. - ДАН АрмССР, 1966, т. 43, №4.
8. Моисеева М.И. Сфалериты Юго-Западного Карагазара. - Зап. Узбекск. отд-ния ВМО, 1969, вып. XIII.
9. Проценко Е.Г., Слизик М.М. Красная цинковая обманка Мангейского месторождения. - Минералог. сборник Львовского ун-та; 1958, № 12.
10. Платонов А.Н., Бершов Л.В. Об изоморфизме кобальта в сфалерите. - Геохимия, 1969, № 3.
11. Рамдор П. Рудные минералы и их срастания. - М., Изд. ИЛ, 1962.
12. Хачатуриян Э.А., Мкртчян С.С., Коджоян А.А. О природе окраски переотложенного сульфида цинка. - Изв. АН АрмССР, 1971, №3.
13. Хачатуриян Э.А., Мкртчян С.С. Типоморфные особенности сульфидов цинка и свинца в свете экспериментальных исследований. - Изв. АН АрмССР, 1975, №6.
14. Хачатуриян Э.А., Коджоян А.А., Мкртчян С.С. Генетические особенности формирования полиметаллического оруденения на территории АрмССР. - Изв. АН АрмССР, 1982, т. 35, №6.
15. Чернышев Л.В., Анфилогов В.Н. Экспериментальные данные о составе сфалерита в ассоциации с пирротином и пиритом при 350-500°С. - ДАН СССР, 1967, №4.
16. Шаддин Т.Н. Переクリстализация руд при процессах метаморфизма. - В кн.: Текстуры и структуры руд. М., Госгеолтехиздат, 1958.
17. Ясинская А.А. О зависимости главнейших физических свойств цинковых обманок от химического состава. - Минералог. сборник Львовского геол. общ-ва, 1951, №5.
18. Ясинская А.А. Об окраске цинковых обманок. - Минералог. сборник Львовского геол. общ-ва, 1955, №9.

Ш.О.Амирян, А.З.Алтунян, М.С.Азизбекян

РУДНЫЕ ФОРМАЦИИ ТУМАНЯНСКОГО И ЧКНАХ-БАЗУМСКОГО РУДНЫХ РАЙОНОВ И ИХ ГЕНЕТИЧЕСКИЕ ОСОБЕННОСТИ.

Северо-западная часть Армянской ССР, охватывающая Туманянский и Чкнах-Базумский рудные районы, характеризуется многочисленностью и разнообразием рудных формаций. Здесь обнаружены месторождения и проявления kontaktово-метасоматических железных, серноколчеданных, медно-молибденовых, медных, медно-мильяковых, полиметаллических, свинцовых, золото-полиметаллических, золото-вольфрам-молибденовых, сурьмяно-реальгаровых, ртутных и баритовых руд.

Отмеченные рудные формации отличаются друг от друга геологическими, минералого-геохимическими и генетическими особенностями, обусловленными тектоно-магматическим и металлогеническим развитием Туманянского и Чкнах-Базумского рудных районов. Эти районы включают отрезки двух различных геотектонических зон с характерными для них типами магматизма и металлогенеза.

Туманянский рудный район охватывает области преимущественного развития юрского вулканализма, отчасти мела и єоцен, с прорвавшимися их интрузивными массивами. Для этой области характерны начальные и средние этапы геотектонического развития с наложением процессов активизации.

Чкнах-Базумский рудный район занимает области преимущественного развития меловых и палеогеновых осадочных, вулканогенно-осадочных и вулканогенных образований и прорывавших их интрузивных пород. Для этих областей характерны начальные, средние, поздние и конечные этапы геосинклинального развития. Характерной особенностью этой зоны является то, что она заложена вдоль глубинного разлома, по которому внедрены ультрабазиты со свойственной для них минерализацией.

Особенности геологического строения и тектоно-магматического

развития оставили свой отпечаток на металлогении этих двух рудных районов. В Туманинском рудном районе хорошо представлены железорудные (скарновые), медно-молибденовые, медные, полиметаллические и баритовые месторождения, а в Чикнах-Базумском - серноколчеданные, медные, железорудные, полиметаллические, медно-мышьяковые, золото-полиметаллические, золото-вольфрамово-молибденовые, свинцовые и сурьмяно-реальгаровые.

Проявления рудной минерализации, особенно постмагматической гидротермальной, контролируются пликативными и разрывными структурами. Как интрузивы, так и связанные с ними рудопроявления приурочены к антиклиниориям и брахиклинициальным складкам. По-видимому продольные и поперечные нарушения, а также разломы глубокого заложения, образованные в результате складкообразующих движений, служили путями проникновения магмы и гидротермальных растворов.

В размещении штоков и даек, а затем и рудной минерализации важное значение среди разрывных нарушений имеют зоны региональных разломов и их оперения. Прослеживаются они на сотни километров, при мощности до десятков метров, переходя с одного рудного района в другой. Эти нарушения определяют линейное распределение оруденения, а сопряженные с ним зоны трещиноватости и дробления пород служили местом локализации руд.

Одно такое крупное нарушение протягивается от Карнутского месторождения в северо-западном направлении, к Алавердскому месторождению и далее к верховым р. Болниси. Кроме указанных месторождений, к этому нарушению приурочен ряд рудопроявлений серноколчеданных, медных и полиметаллических руд в верховых р. Аксисара, Воскесар и Болниси.

Второе крупное нарушение проходит по линии Аксисара I, Аксисара II к Ахтальскому и Шамдугскому месторождениям. К этому нарушению приурочены также проявления медно-молибденовых руд Шевут, Шох, Техут, Пидкут, Манстев. Наиболее крупные концентрации руд приурочены к меридиональным и близким к ним (северо-восточным) разрывам. Другое крупное нарушение северо-западного направления протягивается по долине р. Марцигет к ее устью, дальше на северо-запад через г. Черемша к с.е. Привольное, Сарчапет, Сарнар и далее в бассейн р. Машавера. К этому нарушению приурочены рудопроявления Марцигетской (золото-полиметаллические, медные) и При-

вольненской (полиметаллические и медные) группы и полиметаллические рудопроявления бассейна р. Машавера (Груз. ССР). Оруденение представлено прожилково-вкрапленным и жильным типами в вулканогенных породах эоцен (Привольненская и Марцигетская группы), а также пластообразными залежами в соответствующих вулканогенно-осадочных породах (Черемши, Леджан). Следующее нарушение северо-западного простирания, сопровождаемое гидротермально измененными породами и рудной минерализацией, протягивается от с. Мгарт к с. Овандара. К нему приурочены рудопроявления меди, свинца, цинка (Мгарт, Дарбанды, Верблюжья балка, Круглая Щель). Аналогичное нарушение проходит по направлению от с. Свердлов, через вершину Айдарбек к с. с. Круглая Шинка, Шахназар, где установлены проявления полиметаллических, медных и свинцовых руд (Яган, Когес, Дзорагет, Круглый Бугор, Шахназар и др.).

К крупному близиэпиритному Маймех-Мегрутскому нарушению приурочены выходы гранитоидов, граносиенитов и рудопроявления медных (Арцруны, Фролово), полиметаллических (Маймех), золото-шредитовых (Фиолетово, Гамзачиман), медно-мышьяковых (Арчут), серно-колчеданных (Тандзут), золото-полиметаллических (Арманис) руд.

Нередко рудоконтролирующими являются пересечения информационных и внутриформационных зон отслаивания на контактах пород с различными физико-механическими свойствами, литологическим составом, физико-механическими свойствами и химическим составом пород, внутреннего строения (Алаверди, Шамлуг, Ахтала, Чибухи, Тандзут, Привольненская группа). Роль рудовмещающих пород в локализации оруденения проявляется в морфологических и структурно-текстурных особенностях рудных тел и руд, в интенсивности оруденения, химическом и минеральном составе руд, характере околоврудного метасоматоза пород. Нередко отдельные разности пород (альбитофиры, дайки диабазов, агломераты, кератофиры, кварцевые кератофиры) играли роль экрана на путях продвижения растворов (Алаверди, Шамлуг, Привольненская группа).

Магматический контроль оруденения проявляется в тесной пространственной и временной связи его с выходами гранитоидов, граносиенитов, основных и ультрасосновных пород. Это особенно хорошо наблюдается для магматического хромитового, медно-никелевого и скарнового железорудного оруденения. Нередко оруденение находится в интрузивных массивах (хромитовое, медно-никелевое) или же в их

экзо- и эндоконтактах (железорудное, медно-молибденовое), где наблюдается переход от пегматитового типа оруденения к скарново-метасоматическим и гидротермальным со сходной сульфидной минерализацией. В некоторых типах гранитоидов и граносиенитов наблюдается повышенное содержание ценных компонентов и акцессорных рудных минералов. В таких случаях породообразующие минералы также характеризуются повышенным содержанием рудогенных элементов. Все эти и другие факты (изотопные, геохронологические, геохимические и петрохимические) указывают на генетическую или парагенетическую связь оруденения с интрузивными массивами, малыми интрузиями, субвулканическими и нередко жерловыми фациями пород.

Таким образом, геотектонические, структурные и магматические особенности развития Севано-Ширако-Акеринской и Сомхето-Карабахской зон обусловили основные черты их металлогении и многообразие рудных формаций.

Скарновая железорудная формация руд генетически связана с наиболее крупными интрузивными массивами гранодиоритов и кварцевых диоритов мелового (Кохб, Бовери-гам, Мисхана, Кацах, Вартагих) и эоценового (Сот, Сари-булах, Джангар, Базум и др.) возрастов. Оруденение представлено зонами, метасоматическими залежами, линзами, плитообразными и жилообразными телами, а нередко и жилами в непосредственных контактах интрузивных массивов с вулканогенными, вулканогенно-осадочными и осадочными породами юры, мела и эоцена.

В составе руд железорудной формации установлены магнетит, гематит, мускевит, мартит, гранат, эпидот, скалолит, волластонит, хлорит, кварц, карбонат. Второстепенную роль играют пирит, халькопирит, ильменит, марказит, пирротин.

Наблюдения показывают, что скарнообразование и оруденение имели место в результате последовательного поступления скарнирующих рудообразующих растворов. Четко видна наложенность гематит-магнетитовой и сульфидной минерализации на гранат-пироксеновые и гранат-эпидот-хлоритовые скарны.

Железорудные месторождения принадлежат к контактово-метасоматическому (скарновому) типу.

Руды хромитовой формации проявлены в районах развития основных и ультраосновных пород и генетически тес-

но связаны с дунитами и гарцбургитами (Агбабская группа рудо-
проявлений в Амасийском районе, Арменикское рудное поле).

Хромитовое оруденение представлено гнездами, линзообразными, жилообразными телами, шлировыми обособлениями и вкрапленной минерализацией. В составе руд установлены хромит, магнетит, хромшпинелиды, серпентин, нередко оливин, хромгранаты, хромхлориды, изредка хромдиопсид, кальцит, пирит, пирротин, пентландит, миллерит, халькопирит.

По генезису хромитовая формация относится к позднемагматическому (гистеромагматическому) типу.

Формация медных руд имеет широкое развитие как в Туманянском, так и Чинах-Базумском рудных районах. Медное оруденение размещено в вулканогенных и вулканогенно-осадочных отложениях юры и эоцене и прорывающих их интрузивных массивах (Алаверди, Шамдуг, Анкадзор, Мгарт, Когес, Чибухлы, Дсех, Карнут, Шоркут, Аксебара и др.). Медная минерализация отмечается как в местах развития интрузивных массивов, так и за их пределами. Нередко она в виде наложенной минерализации наблюдается в скарновых месторождениях. По-видимому, медная минерализация парагенетически связана и с интрузивными массивами, и малыми интрузиями, и субвулканическими породами мелового и эоценового возрастов. Характерной особенностью медных руд является наличие в их составе гематита и нередко полиметаллов и барита, чем они сходны, с одной стороны, с железорудной формацией, с другой - полиметаллической. На всех месторождениях меди наблюдается однотипная стадийность рудообразовательного процесса.

Формация медных руд представлена линзами, жилами, зонами прожилково-вкрапленной минерализации. В составе руд определены пирит, халькопирит, гематит, сфалерит, галенит, блеклая руда, нередко магнетит, теллуриды висмута, серебра и свинца, самородное золото. Жильные минералы представлены кварцем, карбонатом, баритом, гипсом.

Медная формация руд находится в тесной генетической связи с колчеданной, полиметаллической и нередко медно-молибденовой и железорудной. В генетическом ряду рудных формаций она следует за серноколчеданной, а за ней идет полиметаллическая.

Серноколчеданная и полиметаллическая стадии проявляются на медных месторождениях в указанном выше порядке - серноколчеданная, медная, а затем полиметаллическая. На отдельных месторож-

дениях (Алаверди, Шамлуг) они образуют также самостоятельные серноколчеданные и полиметаллические линзы и жилы.

Состав руд, структурно-текстурные их особенности, характер изменения рудовмещающих пород, температуры их образования (данные декриптизации и гомогенезации газово-жидких включений), а также морфологические особенности рудных тел, характер взаимоотношений оруденения с различными фациями пород, мощность надрудной покрышки, а также изотопные исследования серы указывают на принадлежность месторождений и проявлений медной формации к среднетемпературной гидротермальной группе малых-умеренных глубин. Среди них можно выделить контактово-метасоматические (наложенные), плутоногенно-гидротермальные и вулканогенно-гидротермальные (связанные с субвулканами и малыми интрузиями).

Серноколчеданная формация руд имеет широкое распространение, особенно в Чикнах-Базумском рудном районе (Тандзут, Чибухлы, Марц, Аксисбара и др.). По всей вероятности, она имеет и плутоногенное, и вулканогенное происхождение. Кроме самостоятельных месторождений, серноколчеданные руды широко представлены также на месторождениях медной формации, где кроме жил и прожилков образуются крупные линзы серного колчедана (Алаверди, Шамлуг).

В виде пиритовых жил, прожилков и вкрапленности серноколчеданная минерализация проявляется на железорудных, медно-молибденовых и полиметаллических месторождениях.

Приуроченность серноколчеданных руд к интрузивным и субвулканическим фациям пород, а нередко и вулкано-тектоническим сооружениям свидетельствует о их плутоногенном и вулканогенном происхождении. По составу руд, минералого-геохимическим и структурно-текстурным особенностям руд и характеру окорудных изменений пород (окварцевание, пирофиллитизация, карбонатизация), а также по мощности надрудной покрышки пород серноколчеданные месторождения относятся к среднетемпературным приповерхностным гидротермальным образованиям.

Медно-мышьяковая формация руд имеет ограниченное развитие. Она представлена двумя небольшими рудопроявлениями - Мец-дзор и Арчут, расположенных в зооценовых туфах, туфобрекчиях и перфиритах, которые прорываются небольшими интрузиями гранитоидов и габбро-диоритов.

Оруденение представлено зонами прожилково-вкрашенной минерализации, жилами и прожилками, приуроченными к антиклинальным складкам северо-западного простирания. По составу среди орудененных зон выделяются медно-мышьяковые, медно-серноколчеданные и кварц-турмалиновые (Мец-дзор). В составе руд установлены кварц, турмалин, пирит, халькопирит, таниантит, энаргит, лионит, редко молибден (Мец-дзор), сфалерит, галенит, станинин, касситерит, эпилектит, пирротин, халькозин, ковеллин, карбонаты.

Структурным контролем оруденения на обоих рудопроявлениях являются зоны брекчирования пород и разрывные нарушения северо-западного и меридионального простираний.

По генетическим особенностям медно-мышьяковая формация руд принадлежит к высоко-среднетемпературным образованиям малых глубин. Парагенетически эта формация связана с верхнеооцен-олигоценовым магматизмом. Наличие турмалина в экзоконтакте Урутской интрузии гранит-аппарата и в рудах Мец-дзорского месторождения свидетельствует о их парагенетической связи. Арчутское же проявление находится в экзоконтакте гранодиоритов и габбро-диоритов, которые вместе срудовмещающими вулканогенными породами гидротермально изменены.

Медно-молибденовая формация руд представлена Техутским месторождением и рядом проявлений (Пиджут, Ахпат, Цахкашат, Шевут, Манстев, Ваагнадзор, Назон-варт и др.). Медно-молибденовая минерализация установлена также на месторождениях Мец-дзор, Шамлуг, Ахтала.

Медно-молибденовое оруденение Техутского рудного поля приурочено к Шиох-Кохскому интрузивному массиву гранодиорит-тоналитовой формации нижнемелового возраста. Рудопроявления Чикнах-Базумского рудного района находятся в зооценовых вулканогенных породах и имеют более молодой возраст. Молибденит находится в к. Гамзачи-манском месторождении золото-шеелитовых руд, где образует самостоятельные жилы и прожилки. Он был установлен также в миаролитовых пустотках редких пегматитовых жил.

Медно-молибденовые руды представлены штокверковым типом оруденения, жилами, прожилками и вкрашенностью. В составе руд установлены пирит, халькопирит, молибденит (главные), сфалерит, галенит, четырехлит, висмутин (редкие). Из нерудных минералов присутствуют кварц, кальцит, ангидрит, гипс, гидрослюды, цеолиты.

Рудный процесс на Техутском месторождении протекал многостадийно. По составу и структурно-текстурным особенностям установлены кварцевые, кварц-карбонатные, ангидрит-гипсовые, пиритовые, пирит-халькопиритовые, молибденитовые, халькопирит-молибденитовые и полиметаллические парагенезисы, приуроченные к отдельным стадиям рудного процесса.

Рудоконтролирующими являются разрывные нарушения и зоны смятия, брекчирования пород, а также трещины отрыва, приуроченные к экзо- и эндоконтакту Шнохского интрузивного массива, а в Чинах-Базумском рудном районе - вулканогенным породам эоценена.

Оруденение сформировалось на умеренных - малых глубинах, при средних температурах.

Золото-шеелит-молибденитовая формация руд представлена единственным Гамзачиманским месторождением, расположенным среди порфиритов и прорывающих их граносиенитах верхнеэоцен-нижнеолигоценового времени.

Оруденение представлено зонами прожилково-вкрашенной минерализации, жилами и прожилками близкого простирания, сопряженные с Маймех-Мегрутским нарушением.

По минеральному составу на месторождении выделяются кварцевые, кварц-пиритовые, кварц-молибденитовые, кварц-шеелитовые, полиметаллические, кварц-карбонатные парагенезисы, которые являются продуктами отдельных стадий минерализации.

В составе руд установлены кварц, кальцит (манганокальцит), халцедон, серцицит, хлорит, каолинит, пирит, молибденит, шеелит, халькопирит, арсенопирит, сфалерит, пирротин, марказит, теннантит, тетраэдрит, галенит, самородное золото, второстепенное значение имеют и редко проявляются алтант, тетрадимит, теллуровисмутит, калаверит, сильванит, гессит, киноварь, энагрит, висмутин, борнит, магнетит, гематит. Из вторичных минералов встречаются браунит, пиролизит, псиломелан, мanganит, малахит, азурит, ковелин и другие.

Гамзачимансское месторождение парагенетически связано с Гидутской граносиенитовой интрузией верхнеэоцен-нижнеолигоценового времени. Рудные тела находятся как в граносиенитах, так и экзо-контактовых порфиритах. По парагенезисам минералов, окологильным изменениям пород месторождение сформировано в среднетемпературных условиях, а по фациальным и петрохимическим особенностям

пород, а также по мощности пород, перекрывающих интрузивный массив и оруденение, месторождение является образованием малых глубин.

Полиметаллическая формация руд имеет довольно широкое развитие в обоих рудных районах (Ахтала, Привольненская группа, Чатин-даг, Ягдан, Овандара, Мариская группа и др.).

Следует отметить, что кроме собственных месторождений, полиметаллические руды проявляются также на медных (Алаверди, Шамлуг, Анкадзор, Когес), медно-молибденовых (Техут), золото-полиметаллических (Арманиц, Марц), золото-шеелитовых Гамзачиман месторождениях, что указывает на генетическую (парагенетическую) связь этих формаций.

Полиметаллические месторождения расположены в юрских и эоценовых вулканогенных породах. Они представлены линзами, жилами, прожилками, пластообразными телами и прожилково-вкрашенной минерализацией. Среди них по генетическим особенностям можно выделить две группы. Одна группа (Привольное, Леджан, Архашен) принадлежат к телетермальному классу, другая - к плутоногенному (Марц, Ахтала, Овандара, Ягдан и др.). Полиметаллические месторождения, ассоциирующие с медными, возможно, парагенетически связаны с субвулканическими малыми интрузивными штоками и дайками.

Для полиметаллических руд характерна ассоциация с баритом и повышенные содержания золота, серебра, теллура, висмута, кадмия, индия, сурьмы, мышьяка, изредка германия.

На медных и медно-молибденовых месторождениях полиметаллические руды формируются в более поздние стадии минерализации, в среднетемпературных условиях. Полиметаллические месторождения являются многостадийными образованиями. Они образовались на малых глубинах, при средних температурах.

Минеральный состав руд полиметаллических месторождений сложный. В них установлены пирит, халькопирит, сфалерит, галенит, теннантит, тетраэдрит, алтант, гессит, нередко борнит, гематит, ковеллин, самородные золото, серебро, редко реньерит (Ахтала), молибденит, халькозин, энаргит,argentит, штромеерит и др. Главными жильными минералами являются кварц, кальцит, барит, нередко гипс.

Полиметаллические месторождения по минеральному составу, структурно-текстурным особенностям руд и морфологическим особенностям рудных тел, а также по пространственной и временной связи с определенными формациями и фациями пород принадлежат к плутоногенно-гидротермальным, вулканогенным и телетермальным классам.

Свинцовая формация руд имеет ограниченное развитие (Памбак, Круглая Шишка). Свинцовые проявления установлены в вулканогенных породах эоцена, в экзоконтактовых участках прорывающих их гранитоидных интрузий. В обоих проявлениях свинцовые руды представлены небольшого размера гнездообразными и линзообразными телами, приуроченными к окварцованным, карбонатизированным, каолинизированным вулканитам.

В составе руд главным минералом является галенит. Второстепенное значение имеют сфалерит, халькопирит, пирит, блеклые руды. Из жильных минералов участвуют кварц, карбонат и барит (редко). Рудоконтролирующими являются разрывные нарушения северо-западного простириания и их оперения.

Эта формация руд занимает определенное место в ряду родственных рудных формаций - после свинцово-цинковой, но до золотополиметаллической. Она сформировалась в средне-низкотемпературных и приповерхностных условиях и относится к телетермальному классу гидротермальной группы.

Золото-полиметаллическая формация руд развита в области развития эоценового вулканизма (Арманис, Марц, Дсех, Мгарт, Качачкут и др.). В образовании и локализации золото-полиметаллических руд важное место принадлежит разрывным нарушениям, гипабиссальным интрузивам и субвулканическим телам верхнетретичного возраста.

Оруденение представлено жилами, жильными зонами, столбообразными телами и зонами прожилково-вкрашенной минерализации. Рудоконтролирующими для Арманисского месторождения являются Куйбышевский разлом и сопряженные с ним трещины скола и отрыва, а для Марцигетской группы рудопроявлений - Марцкий разлом и оперяющие его трещины.

По минеральному составу руд и их взаимоотношениям на золоторудных месторождениях выделяются кварцевый, карбонат-цеолитовый, гипсовый, пиритовый, пирит-халькопиритовый, сфалерит-галенито-

вый парагенезисы, соответствующие самостоятельным стадиям минерализации.

В составе руд участвуют кварц, кальцит, барит, гипс, цеолиты, пирит, халькопирит, сфалерит, галенит, самородное золото, электрум, самородное серебро, гематит, магнетит (главные), блеклые руды, алтант, гессит, тетрадимит, волынскит, рецбанит, матильдит, марказит, в отдельных случаях - саффлорит, полидимит, буронит.

Гидротермальные изменения пород представлены пропилитизацией, цеолитизацией, огипсованием и вторичными кварцитами.

По минеральным парагенезисам характеру и фациям изменения пород, температурным условиям образования (согласно результатам гомогенизации и декриптизации газово-жидких включений от 140° до 250°С), условным потенциалам ионизации (от 169 до 222 ккал/мол), а также структурно-текстурным и геохимическим особенностям руд они образовались в средне-низкотемпературных условиях.

Небольшие размеры ассоциирующих с рудами интрузивных тел, их фациальные особенности, небольшая мощность надрудной покрышки пород, структурно-текстурные, геохимические и морфологические особенности руд свидетельствуют о малых глубинах их формирования.

Пространственная и временная приуроченность оруденения к верхнезооцен-олигоценовым интрузивным и субвулканическим породам указывает на их парагенетическую связь.

Таким образом, золото-полиметаллическая формация руд принадлежит к образованиям малых глубин и средних-низких температур, т.е. плутоногенным и вулканогенным гидротермальным типам.

Антимонит-реальгаровая формация руд имеет ограниченное развитие в пределах западного отрезка Севано-Ширако-Акеринской структурной зоны (Амасийское рудопоявление). Рудопоявление находится в районе развития основных и ультраосновных пород, прорывающих меловые известняки.

Рудоносная зона приурочена к разрывным нарушениям, где вдоль них образовались зоны лиственитизации. Рудные тела в пределах зоны образуют гнезда, невыдержаные жилы, прожилки.

Состав руд: антимонит, реальгар, немного борнита, ковеллина, марказита, халькопирита, самородного мышьяка, аннабергита, кварца, карбоната.

По генетическим особенностям рудопроявление относится к типу гидротермальных телетермальных и, вероятно, связано с невскрытыми гранитоидными интрузиями мио-плиоценового времени (гранит-порфиры, диабазы, дациты). В образовании и размещении антимонит-реальгаровых руд, по-видимому, главная роль принадлежит глубинному разлому и повторным, наложенным нарушениям, достигшим значительных глубин.

Рутная формация руд имеет очень ограниченное развитие. Киноварь установлена в речных отложениях бассейнов р. р. Даорагет, Гергер, Ахурян, Марц, на участках развития зон лиственитизации основных - ультраосновных и окварцевания и карбонатизации вулканогенных пород. В коренном залегании ртутная минерализация обнаружена в порфиритах и туфопесчаниках среднего земцена у селений Лорут и Атан, а также на Туманянском медно-полиметаллическом месторождении.

Ртунное оруденение представлено небольшими прожилками и вкрапленностью киновари, в ассоциации с кальцитом, сфалеритом, галенитом, халькопиритом и пиритом.

Участки ртутной минерализации приурочены к Марцскому и Куйбышевскому нарушениям. Генетически ртутные проявления относятся к телетермальному гидротермальному типу и находятся в пространственной и временной связи с верхнетретичными субвулканическими породами (дациты, гранит-порфиры, диабазы).

Баритовая формация имеет широкое развитие (Ахтала, Ераванк, Акори, Воскесар, Кохб, Вартагиц, Джейран-оглы и др.). Кроме самостоятельных месторождений, барит участвует также в составе руд медных (Алаверди, Шамлуг), золото-полиметаллических (Арманис) и полиметаллических (Ахтала) месторождений. Следует отметить, что северная Армения вообще богата баритом и он является характерным минералом многих типов руд.

Баритовая формация представлена жилами и прожилками, приуроченными к трещинам отрыва крупных разрывных нарушений, расположенных в порфиритах, туфобрекчиях и туфопесчаниках. На медных и полиметаллических месторождениях чистый барит обычно занимает верхние горизонты или удаленные участки. Другая генерация барита тесне ассоциирует с медными и особенно полиметаллическими рудами.

В ассоциации с баритом участвуют кварц и карбонат. В отдель-

ных случаях встречаются красные, белые и серые разности барита. Цвет во многом обусловлен примесями гематита и других окислов. Парагенетически баритовая минерализация связана с меловым и эоцен-олигоценовым магматизмом. Образование баритовой минерализации г.-исходило в приповерхностных, окислительных условиях (в барите сера представлена в наиболее окислительной форме - S^{6+}).

Как следует из приведенных данных, северо-западная часть Армянской ССР богата разнообразными по составу и условиям образования формациями руд. Описанные формации в основном образовались в орогенный и особенно позднеорогенный этапы развития областей их распространения, так как они контролируются разрывными нарушениями, секущими все породы района (до плиоцена).

Часть из описанных формаций принадлежит к магматическим типам, другая часть - kontaktово-метасоматическим, а главная масса - постмагматическим гидротермальным (плутоногенным, вулканогенным и тектотермальным).

В каждом генетическом типе и рудном поле рудные формации определенных металлогенических эпох составляют генетические ряды, связанные между собой и в генетическом отношении, и в минералого-геохимическом. Например, сурьмяная, ртутная и реальгар-ауршлагментовая формации составляют один ряд, серноколчеданная, мединая, полиметаллическая и золото-полиметаллическая - второй ряд, медная, медно-молибденовая - полиметаллическая - третий и т.д.

Установленные генетические, металлогенические и минералого-геохимические особенности руд и рудных месторождений имеют важное теоретическое и практическое значение.

А.Г.Тонаканян, А.И.Шмидт, А.С.Аванесян

ОСНОВЫ ПРОГНОЗА МЕДНО-МОЛИБДЕНОВОГО ОРУДЕНЕНИЯ В СЕВЕРО-ЗАПАДНОЙ ЧАСТИ СЕВАНО-АМАСИЙСКОЙ ЗОНЫ (Малый Кавказ).

Севано-Амасийская зона обычно была известна как область, характеризующаяся развитием золотого, полиметаллического, золото-полиметаллического, серноколчеданного, медного, хромитового и ртутного оруденения. В этой зоне обнаружен целый ряд месторождений и рудопроявлений отмеченных промышленно-генетических типов (Зодское, Привольненское, Арманиssкое, Чибухлинское, Тандзутское, Анкадзорское, Шоржинское, Сараланджское и др.). Перспективы выявления новых месторождений и рудопроявлений в пределах этой зоны связывались именно с этими типами /3/. Однако работами последних лет, проведенными коллективами партии ПМК УГ АрмССР и ЦНИГРИ при составлении прогнозно-металлогенических карт Степанаванского рудного района, в пределах этой площади выявлены прямые поисковые признаки и геологические предпосылки обнаружения медно-молибденового месторождения медно-порфирового типа, характерного, как считалось, для Памбак-Занげзурской (Каджаран, Агарак, Дастакерт, Анкаван) и, отчасти, Алаверди-Кафанской (Текут, Шикахох) зон.

Рассматриваемая зона охватывает область Севано-Амасийского прогиба, в которой широкое развитие имеют мел-палеогеновые, вулканогенные и вулканогенно-осадочные образования. Более древние породы юрского возраста выходят в виде тектонических блоков и экзотических глыб.

Севано-Амасийский прогиб в своей послемеловой стадии развития относится к структурам типа вторичногеосинклинальных вулканогенных поясов по классификации Г.А.Твалчелидзе /7/. От первичногеосинклинальных он отличается тем, что комплекс палеогеновых вулканогенных образований характеризуется редуцированным развитием толщ толеитовой серии, отсутствием контрастно-диффе-

ренцированной формации, более высоким кали-натриевым соотношением и повышенной глиноземистостью вулканитов /8/.

Внутреннее строение Севано-Амасийского прогиба весьма неоднородно как по простиранию зоны, так и в ее поперечном сечении. В пределах Степанаванского рудного района в поперечном сечении зоны выделяются три подзоны: Северная (Леджанская), Центральная (Арманиssкая) и Южная (Базумская).

Указанные подзоны резко различны по магматизму, дислокативным и пликативным структурам, что предопределяет и различные условия локализации оруденения в этих подзонах. Первая (Леджанская) характеризуется пологими брахи~~складчатыми~~ формами складок, заложенных на юрско-меловом субстрате и кристаллическом фундаменте. В целом, эта пологая ($10-20^{\circ}$) моноклиналь погружается на юг под Центральную подзону и характеризуется развитием кольцевых структур.

Центральная и Южная подзоны имеют складчато-блочное строение, что определяется развитием систем круtyх ($40-70^{\circ}$) линейных складок. Разломы согласны с формами складчатости, что свидетельствует об их одновременном формировании.

В общем, регион представляет собой крупный кайнозойский прогиб с активной вулканической деятельностью в эоцен-неогене. Учитывая наличие в основании эоценового разреза типично натриевых базальтовых вулканитов с толеитовым типом дифференциации, характерным для инициального вулканизма, и накопление впоследствии мощных комплексов геосинклинального и орогенного типов, можно предположить, что весь кайнозойский тип развития этой зоны следует выделить в раздел позднеальпийского цикла. Анализ фациально-формационных особенностей этих отложений позволяет выделить 3 типа и, следовательно, 3 структурных яруса: геосинклинальный этап - нижний структурный ярус $P_2^1 - P_2^{2(1)}$, раннеорогенный-средний структурный ярус $P_2^2 - P_2^3$ и позднеорогенный - верхний структурный ярус $N - Q_2$.

Суммируя материал, можно полагать также, что в период заложения Севано-Амасийского геосинклинального прогиба произошло формирование мощного в центральной части структуры и маломощного на северной окраине комплекса вулканитов недифференцированной натриевой базальтовой формации, в районе южной подзоны фациального сменяющегося туфогенно-терригенными отложениями. Одновре-

менно или несколько позднее в краевых частях прогиба, в бортах смежных поднятий, происходило формирование вулканогенных толщ сильно дифференцированной андезито-базальтовой формации калий-натриевого ряда. Здесь развивалась цепь вулканов центрального типа.

В следующей стадии того же геосинклинального периода произошло накопление толщ контрастной андезито-базальтовой-липарито-дациевой формации натрово-кали-натрового ряда в пределах прогиба (Базумской подзоны), в пределах же северной окраины (Леджанской подзоны) формировались совершенно иные толщи кислых вулканитов липарито-дациевой формации калий-натриевого ряда с образованием крупных вулканических построек, захороненных весьма маломощными осадочными толщами и покровом игнимбритов.

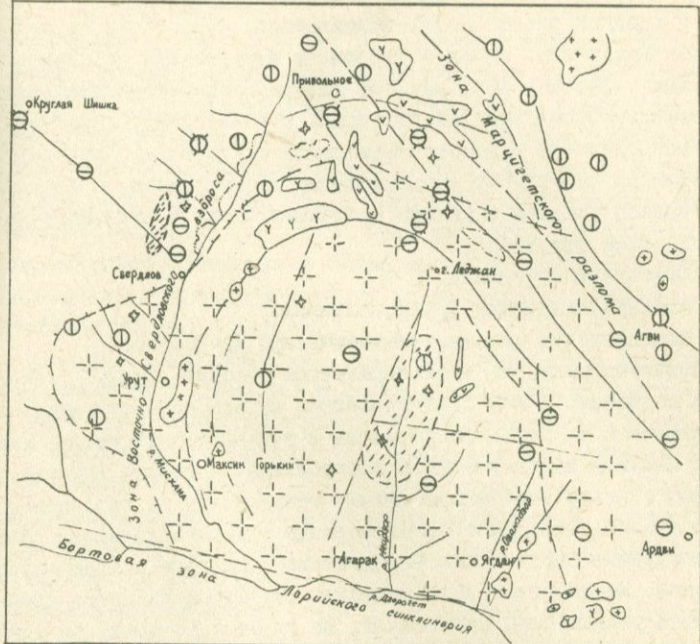
В середине среднего эоценена произошла крупная структурная перестройка, сопровождающаяся внедрением гранитоидов габбро-гранодиорит-гранитовой (базальтоидной) формации.

Граница смены режима проведена в среднем эоцене (а не в предверхнем, как это ранее было принято) на основании установленного несогласия и наличия этапа подъема и эрозии толщ перед образованием отложений выделяемой нами мецдзорской свиты, возраст которой фаунистически характеризуется не моложе среднего эоценена. Этот период завершился обрушением поднятого вулканического свода, сопровождаемого взрывными процессами, о чем свидетельствует наличие агломератовых брекчий эксплозивных пород.

В последующем развитии произошло резкое прогибание Центральной и Южной подзон, сопровождающееся накоплением вулканогенных толщ андезитового состава непрерывно дифференциированной формации калий-натриевого ряда с последующим внедрением интрузивов и даек гранит-гранодиоритовой и гранит-порфировой формаций.

В дальнейшем на эродированной поверхности развиваются вулканогенно-осадочные породы Медвежьегорского комплекса, а по региональным разломам Центральной зоны внедряются малые интрузии риолитовой формации. В то же время происходит воздымание северного блока с выведением на поверхность гранитоидных интрузий и накоплением грубых регressiveных серий.

Так нам представляется история развития выделенных нами подзон, которые, судя по собранным материалам, развивались в пределах районов с существенно различным строением субстрата и характеризуются различным типом оруднения.



УСЛОВНЫЕ ОБОЗНАЧЕНИЯ

1	2	3	4	5	6
7	8	9	10	11	12

Рис. I. Геолого-структурная схема площади, прогнозируемой на медно-молибденовое оруденение.

Условные обозначения: 1. Прогнозируемый гранитоидный массив и его контуры, 2. Выходы интрузивных пород, 3. Субинтрузивные липаритовые и липарито-дацитовые порфириты, 4. Субинтрузивные андезитовые порфиры, 5. Участки развития высокотемпературной минерализации (турмалин, амфибол), 6. Разломы установленные и предполагаемые. Рудопроявления: 7. Медно-гематитовые, 8. Свинца и цинка, 9. Рудопроявления, содержащие молибден, 10. Участки повышенного содержания молибдена по данным спектральных анализов, 11. Металлometрические ореолы меди, 12. Металлometрические ореолы молибдена.

Ниже мы рассмотрим Северную (Леджанскую) подзону, в пределах которой прогнозируется медно-молибденовое порфировое оруденение. Эта зона может быть параллелизована с внутренними вулканическими дугами эвгеосинклинальных зон или окраино-континентальными вулканическими поясами, для которых, как известно, характерны медно-молибденовое и золото-серебряное оруденение. Благодаря проведенному структурно-формационному картированию, в пределах этой подзоны удалось выделить следующие блоки и вулканогенно-тектонические структуры:

1. Локскую моноклиналь.
2. Апаклу-Сискятскую брахисинклиналь.
3. Мец-дзорскую вулкано-тектоническую депрессию.

Локская моноклиналь характеризуется пологим ($10-20^{\circ}$) юго-западным падением. В ней оконтуриваются выходы основных вулкаников натриевой базальтовой формации и вулканический массив, сложенный кислыми вулканическими постройками (в районе Архашан и Ягарташ) с известково-терригенными отложениями на их склонах. Именно с ними ассоциируют стратиформные полиметаллические руды, контролируемые плоскостями Марцигетского разлома и Ягарташского нарушения. Мецдзорская вулканическая структура является крупной вулкано-плутонической постройкой, на глубине которой, по данным гравиметрической съемки, предполагается кислый интрузивный массив, подсеченный на глубине 360 м скважиной и, по устному сообщению Б.М.Меликсетяна, представленный свежими, мелко-среднезернистыми кварцевыми диоритами. Он ограничивается кольцевыми дугообразными разломами, образующими внутреннее и внешнее кольца. Внешний кольцевой разлом не только откартирован, но и четко отбивается геофизическими методами. Он оконтуривает выделенную нами мецдзорскую свиту ($P_2^{(2)}$).

Последняя трансгрессивно и несогласно, с базальным горизонтом в основании, залегает на отложениях Привольненской и Айдарбекской свит. В основании этой толщи залегает прерывистый горизонт полимиктовых круглоглыбовых конгломератов смешанного состава (Урутский горизонт) сформировавшийся, очевидно, в результате мощного первоначального проседания всей этой кальдерообразной структуры. Пачки взрывоизивых пород разделены одним выдержаным горизонтом туфобрекчий основного андезито-базальтового состава и одним прерывистым горизонтом брекчий, фиксирующими этапы пов-

торных вулканогенных взрывов. Эти стратиформные горизонты, откартированные по всей площади вулкано-тектонической структуры, позволяют выяснить и ее внутреннее строение. Весьма интересным оказался и анализ мощностей туфогенной толщи, которая на периферии постройки имеет малые (150-200 м) значения, резко возрастающие (500-700 м) в центральной ее части (район р. Мецдзор).

Важно также отметить, что в зоне между внутренним и внешним кольцевым разломами обнажается цепь небольших выходов гранитоидных интрузий эоценового и более молодого возрастов. Небольшой выход гранит-порфиров установлен также в центральной части вулкано-тектонической структуры.

Кроме кольцевых разломов, здесь картируются два нарушения субкавказского и поперечного направлений, один из которых фиксируется цепью субвулканических тел андезитового состава.

Основанием для постановки вопроса о медно-порфировом оруденении явилось выявление ряда рудопроявлений меди и молибдена в зоне гидротермально измененных пород айдарбекской свиты, в которых поисковыми работами в 1976 году было установлено содержание меди до 5% и молибдена до 0,05%.

Оруденение было установлено в трех речных урезах, на площади примерно 9 кв.км. Из-за больших мощностей наносов проследить эти зоны оказалось невозможным. Поэтому были опробованы отдельные выходы, отобрано 46 бороздовых проб.

В двух первых урезах рудные зоны представляют полосы дробленных хлоритизированных, эпидотизированных, каолинизированных, серицитизированных и повсеместно пиритизированных пород, а местами - кварц-серицитовых пиритизированных метасоматитов.

Оруденение представлено вкрапленной и прожилковой минерализацией. Рудные минералы представлены пиритом, халькопиритом, халькозином, ковеллином, сфалеритом, гематитом и мушкетовитом. Мощность рудных тел колеблется от 0,3 до 2,5 м. Содержание молибдена до 0,05%, меди - до 5%, висмута до 0,04%. Несколько иной тип минерализации наблюдается в третьем урезе - участок "Свердлов". Здесь прослежена зона интенсивной пропилитизации мощностью до 60 метров, которая по простирианию достигает 800-900 метров. Отобрано из юго-восточного фланга зоны II бороздовых проб. По данным 8 проб, среднее содержание молибдена, характеризующее 9 м мощности, равно 0,02% при колебаниях содержаний молибдена от

0,011 до 0,026%. Молибденит макроскопически не наблюдается, по-видимому, представлен субмикроскопическими выделениями в кварце.

Кроме указанной полосы, на северо-западном фланге оконтуривается вторичный ореол рассеяния молибдена выше 0,01%, протяженностью 600-700 м.

Таким образом, в районе с. Свердлов зона пропилитизации площадью около 2 кв. км. характеризуется молибденовой минерализацией с содержанием выше 0,01%.

Однако выявленная медно-молибденовая минерализация в районе с. Свердлов не находила своего объяснения до охвата поисково-съемочными работами района р. Мецдзор.

После анализа собранного полевого и фондового материала выявились следующие поисковые признаки и критерии, позволившие прогнозировать скрытое медно-порфировое оруденение в районе реки Мецдзор, а эту площадь выделить под поисковые работы как первоочередную.

1. Здесь откартирована вулкано-плутоническая структура, геологическими границами которой являются кольцеобразные разломы.

2. Выделена формация вулканокластических туфов дацитового, андезито-дацитового составов, в основании которых залегают эксплозивные породы. Эта формация весьма своеобразна для данной кольцевой структуры.

3. Магматический фактор приобрел важное значение с выявлением выхода пород гранит-порфирового состава, что, в данном случае, имело принципиальное значение, так как, по данным гравиметрии, на глубине прогнозировался крупный интрузивный массив кислого состава, а выявленный выход дах основание считать его апикальной частью этой интрузии.

4. Абсолютный возраст выявленных гранит-порфиров определен 45-46 млн. лет, что соппадает с возрастом позднезоценовых молибденоносных интрузий Малого Кавказа.

5. По статистическим данным Б.М. Меликесетяна /4/, интрузии, имеющие молибденовую специализацию, в своей титано-магнетитовой фракции содержат молибдена не менее 0,003%. В этой фракции выявленной интрузии содержание молибдена выше 0,004%.

6. По данным сравнений результатов анализов монофракций галенита и халькопирита устанавливается, что минералы этого рудного

поля по содержанием элементов-примесей ближе всего соответствует аналогичным минералам из медно-порфировых месторождений.

7. По данным спорадического опробования на молибден разными исследователями и в разные годы в рудах Мецдзорского медно-мышьякового рудопроявления, в 13 пробах, установлены содержания молибдена от 0,011 до 0,056%.

8. Шлиховой съемкой, проведенной в долине р. Мецдзор, в 6-ти шлихах установлен молибденит.

9. В различные годы здесь изучалось Мецдзорское медно-мышьяковое рудопроявление /2/, где оруденение представлено в основном энагритом и тенантитом. Повышенное содержание этих минералов, как указывает Г.А.Твалчрелидзе /7/, весьма характерно и для медно-порфировых верхнеоцен-нижнемиоценовых месторождений Зангезура.

Кроме того, необходимо упомянуть, что в глубоких горизонтах медно-мышьякового месторождения (Лехоци-Речк, ВНР) было вскрыто скважинами медно-молибденовое оруденение, что можно рассматривать как вертикальную зональность оруденения в аналогичном Мецдзору среднеоценовом разрезе.

10. В гидротермально измененных породах Мецдзорского проявления широкое развиты процессы турмалинизации, пиритизации, альбитизации, серicitизации, которые типичны для медно-порфировой рудной формации.

11. Геохимической съемкой M I:25000 выявлены надрудные для медно-порфирового оруденения геохимические мультиликативные ореолы.

12. Молибденовая минерализация ранее была обнаружена также в рудах Привольненского месторождения. В полиметаллических рудных телах, на отдельных интервалах (до 30-35 м) керна, были установлены содержания от 0,01 до 0,05%.

13. Мецдзорская колыцевая структура считается тектоническим нарушением СЗ простирации являющимся, вероятно, каналом, по которому медно-молибденовая минерализация проникла в район Свердловского поля пропилитов.

14. О высокотемпературных процессах свидетельствуют гранат и ведластинит, которые установлены в юстасоматитах Привольненского месторождения на север-северо-восточных флангах Мецдзорской рудно-перспективной структуры.

Вышеизложенные геолого-поисковые критерии и признаки укладываются в установленные закономерности образования и распределения медно-порфирового типа оруденения, а прямые признаки и обнаружение отдельных выходов минерализации с высокими содержаниями меди и молибдена в районе ущ. Б.Щель, Свердлов и М.Щель, позволяют рекомендовать постановку первоочередных поисково-разведочных работ на глубоких горизонтах Мецдзорского медно-мышьякового проявления, отстоящего от них на расстоянии 15-16 км.

Из приведенного можно заключить, что Мецдзорскую вулкано-тектоническую структуру с обнаруженным под ней гранитоидным массивом, с учетом перечисленных поисковых признаков и критериев, можно рассматривать как потенциальное рудное поле.

Статистическая обработка данных по медно-молибденовым месторождениям мира /6,1/ показала, что максимальной вероятностью (20%) встречи промышленного оруденения обладают гранитоидные интрузивы с невскрытой эрозией апикальной частью.

Резкое неоднородное гравитационное поле прогнозируемого района позволяет предполагать несколько мест расположения таких куполов, поэтому для их обнаружения необходимо дополнительно провести комплекс геофизических и геологических исследований с целью выявления места концентрации порфировых руд.

Для начала рекомендовано пройти скважины в зоне экстремума гравитационного минимума с учетом элементов залегания зоны медно-мышьякового оруденения, рассматриваемого как более низкотемпературный элемент зональности порфировых руд, расположенных на глубине.

Коррекция проходки скважин в дальнейшем должна быть основана на данных скважинной геофизики, геохимии, крупномасштабной геологической и геохимической съемок, а также результатов поисковых работ.

В заключение отметим, что проведенные в Мецдзорском рудном поле с целью подсечения Cu - Mo оруденения пройдены 6 скважин глубиной в среднем до 350 м. В 4-х скважинах установлены отдельные интервалы с содержанием молибдена от 0,01 до 0,09%. В керне на отдельных интервалах имелись подсечения видимых молибденитовых и халькопиритовых прожилков.

На этом участке с охватом флангов Мецдзорского рудопроявления проведена была также геохимическая съемка M 1:10000, в ре-

зультате которой оконтурилась интенсивная аномалия молибдена протяженностью до 600 м. Аномалия тянется полосой от центральной части Мецдзорской структуры на северо-запад, в направлении участка "Большая Щель".

Таким образом, основываясь на совокупности вышеизложенных факторов, вполне обоснованно можно предложить необходимость постановки детальных поисковых геологических, геохимических и геофизических работ с последующим бурением скважин для выявления "слепого" медно-молибденового месторождения.

Л И Т Е Р А Т У Р А

1. Кривцов А.И. и др. Методические рекомендации по комплексированию работ по прогнозу и поискам медно-порфировых месторождений. В сб. Прогнозно-поисковые комплексы, вып. П ЦНИГРИ, Москва, 1983.
2. Магакьян И.Г. Мецдзорское медно-мышьяковое проявление оловянных руд. Изв. АН АрмССР, Ереван, 1944, №12.
3. Магакьян И.Г., Мкртчян С.С., Мовсесян С.А., Карапетян К.А. Молибден. В кн.: "Геология Армянской ССР", т. VI: Металлические полезные ископаемые. Изд-во АН АрмССР, Ереван, 1967.
4. Меликsetyan B.M. Петрографические и геохимические особенности специализированно молибденоносных интрузивных комплексов Мегринского plutона (Армянская ССР). С сб. Металлогеническая специализация магматических комплексов. Изд. "Недра", с. 155-175.
5. Мовсесян С.А. Закономерности размещения рудных месторождений Армении. М., "Недра", 1979.
6. Проколов В.П. Генетические типы и поисковые критерии эндогенных месторождений молибдена. М., "Недра", 1972.
7. Твалчрелидзе Г.А. Металлогенические особенности главных типов вулканических поясов. М., "Недра", 1977.
8. Шмидт А.И., Аванесян А.С., Тонакянян А.Г., Рогов В.И. Палеогеновые магматические формации Севано-Азеринского прогиба и связанное с ними оруденение на примере Степанаванского района АрмССР. В кн.: "Мезозойский и кайнозойский вулканализм и связанные с ним полезные ископаемые". Тезисы докладов У Всеобщего вулканологического совещания . Тбилиси, 1980.

ОПТИЧЕСКИЕ СВОЙСТВА И СТРУКТУРНЫЕ ВЗАИМООТНОШЕНИЯ
ТИПОМОРФНЫХ МИНЕРАЛОВ ПОРФИРОВИДНЫХ ГРАНИТОИДОВ
МЕГРИНСКОГО ПЛУТОНА

Проведенные исследования охватывают в основном породы, слагающие наиболее молодой (нижнемиоценовый) интрузивный комплекс, сложенный порфировидными гранитоидами. Общая площадь их выходов на северо-западе Мегринского plutона, включая Казангельский массив южного Баргушата, около 200 км².

На основе проведенных ранее детальных геологических работ /7/ был установлен многофазный характер проявления рассматриваемого магматизма с формированием трех разновозрастных интрузивов в следующей последовательности их внедрения: 1) порфировидные граниты, 2) порфировидные среднезернистые гранодиориты и 3) порфировидные крупнозернистые гранодиориты. Площадь их выходов, соответственно, 12, 26 и 163 кв.км. С каждым из отмеченных массивов связаны "дополнительные интрузии" и жильные породы I этапа. Дайковые образования гранодиорит-порфиров двух генераций и спессартиты завершают развитие магматизма интрузивного комплекса порфировидных гранитоидов.

В статье для сравнения приведены также оптические характеристики главных пордообразующих минералов граносиенитов более раннего /III/ интрузивного комплекса /2/, развитых как в экзоконтакте, так и в пределах выходов порфировидных гранитоидов в виде останцов вмещающих пород.

На основе проведенных петрографических исследований рассматриваются следующие вопросы: 1) структурного взаимоотношения пордообразующих минералов с целью установления генераций и порядка их выделения, 2) определение оптических свойств типоморфных пордообразующих минералов.

В табл. I дана краткая петрографическая характеристика главных разновидностей исследованных гранитоидов. Здесь же приведе-

ны данные по генерациям и порядку выделения типоморфных минералов в ходе кристаллизации магматического расплава.

Рассмотрим особенности состава и последовательности образования наиболее распространенных в исследованных гранитоидах породообразующих минералов: плагиоклазов, калиевых полевых шпатов, роговых обманок и биотитов.

П л а г и о к л а з . Является самым распространенным в изученных породах минералом (от 30 до 40%). Отмечаются порфировые выделения размером до 4-х и более сантиметров, характерные для гранодиоритов III фазы и дайковых пород поздней генерации гранодиорит-порфирового состава.

Согласно данным, полученным в результате оптических исследований рассматриваемых пород (табл. I), средний состав плагиоклазов из граносиенитов соответствует андезину № 35. В породах I фазы нижнемиоценового интрузивного комплекса средний состав плагиоклаза соответствует олигоклазу № 18, в породах II фазы - олигоклазу № 21 и в породах III фазы - олигоклазу № 25.

В процессе развития магматизма интрузивного комплекса порфировидных гранитоидов наблюдается повышение основности плагиоклазов от более ранних к поздним интрузивным образованиям, что хорошо согласуется с химизмом этих пород.

Представляют интерес данные, характеризующие степень упорядоченности изученных плагиоклазов (табл. 2). Согласно им, наиболее высокая степень упорядоченности проявляется в плагиоклазах из граносиенитов, вмещающих интрузивный комплекс порфировидных гранитоидов, и в среднем соответствует 0,70.

Средние значения степени упорядоченности плагиоклазов из порфировидных гранитоидов I-ой фазы соответствуют - 0,31, пород II фазы - 0,59, крупнозернистых порфировидных гранодиоритов III фазы - 0,50.

Степень упорядоченности плагиоклазов из аplitовидных гранитов составляет - 0,50 и в целом соответствует степени упорядоченности пород III фазы, дополнительными интрузиями которых они являются. Средние составы плагиоклазов отмеченных пород также близки.

Для плагиоклазов описываемых пород характерно зональное строение. Зональность обычно нормальная, с более основными ядрами. И только в крупнозернистых порфировидных гранодиоритах III фазы, на фоне общего понижения основности от центра к периферии, в от-

Таблица I

Петрографическая характеристика главных разновидностей
исследованных гранитоидов Мегринского plutона

Типы пород	Минеральный состав	Структура	Аксессорные минералы	Порядок выделения
Граносиениты (в эндоконтакте и остатки кровли)	Плагиоклаз: I-я генер. идиоморф. разм. до 2,5 мм; II генер. разм. до 4 мм. Полисинтетический. Калишпат-криптоперитит, разм. до 3 мм. Кварц-аллотиморфный, волнистое погасание. Роговая обманка, разм. 3 мм. Биотит, разм. до 3 мм.	Гипидиоморфно-зернистая, микропегматитовая, среднезернистые	Сфен, циркон, апатит, магнетит	Роговая обманка, плагиоклаз № 38-42, биотит, плагиоклаз № 24-25, кварц, калишпат
Порфировидные граниты (I фаза)	Калишпат-криптоперитит. Образ. также двойниковые порф. выдел. до 2,5 см. Кварц-порф. выдел. до 0,5 см. Мозаичный. Плагиоклаз, разм. до 4 мм. Редко зональный. Биотит, характерные выделения до 0,4 см. Роговая обманка, разм. до 2 мм, замещ. биотитом.	Гранитная, крупнозернистые	Сфен, зональн. полисинтетические двойники разм. до 2 мм, апатит, циркон, ортит, магнетит	Роговая обманка, плагиоклаз, биотит, калишпат (вкрапл.), калишпат, кварц.
Порфировидные гранодиориты (II фаза)	Плагиоклаз зональный, разм. до 3 мм. Калишпат - разм. 5-6 мм. Порф. выдел. до 3,5 см, криптоперитит. Кварц. разм. 1 мм, мозаичный. Роговая обманка, призматическая, разм. 1 мм., редко двойники; биотит, лейсты разм. до 1,5 мм.	Гранитная, среднезернистые	Апатит, сфен, циркон, магнетит	Роговая обманка, плагиоклаз № 22-24, биотит, калишпат (вкрапл.) плагиоклаз (более кислый и краевые зоны) кварц, калишпат.

Продолжение таблицы I

Типы пород	Минеральный состав	Структура	Аксессорные минералы	Порядок выделения
Порфиро-видные грано-диориты (III фаза)	<p>Плагиоклаз в основной массе разм. до 8 мм. Порф. выдел. до 3x4,5 см.</p> <p>Зональный калишпат-криптолептит, разм. до 6x13 мм. Порф. выдел. до 4x6-7 см. Отмечаются двойники, а также овощи типа "рапакиви".</p> <p>Кварц разм. до 6 мм. Мозаичный.</p> <p>Роговая обманка, разм. до 5 мм.</p> <p>Порф. выдел. разм. до 0,5x1,5 см.</p> <p>Характерны двойниковые формы.</p> <p>Биотит разм. до 4 мм.</p>	<p>Наиболее характерна гранитная. Гранит-порфировая в эндок. и алик. фации. Грано-порфировая (апофизы, контакты).</p> <p>Крупнозернистые.</p>	<p>Сфен, циркон, апатит, магнетит</p>	<p>Роговая обманка, плагиоклаз № 26-30, биотит, калишпат (вкрасл.), плагиоклаз (№ 19-22 и краевые зоны), кварц, калишпат.</p>

дельных участках наблюдается обратная зональность. Число зон колеблется от 2 до 10-11.

Замеры в сечениях, перпендикулярных первой кристаллографической оси, для зональных плагиоклазов из пород граносиенитового состава дали следующие составы зон: 1. Ядро № 45, средняя зона № 32, периферия № 24. 2. Ядро № 46, периферия № 30. Более кислые разновидности, входящие в состав этого интрузивного комплекса на юге и юго-западе, в эзоконтакте порфировидных гранитоидов содержат зональный плагиоклаз, ядро № 32, периферия № 19-20.

Подобные замеры зональных плагиоклазов в порфировидных среднезернистых гранодиоритах II фазы дали следующие результаты: 1. Ядро № 38, крайняя зона № 22 (шл. № 729). 2. Ядро № 40, средняя зона № 30, крайняя зона № 18 (шл. № 104). 3. Ядро № 36, средняя зона № 27, третья зона № 24, крайняя зона № 19 (шл. № 914).

Значительно более выраженную зональность обнаруживают плагиоклазы крупнозернистых порфировидных гранодиоритов III фазы. Для них характерно также одновременное проявление полисинтетических двойниковых полос и зонального строения. Замеры зональных плагиоклазов дали следующие результаты: 1. Ядро № 32, II-я зона № 30, III-я зона № 28, IV-я зона № 25, V-я зона № 19. Индивид содержит включения плагиоклаза № 37 (шл. № 739). 2. Ядро № 36, II-я зона № 33, III-я зона № 31 (шл. № 697). 3. Ядро № 26, II-я зона № 22, III-я зона № 25, IV-я зона № 21, V-я зона № 25, VI-я зона № 21, VII-я зона № 25, VIII-я зона № 14, IX-я зона № 19, X-я зона № 24, XI-я зона № 19. Размер кристалла 9 мм. В последнем случае устанавливается как прямая, так и обратная зональность, свидетельствующая о постоянно изменяющихся условиях в среде вокруг растущего плагиоклаза. Отмечаются случаи, когда зональность в крупных индивидах плагиоклаза проявляется отдельными участками, вытянутыми параллельно [001], состав этих участках меняется до 2-4% An.

Калиевые полевые шпаты. Присутствуют в значительных количествах - 35-40%. Для всех разновидностей пород рассматриваемого интрузивного комплекса характерно присутствие крупных вкрапленников калишпата. В породах I фазы размером до 2,5 см, II фазы - до 4-х см, III фазы - до 6-7 см.

Таблица 3

№ III.	№ ши- фров	Координаты До			2 v	Закон	№ пла- гии- класа	№ ши- фров	Координаты До			2 v	Закон	№ пла- гии- класа	
		Ng	Nm	Nр					Ng	Nm	Nр				
I.	698	82,5	56	35,5	-74	1[001] (010)	38(0,75)	22.	720	78,5	28,5	73,5	-73	[001]	26(0,50)
2.	II7	84	52,5	39,5	+80	1[001] (010)	40(I,0)	23.	812/2	81,5	24,5	67,5	-88	[001]	22(0,50)
3.	870	83	65,5	25	-64	1[001] (010)	24(0,25)	25.	813	68	28	64,5	-72	[001]	26(0,50)
4.	233	84	63	28,5	-84	1[001] (010)	32(I,0)	26.	575	10,5	81	84	-76	1(010)	24(0,50)
5.	233/2	82	58	33	-82	1[001] (010)	32(0,75)	27.	313	88	23,5	66,5	-82	[001]	I6(I,0)
6.	22I	74	35	57	+80	1[001] (010)	42(0,25)	28.	310	86	77,5	12,5	-74	1[001] (010)	I0(I,0)
7.	I029	8,5	81,5	86,5	-83	1(010)	25(0,75)	29.	560	81,5	21	71,5	-76	[001]	8(0,25)
8.	I27	85,5	22	67	-80	[001]	22(0,25)	30.	526	86	23	70,5	-62	[001]	I0(0,00)
9.	50	86;5	20	70,5	+78	[001]	I6(0,25)	31.	71	87	19	72,5	+70	[001]	I0(0,50)
10.	275	86	20,5	71	+78	[001]	I6(0,25)	32.	329	14	75,5	89	-74	1(010)	30(0,75)
II.	I4I	87	I9	71	-76	[001]	I8(0,50)	33.	673	9,5	81,5	90	-76	1(010)	27(I,0)
I2.	I67	87,5	I7	72,5	-73	[001]	I6(0,75)	34.	329/2	23	67	89	-80	1(010)	36(0,50)
I3.	729	88	20,5	70	-72	[001]	20(I,0)	35.	26I	22	77,5	88	+84	1(010)	35(0,50)
I4.	700/2	86;5	24,5	66	+60	[001]	22(0,75)	36.	672	79	26,5	65,5	-78	[001]	26(0,50)
I5.	I06	77	26,5	68	-85	[001]	22(0,00)	37.	205	72,5	38	60	-78	[001]	34(0,50)
I6.	I39	86,5	68	22	-80	1[001] (010)	24(0,50)	38	579	30,5	61,5	82	-89	1(010)	50(0,25)
I7.	742	85	22	64	-71	[001]	22(0,50)	39.	I028	75	48	47	-86	1[001] (010)	5I(0,25)
I8.	8I0	80	28,5	62	-72	[001]	26(0,50)								
I9.	8I2	86,5	24	66	-86	[001]	22(0,50)								
I0.	I039	86,5	22,5	67,5	-82	[001]	22(0,50)								
I1.	756	74,3	3I,5	65	-75	[001]	30(0,50)								

x/ Определения степени упорядоченности (в скобках) и состава плагиоклазов проводились по диаграмме А.С.Марфунина (1960,1962).

I-7 - породы II-го комплекса, средний состав № 35; 8-II - граниты I-ой фазы, средний состав № 18; 12-I7- гранодиориты II-ой фазы, средний состав № 21; 18-23 - гранодиориты III фазы, средний состав № 25; 24-26 - породы дополнительных интрузий аплитовидных гранитов, средний состав № 24; 27-3I - амфиболиты, средний состав № II; 32-34 - дайковые породы гранодиорит-порфирового состава I генерации, средний состав № 3I; 35-37 - гранодиорит-порфировые дайки II-ой генерации, средний состав № 32; 38-39 - спессартиты, средний состав № 50.

Вкрапленники в отмеченных разновидностях отличаются также габитусом, окраской и количеством на единицу площади. В породах III фазы отмечаются также крупные овощи калишпата с каймой олигоклаза (тип рапакиви).

Во всех разновидностях горных пород изученного интрузивного комплекса калишпат как в основной массе, так и во вкрапленниках представлен перитом. Тонкоожилковатые, субпараллельные полоски перитита имеют мощность до 0,1 мм и являются криптоперититами /4/.

Для диагностики калиевых полевых шпатов замерены показатели преломления, координаты спайности и углы оптических осей (табл. 3). Данные рентгеновской триклинистости калишпатов из порфировидных гранитоидов заимствованы у Б.М. Меликсетяна и равны 0,69.

Т а б л и ц а 3

Оптические свойства калиевых полевых шпатов исследованных гранитоидов

№ п/п	Показатели преломления			± (001)			Среднее - 2V	$s_{tr}^{xx}/$
	Ng'	Nm'	Np'	Ng	Nm	Np		
1. I,527 ^{x/}	I,525	I,518	- I,519	86	5	87	63,4	0,48
2. I,527	I,523	I,520-	I,524	89	4	86	61,I	0,42
3. I,525	I,523	I,519-	I,520	88	6	84	62,I	0,45
4. I,525-	I,523-	I,519-	I,526	85	8	84	61,2	0,43
5. I,526	I,523	I,520		90	9	82	61,3	0,43

x/ Точность измерения здесь и в последующих $\pm 0,002$

xx/ Степень триклинической упорядоченности вычислена по формуле $s_{tr} = 0,025 (2V - 44)$ (Марфуин, 1962).

1. Граносиениты. 2. Порфировидные граниты I-ой фазы. 3. Порфировидные гранодиориты II-ой фазы. 4. Порфировидные гранодиориты II-ой фазы. 5. Аплитовидные граниты.

Для определения содержания альбитовой составляющей можно воспользоваться диаграммой состав-свойства /1/, согласно которой

в изученных калишпатах присутствует от 20 до 25% альбита. Содержание этой же составляющей, согласно диаграмме Хьюлетта (Марфунин А.С., 1962), равно в среднем около 20% альбита в твердом растворе.

Учитывая имеющиеся данные, калиевые полевые шпаты исследованных пород можно отнести /4/ к высоким-промежуточным триклинным ортоклаз-криптоперититам № 20-25.

Роговая обманка. Является наиболее распространенным темноцветным минералом в рассматриваемых породах. В гранодиоритах III фазы образует выделения размером до 2,5 см.

Для диагностики роговых обманок разновидностей изученных пород замерены координаты спайкостей, показатели преломления, а также углы оптических осей (табл. 4).

Таблица 4

№ пп	Координаты спайкости			Показатели преломления			Ng-Np	cNg	-2V
	Ng	Nm	Np	Ng'	Nm'	Np'			
I.	77	62	31	I,668	I,665	I,652 ^{x/}	-	I7	72,70
2.	75	64	32	-	-	-	0,017 ^{xx/}	20,16	80
3.	75,5	62	33	I,669	I,666-	I,653	0,018	I8	78,76
					I,667				
4.	-	-	-	-	-	-	-	I7,20	78,73
5.	76,5	62	33,5	-	-	-	-	20	78
6.	72	62	35	I,669	I,666	I,653	-	I8,22	76,80
7.	72	62	31,5	-	-	-	0,019	20,17	78,82
8.	-	-	-	I,668	I,665	I,652	-	I8,20	80,80
9.	-	-	-	I,668	I,665-	I,652	0,016	I8,18	79,78
					I,666				

x/ Точность измерения здесь и в последующих $\pm 0,003$

xx/ Величина двупреломления замерена компенсатором Никитина-Берека.

№ 1-2 - породы граносиенитового состава, № 3-4 - порфировидные граниты I фазы, № 5-6 - порфировидные среднезернистые гранодиориты II фазы, № 7-8 - порфировидные гранодиориты III фазы, № 9 - аплитовидный гранит.

Оптические свойства роговых обманок исследованных интрузивных пород различного возраста не обнаруживают значительных колебаний констант. Незначительное увеличение значений угла $c:Ng$ до 19° и $-2V$ до 79° (среднее по замерам) устанавливается для пород III фазы интрузивного комплекса порфировидных гранитоидов.

По координатам спайности /6/ и оптическим свойствам относятся к обыкновенной роговой обманке. Общая железистость изученных роговых обманок /5/ составляет около 40%.

Биотит. Наибольшие содержания биотита отмечаются в порфировидных гранитах I фазы (до 2,5%), где он образует таблитчатые выделения размером до 0,4 см.

Биотиты изученных разновидностей пород обнаруживают близкие оптические свойства. Значения показателя преломления по Ng соответствуют 1,638 - 1,639 при точности измерения 0,003. Плеохроизм от темно-коричневого - по Ng до светло-коричневого -- по Nm. Биотиты с подобными оптическими свойствами, согласно /1/, содержат 50% флогопитовых и 50% лепидомелановых весовых частей. Общая железистость изученных биотитов /5/ составляет около 45%.

Имеющиеся данные микроструктурного анализа по плагиоклазу и биотиту рассматриваемых пород /3/ дают основание утверждать, что выделение этих минералов происходило в движущемся магматическом расплаве, что позволило им ориентироваться согласно определенным направляющим поверхностям (контакты, кровля).

Время кристаллизации плагиоклазов устанавливается по их взаимоотношениям с другими минералами. Плагиоклаз ранних генераций (таблица I) кристаллизуется после роговой обманки, но идиоморfen по отношению к биотиту, калиевому полевому шпату и кварцу.

Плагиоклаз поздней генерации и биотит в большинстве случаев имеют одинаковую степень идиоморфизма, близки по времени образования. Четкий идиоморфизм биотита наблюдается по отношению к кварцу, калиевому полевому шпату и слабее - в участках контакта его с плагиоклазом поздней генерации. Наибольший идиоморфизм биотита проявляется по отношению к внешним зонам многозональных плагиоклазов. Во всех разновидностях изученных пород плагиоклаз идиоморfen по отношению к калиевому полевому шпату основной массы и кварцу.

Таким образом, основная масса плагиоклаза развивается в ин-

тервале после кристаллизации роговых обманок и в значительно преобладающей массе до и вместе с биотитом. Последнее с учетом данных микроструктурного анализа по биотиту, устанавливающего кристаллизацию биотита, как и вкрапленников плагиоклаза в условиях движения расплава, дает основание считать, что в статическом состоянии, по-видимому, могли кристаллизоваться только калиевые полевые шпаты, кварц, а также незначительное количество кислого плагиоклаза.

Отмеченное, а также целый ряд других факторов исключают, по-видимому, возможность метасоматического образования рассматриваемых гранитоидов. Наряду с этим при кристаллизации порфировидных гранитоидов в верхних структурных этажах, в камерах становления интрузивов, имели место автометасоматические процессы, наиболее широко проявленные в порфировидных гранодиоритах III фазы — в самом крупном из рассмотренных интрузивных массивов комплекса порфировидных гранитоидов.

Основываясь на проведенных исследованиях, можно отметить следующее:

1. В общей сложности породы, слагающие интрузивный комплекс порфировидных гранитоидов, являются более лейкократовыми по сравнению с породами граносиенитового состава предшествующего III интрузивного комплекса Мегринского plutона.

2. Средний состав плагиоклазов в граносиенитах соответствует андезину № 35. Средние составы плагиоклазов по фазам пород комплекса порфировидных гранитоидов представлены соответственно олигоклазами № 18, № 21 и № 25. В ядрах отдельных зональных кристаллов в порфировидных гранодиоритах обеих фаз отмечаются плагиоклазы № 36–40.

3. Менее упорядоченное состояние плагиоклазов из интрузивных пород порфировидных гранитоидов может быть связано с гипабиссальными условиями становления этих интрузивов.

4. Отмечается абсолютное преобладание альбит-карлсбадского закона двойникования плагиоклазов в породах граносиенитового состава, тогда как в порфировидных гранитоидах преобладают карлсбадские двойники.

5. Согласно данным, полученным при измерении оптических констант, не установлено существенных различий состава роговых обманок, биотитов и калиевых полевых шпатов. Калиевые полевые шпа-

ты представлены разновидностью высоких-промежуточных триклинических ортоклаз-кристоферитов № 20-25.

Л И Т Е Р А Т У Р А

1. Винчелл А.Н. и Винчелл Г. Оптическая минералогия.- ИЛ, 1953.
2. Карапян К.А., Таян Р.Н., Гюмдлян О.П. Основные черты интрузивного магматизма Зангезурского рудного района Армянской ССР. - Известия АН АрмССР, Науки о Земле, № 1, 1974.
3. Kocharyan B.G., Tayan R.N. Nekotorye zakonomernosti orien-tirovki vtorogo pinaikoinda plagioklazov v intruzivakh Megrin-sko-go plutona. - Izvestiya AN ArmcSCP, Nauki o Zemle, № 1-2, 1967.
4. Marfunin A.S. Polevye shpaty-fazovye vzaimootnosheniya, opticheskie svoystva, geologicheskoe raspredelenie. - Tr. IGETM, vyp. 78, 1962.
5. Sobolev B.C. Znachenie zhelezistosti femicheskikh mineralov i vspomogatelnye diagrammy dlya opredeleniya sastava biotitov, rogovых obmanok i rombicheskikh piroksenov. - Min.sib. Lvov, geol. ob-va, № 4, 1950.
6. Sobolev B.C. Fedorovskiy metod. - Gosgeoltekhnizdat, 1954.
7. Tayan R.N. Novye dannye o geologicheskem stroenii intruzii porfirovidnykh granitov i granodiortitov Megrin-skogo plutona. - Izvestiya AN ArmcSCP, geolog. i geograf. nauki, № 3, 1963.

РАССЛОЕННЫЕ ГАББРО ОФИОЛИТОВОЙ СЕРИИ ЮГО-ВОСТОЧНОЙ ЧАСТИ СЕВАНСКОГО ХРЕБТА

О расслоенности пород габбро-перидотитовых интрузий офиолитовой серии Севанского пояса в литературе имеются отрывочные сведения (Абовян, 1981), ограниченные лишь одними простыми упоминаниями о них. Одновременно с подобными упоминаниями, без конкретных описаний, делается основной акцент на многофазное формирование ультрабазитов и разновидностей габбро.

Проведенные нами исследования в юго-восточной части Севанского хребта позволяют убедиться в подлинной расслоенности габбройдов (и не только габбровых пород) всего Севанского офиолитового комплекса.

В юго-восточной части Севанского хребта габбройды развиты в системе Карайман-Зодского габбро-перидотитового массива (Абовян, 1961), где наиболее крупные их выходы зафиксированы в районе с. Джанахмед (Джанахмедский массив) и на Зодском рудном поле. На последнем габбро занимают площадь более 7,0 кв.км. и в последующем изложении этот выход будет именоваться нами как Зодский габбровый массив.

В исследованном районе (как и во всем поясе) габбройды и ультрабазиты залегают совместно, образуя единые зоны близширотного простирания, располагающихся несколько косо относительно общего северо-западного направления всего Севанского офиолитового пояса. Зодский выход габбро в системе Карайман-Зодского габбро-перидотитового массива занимает его южную половину, хотя местами обособленные и относительно мелкие тела габбро в виде островков встречаются и внутри полей развития ультрабазитов. Взаимоотношения габбро и ультрабазитов до сих пор остаются нерешенными и являются предметом споров. Контакты между ними, а также с породами рамы в основном сорваны, тектонические, и нет достоверных фактов, до-

казывающих их магматическую интрузивную природу. Определенные неясности имеются и относительно взаимоотношения габбро с эффицивами оphiолитовой серии, однако, более вероятным является представление, что вулканиты налегают на основные интрузивные породы, выдерживая вариант разреза океанического типа коры.

Предыдущими исследователями (Абовян, 1961, 1981; Меликян, 1979; Паланджян, 1971 и др.), изучавшими геологическое строение и магматизм района, в группе габбродоров были выделены различные типы с определенной схемой последовательности фаз внедрения от меланократовых до лейкократовых.

Детальное изучение внутреннего строения габбровых массивов Зодского рудного поля и их сопоставление с другими аналогичными телами Севанского оphiолитового пояса с учетом литературных данных (Абовян, 1961, 1981), определение характера взаимоотношений разновидностей габбро между собой, детальные полевые и микроскопические исследования пород "контактовых" зон и т.д. показали, что фазовые взаимоотношения между различными собственными типами отсутствуют. Результаты этих детальных исследований привели к выводу, что разновидности пород внутри единого интрузивного тела являются продуктами ликвационно-кристаллизационной дифференциации магматического расплава. Однако, эти процессы расслоения протекали как прерывистой, так и непрерывной схеме, с формированием в одном случае последовательно дифференцированных полос, в другом - контрастно-ритмичных.

По причине отсутствия фактов нормальных интрузивных контактов габбрового массива с породами рамы, в настоящее время нет основания указывать местоположение дна магматической камеры и лишь по сопоставлению имеющихся данных по другим массивам Севанского оphiолитового пояса можно восстановить относительно подлинную картину взаимоотношений интрузивов габбро и ультрабазитов. В общей сложности установлено общее падение расслоенности пород на северо-восток под углом 75-80° при ее северо-западном простирании. Отсюда следует, что подошва всей расслоенной серии пород находится юго-западнее от современных контуров габбрового массива, под полем развития верхнесенонских известняков.

При общем северо-западном направлении расслоенности наблюдаются некоторые местные отклонения, которые, по нашему мнению и примерам аналогичного строения в детально исследованных массивах

(Уэйджер, Браун, 1970), являются результатом внутрикамерных обвалов и оползней. Подобным участком является район г. Сев.Хач. Однако не исключается вариант, что эти структурные отношения являются следствием постинтрузивной тектонической нарушенности массивов и, в частности, у приконтактовых зон сильно серпентинизированных ультрабазитов. В последнем случае допускается и некоторый поворот отдельных блоков при прорузыивном перемещении масс ультраосновного состава.

В общей сложности для Зодского габбрового массива устанавливается закономерное увеличение лейкократовости пород с юго-запада на северо-восток, перпендикулярно к расслоенности.

В различной степени развитое линейное распределение породообразующих минералов, являющееся характерной особенностью всех разновидностей габбро исследованного района, иногда оказывается трудно уловимым в тех случаях, когда не проявлено чередование контрастных по составу пород или же последние метасоматически сильно переработаны и обесцвеченные темноцветные составляющие не выделяются на лейкократовом фоне полевых шпатов.

Внутри интрузива, при общей линейности пород, контрастно чередующиеся зоны проявлены локально. Некоторые наиболее ярко выраженные и детально изученные участки расположены на левом борту оврага под высотой Сев.-Хач, на мысу ручьев Армянской балки, на горном отроге междуречья Тигранагет и Армянская балка и др.

На основании детальных исследований минерального состава пород и их сопоставления с результатами химических анализов среди габброидов Зодского массива выделяются следующие разновидности: меланократовые габбро (магнетит-оливиновое габбро, магнетитовый габбронорит, оливиновое габбро, габбронорит), габбро, лейкократовое габбро, аортозиты. Наряду с этим в расслоенных зонах установлены две минеральные линии пород, внутри которых наблюдается закономерное изменение количественных соотношений породообразующих и рудных минералов. В оливиновой линии пород отмечается следующая последовательность развития: магнетит-оливиновое габбро - оливиновое габбро - габбро-лейкократовое габбро - аортозит, а в гиперстеновой линии - магнетитовый габбронорит - габбронорит - габбро - лейкократовое габбро - аортозит. Вместе с этим наблюдается присутствие, в подчиненном количестве, гиперстена в породах оливиновой линии и, соответственно, оливин в гиперстеновой.

При сопоставлении различных вариантов чередования пород внутри зон, установлены два типа расслоенности: контрастно дифференцированный и последовательно дифференцированный.

В контрастно дифференциированном типе расслоенности участвуют два крайних члена пород минеральных линий - магнетит-оливиновое габбро и аортозит или магнетитовый габронорит и аортозит. В последовательно дифференциированном типе расслоенности участвует весь набор пород каждой минеральной линии в отдельности. Вместе с этим установлено, что внутри зон контрастно дифференциированного типа пород полосы имеют мощность от 20-25 до 40-50 см каждый, а в последовательно дифференциированном типе толщина полос не превышает 20-25 см, причем крайние члены-аортозиты являются весьма маломощными (до 5-7 см).

В природе рассмотренные типы расслоенности на общем полосчатом фоне массива встречаются обособленными, в одном случае контрастными парами (магнетит-оливиновое габбро - аортозит и магнетитовый габронорит - аортозит), а в другом - в основном триадными формами (магнетитовое габбро - габбро - лейкократовое габбро); в последнем случае часто аортозиты не обособлены в самостоятельные полосы и выявляются при микроскопических наблюдениях. Примером контрастно дифференциированного типа является обнажение на мысу ручейков, составляющих р. Армянская балка, а последовательно дифференциированного - на южном склоне выс. Сев-Хач.

Крупномасштабным геологическим картированием установлено, что преобладающая южная и соответственно стратиграфически нижняя половина Зодского массива сложена габроноритами, содержащими полосы магнетитовых габроноритов и реже габбро и аортозитов. Верхняя, относительно меньшая половина массива сложена габбро, которые, в свою очередь, содержат подчиненное количество прослоев габроноритов, лейкократовых габбро и аортозитов.

Как показали составленные послойные разрезы, полосы оливиновых габбро, играющие подчиненную роль в массиве, приурочены к зоне раздела габроноритов и габбро. Довольно характерным для этих оливиновых габбро является то, что к середине полос иногда постепенно переходят в полевошпатовые перидотиты.

Оливиновое и магнетит-оливиновое габбро в поле макроскопически резко выделяется своей меланократостью на серо-зеленом фоне габроидов, а при соседстве с анортозитами контрастность выражается еще сильнее. Магнетитовая разность этих пород при темно-зеленом цвете довольно часто имеет бурый оттенок вследствие окисления содержащегося в них значительно го количества рудного минерала.

В составе пород участвуют плагиоклаз, клинопироксен, оливин, магнетит (по высокому содержанию имеющий значение пордообразующего), вторичные минералы: боуллингит, серпентин, роговая обманка, хлорит.

Плагиоклаз-битовнит (№ 83-84), составляющий 35-40% в магнетитовых разностях и 50% в обычных оливиновых габбро, образует изометричные и редко вытянутые по оси "с" зерна размером до 3х2 мм, с извилистыми контурами, приспособленными к соседним минералам.

Клинопироксен обычно червеобразными выделениями заполняет интерстиции между кристаллами полевого шпата и оливина. Минерал бесцветный или слабо буро-зеленый, не плеохроичен, $c:Ng = 38-44^{\circ}$, $Ng - Nr = 0,029$, обычно свежий и в редких случаях замещен амфиболовым и хлоритом.

Оливин в природе встречается бесцветными зернами ($Ng - Nr = 0,035$) с весьма неправильными, извилистыми и как-то оплавленными контурами; покрыт трещинами, по которым развит вторичный магнетит. Изменения оливина протекали двумя независимыми путями, при которых развивались разные парагенезисы вторичных минералов, заполняющие в площадном отношении самостоятельные участки.

В одном случае, при изменении оливина, совместно с образованием петельчатой структуры, формировался сложный парагенез вторичных минералов, состоящий из серпентина, карбоната магния, аморфного кремнезема, рудного минерала. Участки петель сложены серпентином, узлы которых заняты магнезиальным карбонатом, а в ядрах иногда находятся реликты оливина. Иногда эти узлы бывают заполненными аморфным кремнеземом.

Во втором случае зерна оливина почти нацело замещены боуллингитом с весьма редкими реликтами оливина в центре, при этом наблюдается интенсивное выделение зерен рудного минерала, образующих цепочки и подчеркивающих направление трещин, пересекающих

кристаллы минерала-хозяина. Боулингит часто унаследует кристаллическую ориентировку исходного минерала, слабо зеленый с прямым угасанием, $N_g - N_p = 0,025$.

Роговая обманка вторичного происхождения является редким минералом, замещающим клинопироксен, хотя вместе с этим иногда она выполняет микропроявления. Минерал светло-зеленого цвета с характерной для амфиболов схемой плеохроизма, с: $N_g = 19^0$, $N_g - N_p = 0,017$.

Карбонат магния развит исключительно в серпентинизированных зернах оливина, в виде каймы обрастает реликты исходного минерала; здесь же развит и вторичный аморфный кремнезем.

Серпентин, развитый по микропроявлениям, пересекающим кристаллы оливина, светло-зеленого цвета с низким показателем двупреломления.

Рудный минерал - магнетит образует ксеноморфные зерна, выполняющие интерстиции между темноцветными и полевошпатовыми составляющими и по количеству (до 15% от общей массы породы) играет роль породообразующего.

Структура породы панидиоморфнозернистая, местами переходящая в офитовую. Наблюдается отчетливое обособление отдельных породообразующих минералов в определенные участки, образующих таким образом микрополосы, состоящие в одном случае в основном из полевошпатовых зерен, в другом - клинопироксен-гиперстеновых, с большим участием рудного компонента.

Габбронориты и магнетитовые габронориты являются наиболее распространенными разностями пород массива. Эти темно-серо-зеленые, местами обожженные, среднемелкозернистые породы в поле иногда с трудом отличаются от оливиновых разностей. В минеральном составе пород участвуют плагиоклаз, клинопироксен, гиперстен, магнетит, вторичные - серпентин, бастит, альбит, хлорит, кальцит.

Обычно свежий, иногда сдвойникованый по альбитовому закону плагиоклаз-битовит ($\# 78-80$) образует панидиоморфные, несколько изометричные зерна размером 2x3 мм, среди которых иногда наблюдаются призматической формы кристаллы, явно идиоморфные относительно темных минералов. В редких случаях по трещинам раздробленных кристаллов развит вторичный альбит, иногда составляющий до 10-15% массы зерна.

Клинопироксен образует округлые зерна размером до 2 мм, имеет слабо зеленый цвет и не плеохроичен; с: Ng = 46-48°, Ng - Np = 0,028. Редко, при изменении, замещен хлоритом.

Гиперстен тесно ассоциирует с клинопироксеном и округлыми, иногда несколько продолговатыми зернами участвует в сложении мицрополос меланократового состава. Минерал слабо плеохроичен, по Ng = Nm - слабо зеленый, по Np - нежно розовый, с: Ng = 6-8°, Ng - Np = 0,012. При изменении, иногда выраженному довольно интенсивно, гиперстен переходит в бастит или в массу, состоящую из серпентина и хлорита с подчиненным участием вторичного рудного минерала.

В магнетитовой разности габброноритов рудный минерал (до 15% от общей массы породы) образует ксеноморфные зерна, выполняющие интерстиции между темноцветными и полевошпатовыми составляющими, играя роль породообразующего.

Нормальное и магнетитовое габбро в массиве имеют довольно широкое распространение. В минеральном составе этих серо-зеленых, средне-мелкозернистых пород участвуют плагиоклаз, клинопироксен, а в магнетитовой разности и большое количество магнетита. Будучи промежуточными по составу породами, они содержат в весьма ограниченном количестве оливин или гиперстен, или же продукты их разложения.

Плагиоклаз-битовник (№ 75-76), образующий обычно изометричные с неровными краями, иногда вытянутые зерна размером до 2,0x3,5 мм, обычно свежий и нередко сдвойникован по альбитовому и альбит-карлсбадскому закону.

Бесцветные зерна клинопироксена (с: Ng = 42°, Ng - Np = 0,028) размером до 1,5x2,0 мм отчетливо ксеноморфны относительно плагиоклаза; иногда частично или же нацело замещены вторичным амфиболом.

Магнетитовые разности габбро отличаются высоким содержанием темноцветных минералов (более 50%) и рудного (более 20% в виде аккумулята) - выполняющего интерстиции между зернами полевых шпатов и клинопироксена.

Вторичные минералы развиты не повсеместно и наряду с совершенно свежими разностями встречаются в различной степени переработанные. Светло-зеленый, слабо плеохроирующий вторичный амфибол (с: Ng = 16°, Ng - Np = 0,022) развит по клинопироксену и ред-

ко заполняет микропрояилки. Вторичный альбит довольно часто слагает микропрояилки. Пренит в основном образует микропрояилки и в меньшей мере развивается по зернам плагиоклаза. Кальцит обычно развит по плагиоклазу и его выделение, вероятно, связано с процессом альбитизации пород.

Лейкократовые габбро в Зодском массиве имеют относительно ограниченное распространение. Породы отличаются лейкократовым обликом, на фоне которого хорошо различимы светло-зеленые кристаллы клинопироксена; для них характерно среднезернистое, иногда крупнозернистое сложение. Минеральный состав пород очень простой: плагиоклаз и клинопироксен; вторичные минералы - амфибол, альбит, пренит, хлорит и кальцит.

Плагиоклаз-битовнит (№ 84-86) образует панидиоморфные, иногда призматически продолговатые зерна размером до 3,0x3,5 мм и, реже, более. Сохранность минерала хорошая и только местами наблюдается частичное замещение альбитом (особенно по трещинкам спайности), пренитом.

Бесцветный или слабо-зеленоватый клинопироксен ($c:Ng = 38^{\circ}$, $Ng-Np = 0,021$) образует неправильные, с извилистыми краями, обычно приспособленные к контурам кристаллов полевых шпатов зерна; в различной степени замещен зеленым амфиболовом.

Обыкновенная светло-зеленая роговая обманка, имеющая характерную для амфиболов схему плеохроизма ($c:Ng = 14^{\circ}$, $Ng-Np = 0,021$), развита исключительно по клинопироксену, нацело замещая его или же в виде зеленых пятен выступая на общем светлом фоне кристаллов. Несмотря на то, что амфибол является минералом вторичного происхождения, сам в свою очередь иногда замещен хлоритом.

Альбит развивается по полевому шпату, а в ряде случаев совместно с пренитом выполняет микропрояилки. Бесцветный, с высоким показателем светлопреломления и двупреломления ($Ng-Np = 0,038$) пренит аналогично альбиту развивается по плагиоклазу и слагает микропрояилки. Кальцит в комплексе с альбитом и пренитом замещает полевой шпат и амфибол в сопровождении хлорита.

Довольно четко устанавливается, что площадное замещение полевых шпатов вторичными минералами приурочено к определенным зонам развития прожилков с альбитом и пренитом.

Редкие зерна магнетита приурочены к участкам развития амфибилизованных и хлоритизированных клинопироксенов.

Анортозиты, являющиеся наиболее лейкократовыми породами в серии габброидов, имеют очень простой минеральный состав - плагиоклаз, клинопироксен и развитые по ним вторичные минералы, очень редко - рудные.

Плагиоклаз-битовнит (№ 86-88), составляющий более 90% породы, образует зерна неправильной формы, однако иногда встречаются и относительно крупные, индивидуализированные, с прямолинейными очертаниями кристаллы размером до 3,2x2,5 мм.

Единственный темноцветный минерал представлен клинопироксеном, развитым в инерстициях кристаллов полевых шпатов, неправильной лапчатой, а иногда и червеобразной формой зернами. Минерал бесцветный.

Внутри угловатых занорышей между зернами плагиоклаза встречаются свободно выросшие призматические кристаллы зеленой роговой обманки с характерными для нее следами спайности. В некоторых случаях подобные занорыши выполнены цоизитом самостоятельно или совместно с амфиболом.

Из числа вторичных минералов в анортозитах встречаются: зеленая роговая обманка ($c:Ng = 11^{\circ}$, $Ng-Np = 0,020$), замещающая клинопироксен; альбит, пренит и реже серицит, развитые по полевому шпату, и еще реже - хлорит. Пренит в большом количестве встречается и в трещиноватых, механически переработанных анортозитах в виде прожилков и, таким образом, кроме метасоматической разновидности выделяется и жильный.

Полевошпатовые перидотиты, слагающие среднюю зону полос оливиновых габбро и имеющие с ними постепенные переходы, состоят из оливинса, клинопироксена, плагиоклаза, хромита и вторичных минералов.

Оливин ($Ng-Np = 0,036$), составляющий 75-80% от всей массы породы, покрыт трещинами, выполненными хризотилом с магнетитовыми просечками по середине прожилков. Иногда внутри петель наблюдается развитие боуллингита. Зерна оливина при соседстве с плагиоклазом, реже с пироксеном, имеют округлую форму, а при соприкосновении друг с другом контуры их прямолинейные.

Клинопироксен ($c:Ng = 45^{\circ}$, $Ng-Np = 0,028$) образует неправильные, приспособленные к кристаллам полевого шата зерна размером до 2 мм.

Плагиоклаз-битовнит (№ 84-85), имеющий подчиненное значение,

развит неправильными зернами, приспособленными к контурам оливина, обычно замещен серо-буроватым гроссуляром.

Аксессорный темно-коричневый хромит с вторичным магнетитом на краях зерен развит в промежутках между кристаллами оливина и плагиоклаза, чем и подчеркивается его более позднее выделение.

Обсуждение результатов

Среди исследователей-геологов существует мнение, что расслоенность основных и ультраосновных пород присуща только массивам, сформированным в платформенных областях с мощной континентальной корой, тектоническая устойчивость которых способствовала долговременному и спокойному развитию процессов кристаллизации магматического расплава. Расслоенные массивы отмеченного типа характеризуются присутствием зон закаленных пород на контакте с вмещающей средой, факолитовой или корытообразной формой тел, закономерной сменой снизу вверх ультрабазитов на габбро, а в некоторых случаях до гранофирос, весьма постоянным составом в полосах на большие расстояния (Уэйджер, Браун, 1970; Марков, 1980; Гурулев, 1983; Поляков и др., 1974 и др.).

Многочисленными исследователями доказано, что альпинотипные ультрабазиты и габбро офиолитовой серии формируются в областях с океаническим типом коры (Пейве, 1969; Книппер, 1975; Марков, 1975; Камалетдинов, 1983; Разницин, 1982 и др.) и спрединг от 1-2 до 4-5 см в год, существовавший в период их образования, не препятствовал дифференциации магматического расплава на месте формирования расслоенных систем.

Процессы расслоения магматических систем в нижних горизонтах современных океанических плит, несомненно, происходит и в настоящее время, подтверждением чему являются драгированные обломки расслоенных габбро из морского дна в зонах трансформных разломов поперечным к срединно-оceanическим хребтам (Мелсон, 1973; Каширцев, 1979 и др.).

Севанский офиолитовый пояс, как область с океаническим типом коры (Книппер, 1975; Казарян, 1979), пережил все этапы развития отмеченного типа коры и несет все характерные черты ее эволюции, освещенные в многочисленных работах (Пейве, 1969; Книппер, 1975; Марков, 1975 и др.), в которых также отмечаются расслоенные серии альпинотипных ультрабазитов и габбро (Колман, 1979; Разни-

цин, 1982). Как показывают исследования, одной из характерных особенностей альпинотипных ультрабазитов и габбро является полное отсутствие горячих контактов с породами рамы, например массивы Троодос, Вуринос, Пойн-Сел, Восточного Сахалина (Мурс, 1973; Колман, 1979; Разницин, 1982), а в расслоенной серии отдельные слои имеют небольшую протяженность (Разницин, 1982).

Зодский расслоенный габбровый массив, обладающий отмеченными особенностями, имеет свои аналоги в азербайджанской части Севанского пояса, в виде Левского, Союзлинского и Илякского массивов (Исмаил-Заде, 1982). Одновременно с перечисленными отличительными чертами геологического строения, эволюция магматического расплава Зодского массива во многом повторяет характерные особенности ряда стратiformных габбровых интрузивов (Скергаард, Стиллуотер, Златагорск и др.). Это подтверждается приложенной диаграммой АГМ (рис. I, табл. I), где фигуративные точки анализов пород расположены вдоль ребер FM и FA и во многом повторяют тренд развития пород Скергаардского массива (Уэйдер, 1970) с обогащением пород железом, приводившему к появлению значительного количества магнетита в минеральном составе.

По химическому составу (табл. I) габбро и габбронориты, составляющие подавляющую часть Зодского массива, имеют низкокалиевый и низкотитанистый характер, чем аналогичны соответствующим океаническим толеитам, и только меланократовые дифференциаты, обогащенные железом, проявляют высокотитанистость (рис. 2) с одновременным уменьшением этих элементов в лейкократовой ветви. Вместе с этим оба дифференциата отличаются низкокалиевостью. Уместно заметить, что в современных океанических областях со временем низкокалиевые толеиты сменяются ферробазальтами и сопутствующими им кератофирами. В Севанском пояссе аналогичным образом в эфузивной серии, в конце формирования вулканического этапа, появляются богатые железом титанистые диабазы (Саринар) и ассоциирующие с ними альбитизированные плагиодакиты.

Полученные предварительные результаты позволяют считать, что магматический расплав, породивший все разновидности габбро рассмотренного расслоенного интрузива, скорее всего имел низкокалиевый и низкотитанистый толеитовый состав. Зарождение этого толеитового расплава было обусловлено расщеплением первичного пиролита (Грин, Рингвуд, 1968) на ультрабазитовые и толеитовые сос-

тавляющие. В дальнейшем каждый дочерний расплав эволюционировал самостоятельно. Накопление титана и железа в меланократовых дифференциатах массива наводит на мысль о возможном нахождении титано-магнетитовых руд в расслоенной серии габброидов Севанского офиолитового пояса.

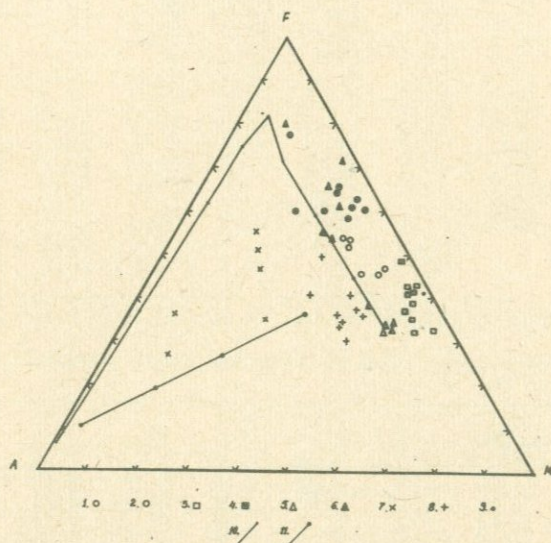


Рис. I. Направление развития габброидов Зодского массива. А - $\text{Na}_2\text{O} + \text{K}_2\text{O}$, F - $\text{FeO} + \text{Fe}_2\text{O}_3 \cdot 0,9$, М - MgO

I. Габбронориты, 2. магнетитовые габбронориты, 3. оливиновое габбро, 4. магнетит-оловиновое габбро, 5. габбро, 6. магнетитовое габбро, 7. лейкократовое габбро, 8. анортозиты, 9. полевошпатовые перидотиты, 10. эволюционная линия магмы Скьераардского массива, 11. линейная эволюция средних составов пород известково-щелочной серии по Р.Дали.

Особенности геологического строения ультрабазитовых и габбровых массивов, характер их взаимоотношений и интерпретации результатов петрографического изучения пород позволяют наметить ряд закономерностей формирования интрузивов исследованного района.

Полосчато-линейная текстура пород и расслоенность внутри массивов ультрабазитов и габброидов имеют первично-магматическое

происхождение. Чередующиеся полосы различного минерального состава формировались на месте, внутри единой магматической камеры, в результате ликвационно-дифференциационных явлений. Это подтверждается отсутствием экзо- и эндоконтактовых изменений на границе полос, сложенных породами различного минерального состава.

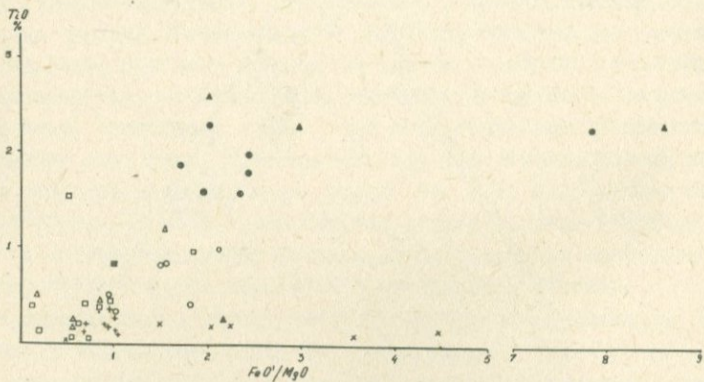


Рис. 2. Отношение TiO_2 и FeO'/MgO в габброидах Зодского массива ($FeO' = FeO + Fe_2O_3 \cdot 0,9$).

Расслоенность внутри интрузивных массивов имеет постепенный и резко контрастный характер. Постепенные переходы пород внутри массивов в одном случае происходят путем изменения только количественного соотношения одних и тех же породообразующих минералов, а в другом - видового состава минералов. Если внутри ультрабазитовых массивов переход гарцибургитов в лерцолиты происходит весьма постепенно, то в эндоконтактовых частях этих же интрузивов смена пород весьма резкая. Так, например, по обе стороны от пироксенитовых полос наблюдается весьма резкая смена лерцолитов верлитами, образующими макро- и микроритмы (последние обнаруживаются только под микроскопом). Здесь же обнаружены чередующиеся с верлитами полосы полевошпат-содержащих пород, по составу соответ-

Таблица I

Химический состав габбро Зодского
расслоенного массива

Оксиды	1	2	3	4	5	6	7	8	9
SiO ₂	44,20	43,38	42,50	48,00	39,12	47,82	45,71	50,60	39,86
TiO ₂	0,89	1,59	2,28	0,87	2,16	0,21	0,20	0,09	0,18
Al ₂ O ₃	14,48	21,32	14,00	17,40	8,22	18,34	25,21	26,40	6,84
Fe ₂ O ₃	6,58	0,59	10,58	4,80	14,41	2,28	0,13	0,16	10,49
FeO	5,47	4,56	7,28	5,60	10,22	2,92	3,40	1,96	6,31
MnO	0,12	0,08	0,60	0,43	0,15	0,08	0,09	0,09	0,17
MgO	II,25	9,95	8,70	7,00	8,28	8,19	5,24	1,00	21,24
CaO	16,02	15,75	13,04	13,02	13,67	16,10	14,77	13,00	8,05
Na ₂ O	0,55	0,58	1,00	2,00	0,80	1,60	1,70	3,80	0,24
K ₂ O	0,03	0,09	0,16	0,10	0,11	0,05	0,06	0,70	0,07
H ₂ O-	0,10	0,14	0,20	0,20	0,26	0,15	0,18	0,20	0,63
H ₂ O+	-	1,84	-	-	2,14	2,21	3,64 ^x	-	-
P ₂ O ₅	0,02	-	0,05	0,25	0,11	-	0,06	0,23	0,02
Cr ₂ O ₃	0,26	0,05	-	-	0,35	-	-	-	-
П.п.п.	0,75	0,04	0,3	1,35	-	0,63	-	2,20	6,22

Сумма 100,72 99,9 100,53 100,77 99,65 100,50 100,39 100,43 100,33

Числовые характеристики по А.Н.Заварицкому

a	I,I	I,6	I,I	4,6	I,9	3,8	4,5	10,7	0,5
c	7,7	14,5	8,4	9,7	4,5	10,8	17,3	15,1	4,0
b	44,9	29,5	39,4	28,8	47,8	29,0	17,7	7,6	52,9
s	46,3	54,4	51,1	56,9	45,8	56,4	60,5	66,6	42,6
f'	22,1	18,2	42,5	35,2	45,8	16,9	22,3	31,3	26,9
m'	38,5	61,2	38,0	41,8	29,1	49,9	57,6	26,0	63,4
c'	39,4	20,6	19,5	23,0	25,1	33,2	20,1	42,7	9,7
n	100	90,9	100,0	97,0	92,8	96,3	96,4	89,7	75,0
t	I,5	2,7	3,9	I,4	4,0	0,4	0,4	0,1	0,4
q	II,3	2,0	23,2	0,5	25,4	6,9	0,9	2,1	15,9
a/c	0,3	0,1	0,1	0,5	0,4	0,3	0,3	0,7	0,13
Q	-17,3	-8,9	-8,4	-5,1	-16,7	-5,6	-5,3	-3,3	-19,8

x/ CO₂

- магнетит-оливиновое габбро (обр. 252/б), 2. оливиновое габбро (обр. II94/e), 3. магнетитовый габронорит (обр. I26/a), 4. габронорит (обр. II9/a), 5. магнетитовое габбро (обр. I079), 6. габбро (обр. I5D), 7. лейкократовое габбро (обр. I347/e), 8. анортозит (обр. I52/б), 9. полевошпатовый перидотит (обр. I404/б).

Анализы произведены в хим. лаборатории ИГН: аналитики Гаспарян З., Чаталян С.

ствующих габбро и оливиновым габбро и впоследствии превращенных в родингиты.

Таким образом, эндоконтактовые зоны ультрабазитовых массивов сложены переходными породами от собственно перidotитов, через пироксениты до меланократовых габбро.

Полевые наблюдения, подтвержденные микроскопическими исследованиями пород, показывают, что разрыв полосчато-расслоенного комплекса гарцбургитов в основном проходил по переходной, верлит-клинопироксеновой зоне (с подчиненным участием алогаббровых родингитов), по которой разграничиваются два весьма различных по физико-механическим свойствам образования - относительно пластичные серпентинизированные перidotиты и более вязкие габроиды.

В отличие от центральных зон перidotитовых массивов, в габроидах полосчатость имеет настолько контрастный характер, что по соседству формировались весьма различные по минеральному составу породы - оливиновые габбро и анортозиты. Безусловно, это было обусловлено исходным составом магматического расплава существующего в данном участке камеры, способного расщепляться на существенно разные составляющие и приведшие к образованию контрастных минеральных ассоциаций.

Отмечая наличие разрыва между ультрабазитами и габроидами Зодского рудного поля, имеется в виду пример отчетливо расслоенного и единого Кясаманского габбро-перidotитового массива, внутри которого нами установлено закономерное чередование следующих зон: гарцбургиты - лерцолиты - полевошпатовые перidotиты - верлиты и пироксениты - расслоенное габбро - лейкократовое габбро.

То, что разрыв между ультрабазитами и базитами происходит именно по краевой полосчатой зоне перidotитов, подтверждается фактом пересечения первичной полосчатости габбро контактовой зоной под разными углами. Этим же доказывается относительно позднее перемещение перidotитовых масс в виде холодных внедрений типа "протрузий". Здесь необходимо упомянуть и факт отсутствия энд- и эзоконтактовых изменений пород как со стороны габроидов, так и ультрабазитов.

По зоне разрыва ультрабазитов и габроидов, как правило, сильно развиты интенсивно перемятые и рассланцованные серпентиниты, тектоническое происхождение которых находит свое подтверждение в результатах экспериментальных работ А.Т.Аслания и др. (1979),

доказывающих превращение перидотитов в серпентиниты при высоких давлениях. Необходимо отметить также, что от центральных частей массивов в сторону эндоконтактов заметно увеличивается степень серпентинизации оливина и в собственно клинопироксенитах и, в относительно меньшей мере, верлитах приконтактовых зон оливин практически нацело замещен серпентином.

Исходя из вышеизложенного, приходим к выводу, что в Севанском оphiолитовом поясе массивы габбро и перидотитов представляют различные горизонты единого расслоенного комплекса пород, внутри которого ультрабазиты слагают нижнюю часть. В настоящее время некоторые обособленные массивы габбро являются отдельными блоками этого единого комплекса, разобщенные крупными тектоническими зонами. В результате крупных перемещений из нижних горизонтов, относительно пластичные и в различной степени серпентинизированные перидотиты в холодном состоянии были внедрены в вышележащие габбро и даже осадочные толщи, перекрывающие последние.

Перемещение перидотитовых масс имело стадийно-поступательный характер, что подтверждается различной степенью участия обломков перидотитов и габброидов в составе терригенно-осадочных образований верхнемелового возраста. Четко установлено, что при почти повсеместном наличии обломков габбро в составе конгломератов верхнего конька ультрабазиты в них встречаются в весьма малом количестве и неповсеместно, а это свидетельствует о том, что к этому времени ограниченные массы перидотитов были перемещены в верхние горизонты коры.

В районе исследований пока не известны факты нормального налегания осадочных образований верхнего мела на ультрабазиты (зоны соприкосновения этих образований, как правило, имеют тектонический характер), а это является аргументом в пользу того, что в период коньк-сантонского осадконакопления те части расслоенного комплекса, которые были сложены перидотитами, еще не были вскрыты эрозией и, вероятнее всего, к этому времени они еще не были протрузивно приподняты на соответствующие уровни.

Обилие обломков основных пород в осадках верхнего мела и подчиненное развитие массивов габбро относительно ультрабазитов приводят к заключению, что значительная часть верхних горизонтов расслоенного комплекса была уничтожена эрозией. Можно полагать, что этим объясняется и отсутствие в расслоенном комплексе разнос-

тей пород, насыщенных кремнеземом (кв. габбро, диориты, гранофиры и др.), закономерно присутствующих в дифференцированных массивах типа Скергаард, Стиллуотер и т.д. (Уэйджер, Браун, 1970).

Выше было показано, что расслоенность габбро имеет выдержанную северо-западную ориентировку с падением на СВ, которая хорошо согласуется с общим направлением всего Севанского пояса офиолитов. Внутри последнего, по условиям залегания, сильно обособленными являются массивы ультрабазитов, которые под значительным углом четко пересекают как расслоенность габбро, так и общее направление пояса. Как известно, обрисованная картина во многом не находит убедительного толкования относительно причин ее происхождения.

Подобная геологическая обстановка, несомненно, обусловлена геодинамическими условиями развития региона и, на наш взгляд, имеет следующее объяснение. Сложно расслоенный габбро-перидотитовый комплекс формировался согласно с общим развитием офиолитового пояса, имеющего первозданное северо-западное направление. На последующем этапе тектонического развития региона, в связи с перемещением Аравийской платформы на северо-восток, внутри Севанского пояса и диагонально относительно него возникли широтные зоны растяжения, в которые под давлением произошли "диапировые" внедрения нижележащих масс относительно пластичных ультрабазитов.

ЛИТЕРАТУРА

1. Абовян С.Б. Геология и полезные ископаемые северо-восточного побережья озера Севан. Изд. АН АрмССР, Ереван, 1961.
2. Абовян С.Б. Мафит-ультрамафитовые интрузивные комплексы офиолитовых поясов Армянской ССР. Изд. АН АрмССР, Ереван, 1981.
3. Асланян А.Т., Арутюнян А.В. Исследование упругих свойств, плотности и сжимаемости серпентинитов офиолитовых поясов Армянской ССР при высоких давлениях. Изв. АН АрмССР, Науки о Земле, т. XXXI, №4, 1979.
4. Грін Д.Х., Рингвуд А.Э. Происхождение базальтовых магм. В кн.: Петрология верхней мантии. "Мир", Москва, 1968.
5. Гурulev C.A. Условия формирования основных расслоенных интрузий. "Наука", Москва, 1983.
6. Исмаил-Заде А.Д. Петрологические особенности габброидов офиолитового комплекса Малого Кавказа. Изв. АН Азерб. ССР, серия Науки о Земле, №1, 1982.

7. Казарян Г.А. К вопросу становления Севанского оphiолитово-го пояса. Изв. АН АрмССР. Науки о Земле, т. XXXII, № 4, 1979.
8. Камалетдинов М.А., Казанцева Т.Т. Аллохтонные оphiолиты Урала. "Наука", Москва, 1983.
9. Кашинцев Г.Л. Интрузивные породы. В кн.: "Геология океана. Осадкообразование и магматизм океана", "Наука", Москва, 1979.
10. Книппер А.Л. Океаническая кора в структуре альпийской складчатой области. "Наука", Москва, 1975.
11. Колман Р.Г. Оphiолиты. "Мир", Москва, 1972.
12. Марков М.С. Метаморфические комплексы и "базальтовый слой" земной коры островных дуг. "Наука", Москва, 1975.
13. Меликян Л.С. Оphiолиты юго-восточной части Севанского хребта: структура, условия становления. Изв. АН АрмССР, т. XXXII, № 4, 1979.
14. Мелсон У.Г. и Томпсон Г. Петрология пород зоны трансформного разлома и прилегающих сегментов океанического хребта, В кн.: "Петрология изверженных и метаморфических пород дна океана". "Мир", Москва, 1973.
15. Мурс Э.М. и Вайн Дж. Массив Троодос на Кипре и другие оphiолиты как древняя океаническая кора. В кн.: "Петрология изверженных и метаморфических пород дна океана". "Мир", Москва, 1973.
16. Паланджян С.А. Петрология гипербазитов и габброидов Севанского хребта. Изд. АН АрмССР, Ереван, 1971.
17. Пейве А.В. Океаническая кора геологического прошлого. "Геотектоника", № 4, 1969.
18. Поляков Г.В., Кривенко А.П., Орлов Д.М., Федосеев Г.С., Балыкин П.А. Дифференцированные габровые интрузии каледонид Восточного Саяна. "Наука", Москва, 1974.
19. Разницин Ю.М. Оphiолитовые аллохтоны и сопредельные глубоко-водные впадины на западе Тихого океана. "Наука", Москва, 1980.
20. Шарков Е.В. Петрология расслоенных интрузий. "Наука", Москва, 1980.
21. Уэйджер Л., Браун Г. Расслоенные изверженные породы. "Мир", Москва, 1970.

ОСОБЕННОСТИ СОСТАВА СОСУЩЕСТВУЮЩИХ ПИРОКСЕНОВ
ВЕРХНЕПЛИОЦЕН-ЧЕТВЕРТИЧНЫХ ВУЛКАНИТОВ АРАГАЦКОГО КОМПЛЕКСА

Пироксены являются главнейшими темноцветными породообразующими минералами Арагацского вулканического комплекса и представлены как моноклинной, так и ромбической разновидностями. Распределение их в различных типах и разновидностях пород далеко не одинаковое: оно колеблется в более или менее значительных пределах в зависимости от видового и химического составов других минеральных фаз и порядка их кристаллизации.

Вкрашенники пироксенов повсеместно представлены призматическими или изометричными кристаллами, обычно лишенными зональности. Величина зерен клинопироксенов в разных типах пород варьирует от 0,5 до 0,9 мм, а ортопироксенов — от 0,4 до 0,8 мм в среднем. В порфировых разностях лав основного состава содержание фенокристаллов клинопироксена не превышает 8,0%, ортопироксена — 2,5%; в андезитах их максимальное количество составляет 6,3 и 5,6%, соответственно. В кислых андезите-дацит-датитовых породах их количество в целом понижается, составляя до 2,5%. Однако иногда наблюдаются отклонения от приведенных цифр и пироксены в породах содержатся в иных количественных соотношениях. Пироксены в вулканитах изученного комплекса представлены двумя сосуществующими равновесными минеральными фазами — магнезиально-железистого и магнезиально-железисто-кальциевого составов. Отсадка их из расплавов повсюду начиналась на интэрметаллической стадии. Для кислых пород кристаллизация пироксенов в основном ограничивалась этой стадией, и в основной массе пироксены либо отсутствуют, либо содержатся в ничтожном количестве. В расплавах основных и, частично, промежуточных составов она продолжалась и в эфузивную стадию, что привело к обра-

зование значительного количества мельчайших зернышек пироксенов, участвующих в строении основной массы пород. Часто в некоторых разновидностях пород сериально-порфирового сложения выделяются также микрофенокристаллы промежуточной (второй) генерации, отвечающие размерности зерен 0,1–0,25 мм.

Оптические свойства

Ортопироксены. Наиболее важные оптические константы ортопироксенов Арагацкого комплекса сведены в табл. I. Угол оптических осей ортопироксенов колеблется от 64 до 72°, а показатели преломления варьируют в пределах $N_g = 1,699$ – $1,702$; $N_p = 1,686$ – $1,691$.

По оптическим параметрам изученные ортопироксены относятся к бронзит–гиперстенам с колебанием ферросилитового компонента в пределах 23–31%, что хорошо согласуется с данными химизма. На воспроизведенной из сводки У.А.Дира с соавторами /1/ диаграмме зависимости между оптическими свойствами и химическим составом ортопироксенов отчетливо иллюстрируется обратная связь между $2V_{N_p}$ и содержанием ферросилитового компонента в ряду изученных ортопироксенов (рис. I). На той же диаграмме видно, что значения углов оптических осей ортопироксенов Арагацкого комплекса в целом высокие, что можно объяснить, по Х.Хессу /2/, несколько повышенной концентрацией катионов Ca в их составе, а также высокими температурами их кристаллизации.

В кислых и промежуточных породах показатели преломления удовлетворительно соответствуют химическому составу ортопироксенов. Вместе с тем в основных (и частично среднекислых) породах комплекса они значительно более высокие, в целом оставаясь несколько ниже таковых в кислых породах. В итоге наблюдается очень слабая прямолинейная зависимость между N_g , N_p и составом изученных ортопироксенов, о чем свидетельствуют полого наклонные пунктирные линии на диаграмме (рис. I). Причиной такого рода несоответствия может быть вхождение различных количеств ионов Al в тетраэдрическую позицию, поскольку известно /3/, что при постоянной железистости вхождение чермакитового компонента (или вообще R^{+3}) в состав ортопироксенов эфузивных пород вызывает увеличение показателей преломления. С другой стороны,

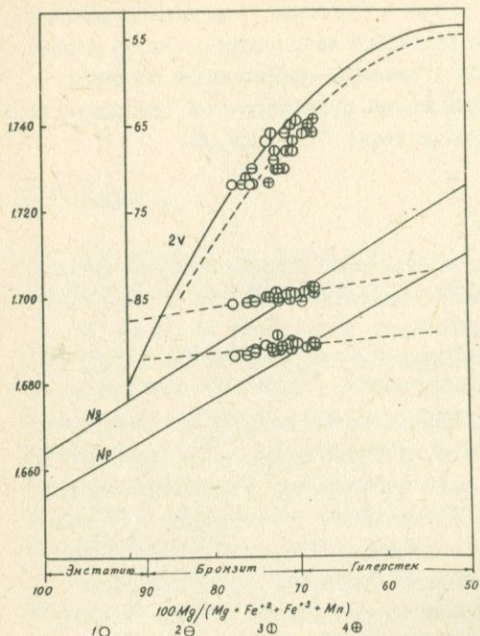


Рис. 1. Зависимость оптических свойств ортоироксенов Арагацкого комплекса от их составов.
 I-IV — ортоироксены андезито-базальтов, андезитов, андезито-дацитов и дацитов соответственно.

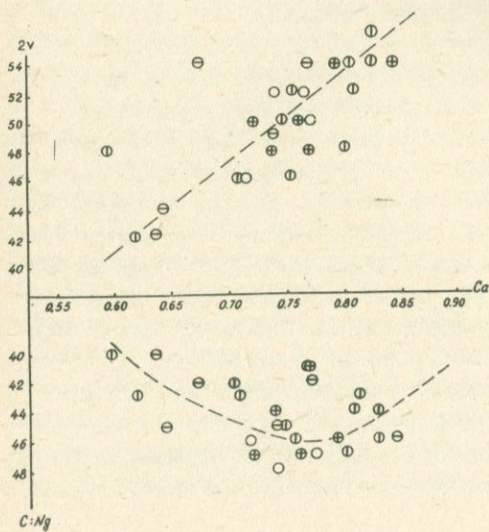


Рис. 2. Зависимость оптических констант клинопироксенов Арагацкого комплекса от их кальциевости. Условные знаки те же, что и на рис. 1.

многими исследователями /I,4,5,6/ твердо установлена положительная корреляционная связь между Ng , Nr и Fe^{+3} в ортопироксенах. Влияние Al на Ng и Nr последовательно уменьшается в ортопироксенах данного комплекса в направлении от основных пород к кислым по мере понижения содержания ионов Al^{IV} (табл. I,3). Данные табл. I,3 свидетельствуют о том, что в связи с возрастанием Fe^{+2} в составе ортопироксенов от андезитобазальтов к дацитам возрастают также показатели преломления. Итак, отмеченная выше слабая зависимость между показателями преломления и составом ортопироксенов в изученном ряду объясняется суммарным влиянием ионов Fe^{+2} (имеющих тенденцию к повышению) и Al^{IV} (обнаруживающих тенденцию к понижению) в ходе эволюции составов ортопироксенов.

Клинопироксены. Намного более сложна картина зависимости между оптическими свойствами и химическим составом клинопироксенов. Из данных табл. I видно, что вариации величин $2V$ и $C:\text{Ng}$ клинопироксенов из различных пород комплекса довольно значительны ($42\text{--}56^\circ$ и $40\text{--}48^\circ$ соответственно), тогда как Ng и Nr колеблются в относительно узких пределах (I,712-I,718 и I,686-I,691). Колебание оптических констант клинопироксенов различных типов пород отражено в табл. 2.

Как видно из приведенных данных, наименьшие вариации значений $2V$ обнаруживают клинопироксены крайних членов комплекса, а в клинопироксенах андезитов сравнительно устойчив $C:\text{Ng}$. Клинопироксены андезито-дацитов обнаруживают практически предельные вариации всех оптических величин, что согласуется с наибольшей вариацией их химического состава, иллюстрируемой на диаграмме (рис. 3). Из сопоставления вариаций $2V$ и химических составов клинопироксенов различных пород комплекса, отраженных на диаграмме (рис.3), устанавливается полное соответствие между ними. На основании этого можно заключить, что из всех оптических параметров угол оптических осей относительно четко отражает химический состав клинопироксенов и может служить в рамках данной вулканической серии показателем для предварительной оценки их химизма.

На диаграмме зависимости между оптическими свойствами и составом клинопироксенов по Х.Хессу /7/ и Дж.Мириу /8/, при-

Таблица I

Оптические константы широксенов
Арагацкого вулканического комплекса

№ обр.	Ромбические широксены			Моноклинные широксены			
	-2V	Ng'	Np'	+2V	cNg	Ng'	Np'
I	72	I,699	I,688	52	41	I,715	I,690
32	72	I,699	I,686	50	47	I,712	I,688
58	67	I,700	I,688	46	46	I,715	I,690
67	72	I,699	I,687	52	48	I,715	I,691
22	66	I,699	I,688	54	42	I,715	I,687
61	69	I,700	I,688	49	45	I,715	I,691
72	72	I,699	I,686	54	42	I,715	I,691
44	70	I,699	I,687	42	40	I,715	I,690
45	66	I,701	I,688	44	45	I,714	I,688
31	66	I,700	I,687	42	42	I,718	I,687
54	65	-	-	48	40	I,715	I,691
13	64	-	-	48	47	I,716	I,688
16	71	I,702	I,691	54	44	I,718	I,686
3	67	I,700	I,688	52	43	I,712	I,688
59	70	I,701	I,688	46	43	I,714	I,688
5	68	I,700	I,687	52	46	I,716	I,687
20	70	I,699	I,688	54	46	I,712	I,686
8	68	I,701	I,689	56	44	I,718	I,690
70	68	I,700	I,688	46	42	I,712	I,688
46	66	I,701	I,688	50	45	I,714	I,690
52	72	I,700	I,688	54	46	I,714	I,688
34	68	-	-	48	44	I,715	I,690
51	70	I,700	I,688	48	41	I,716	I,686
41	66	I,702	I,688	50	47	I,715	I,690
42	64	I,701	I,689	54	46	I,712	I,688
56	65	I,702	I,689	50	47	I,712	I,688

Примечание: обр. I - андезито-базальт (I этап), каньон р. Амберд, у с. Бюракан, нижняя пачка; 32 - андезито-базальт (II этап), каньон р. Амберд, у с. Антарут, верхняя пачка; 58 - андезито-базальт (III этап), каньон р. Манташ, верхнее течение, нижняя пачка; 67 - андезито-базальт (IV этап), правый борт ущелья р. Аниур, лава вулкана Тирин-Катар; 22 - андезит (II этап), каньон р. Амберд у с. Дзорап; 61 - андезит (II этап), каньон р. Манташ, верхнее течение; 72 - андезит (III этап), ущелье р. Аниур, у г. Кара-даг (средний горизонт); 44 - андезит (III этап), западная вершина г. Арагац, седьмой поток снизу со стороны кратера; 45 - андезит (III этап), западная вершина г. Арагац, шестой поток снизу со стороны кратера; 31 - туфоловая (I этап) каньон р. Амберд, у с. Бюракан, нижний горизонт; 54 - андезито-дацит (I этап), ущелье р. Манташ, верхнее течение; 3 - андезито-дацит (II этап), каньон р. Амберд, севернее с. Антарут; 16 - андезито-дацит (II этап), каньон р. Касах у с. Ашагах; 13 - андезито-дацит (II этап), западный склон массива г. Арагац; 59 - андезито-дацит (II этап), ущелье р. Манташ, верхнее течение (р. в водохранилища); 5 - туф (II этап), между с. с. Бюракан,

веденной в книге У.А.Дира и др. /1/, моноклинные пироксены Арагацкого комплекса по своим оптическим константам отвечают авгитам с колебанием главных компонентов Mg 39–48 Ca 37–48 Fe 12–18, что близко соответствует составам, полученным по химическим анализам. На рис. 2 иллюстрируется прямая зависимость оптических величин $2V$ и $C:Ng$ от кальциевости изученных клинопироксенов.

Таблица 2

Вариация оптических констант клинопироксенов разнотипных пород Арагацкого вулканического комплекса

Клинопироксены	$2V$	cNg	Ng'	Np'
Андезито-базальтов	46–52	41–48	1,712–1,715	1,688–1,691
Андезитов	42–54	40–45	1,714–1,715	1,687–1,691
Андезито-дацитов	42–56	40–48	1,712–1,718	1,686–1,690
Дацитов	48–54	41–47	1,712–1,716	1,686–1,690

Укажем, что положительная корреляционная связь между Ca и $2V$ в клинопироксенах из эфузивных пород установлена М.М.Весаловской /9/, Н.Л.Добрецовым и др./3/ и др. Аналогичная зависимость обнаруживается между ионами Ca и $C:Ng$ (рис. 4) до значения Ca 0,74 на 6 атомов кислорода. Дальнейшее увеличение ионов Ca в клинопироксенах сопровождается постепенным уменьшением значения $C:Ng$, в результате чего кривая зависимости $C:Ng$ от Ca приобретает субсимметричную параболическую форму.

Известно, что на оптические свойства клинопироксенов, кроме главных катионов, по-разному влияет также высокое содержание таких второстепенных элементов, как Al и Ti /1,3,10/. Последние, в зависимости от занимаемой в структуре кристаллической решетки позиции могут быть причиной некоторого несоответствия

Антарут; 8 – андезито-дацит (III этап), р-н с. Апаран; 70 – андезито-дацит (III этап), вершинный пояс вулкана Арагац, у оз. Караплич; 46 – андезито-дацит (III этап), западная вершина г. Арагац, третий поток снизу; 20 – туф (III этап), каньон р. Касах у с. Оганаван; 52 – дацит {II этап}, СВ склон г. Арагац (высота 2461 м); 51 – дацит (III этап), западный склон г. Арагац (верхушка); 41 – дацит (III этап) южная вершина г. Арагац (верхушка); 56 – туфолава (III этап), СЗ склон г. Арагац, у вулкана Арич; 34 – туфолава (III этап), ущелье р. Касах у церкви Астվацикад.

между оптическими величинами и химическим составом изученных клинопироксенов.

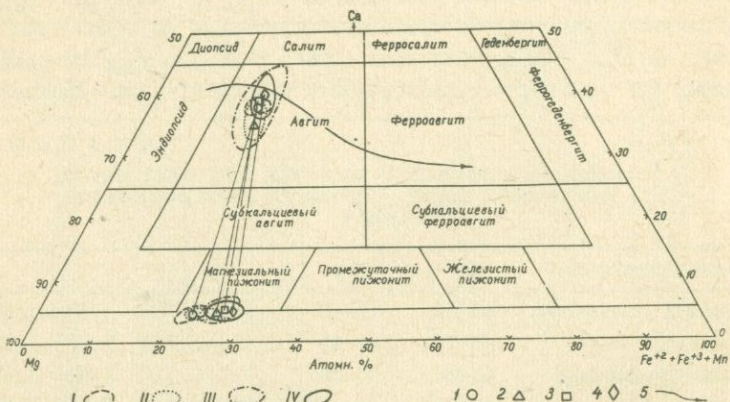


Рис. 3. Диаграмма Польдерваарта и Хесса, иллюстрирующая составы пироксенов Арагацкого комплекса. I, II, III, IV – поля фигурационных точек пироксенов андезито-базальтов, андезитов, андезито-дацитов и дацитов соответственно. 1, 2, 3, 4 – фигурационные точки средних составов пироксенов из различных пород соответственно. 5 – кривая кристаллизации пироксенов насыщенной базальтовой магмы по Польдерваарту и Хессу.

Особенности химизма

Для характеристики особенностей химизма проанализирована серия образцов (26 существующих пар) пироксенов из различных пород и стратиграфических горизонтов Арагацкого комплекса, результаты которых сведены в табл. 3, 4, где приведены также кристаллохимические формулы в пересчете на 6 атомов кислорода и атомные соотношения главных компонентов обеих пироксенофаз. Последние данные нанесены на четырехкомпонентную ($\text{CaMgSi}_2\text{O}_6$ – $\text{CaFeSi}_2\text{O}_6$ – $\text{Mg}_2\text{Si}_2\text{O}_6$ – $\text{Fe}_2\text{Si}_2\text{O}_6$) диаграмму А.Польдерваарта и Х.Хесса /II/, где они графически изображены в виде отдельных полей, представляющих ареалы составов пироксенов из различных типов пород, и фигурационные точки, отражающие их средние составы (рис. 3).

Ортопироксины. По номенклатуре А.Польдерваарта /12/, также принятой У.А.Диром и соавторами /1/, И.В.Гинзбург

/13/ и Н.Л.Добрецовым и др. /3/, ортопироксены Арагацкого комплекса соответствуют бронзиту и частично гиперстену в изоморфном ряду $MgSiO_3$ - $FeSiO_3$. Содержание главных компонентов ортопироксенов варьирует в пределах Mg - 64,4-75,1%, Fe - 21,6-30,4%, Ca - 3,1-6,1%. Ортопироксены кислых пород обычно относятся к гиперстену, а основных - без исключения к бронзиту.

Рои составов ромбических пироксенов различных типов пород на диаграмме (рис. 3) занимают примерно одинаковое положение ближе к энстатитовому углу и от основных к кислым разностям, час-

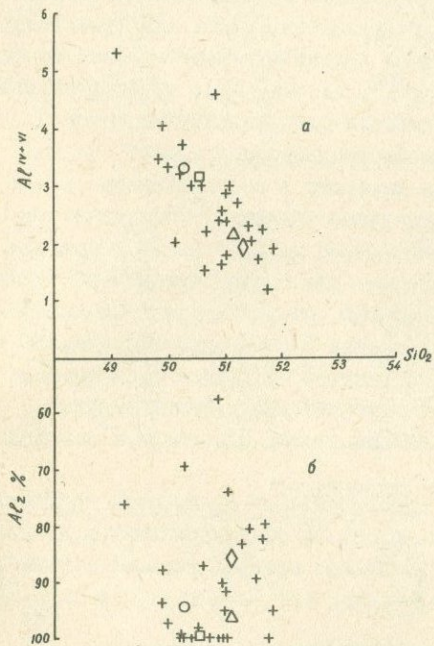


Рис. 4. Зависимость общей глиноземистости (поле а) и Al_2O_3 (поле б) от SiO_2 в клинопироксенах Арагацкого комплекса. Крестики на диаграмме представляют фигуративные точки клинопироксенов. Остальные условные знаки соответствуют таким же на рис. 3.

тично перекрывая друг друга, постепенно смещаются к ферросилиловому углу. Таким образом, устанавливается закономерное изменение составов ромбических пироксенов Арагацкого комплекса, заключающееся в постепенном обогащении ферросилиловым компонентом (в среднем на 5,4%), от андезито-базальтов к дацитам.

Содержание кальция в ортопироксенах колеблется от 1,60 до 3,43 вес. % и лишь в некоторых образцах переваливает верхний предел (2,6 вес.%), установленный И.В.Гинзбург /13/ для ромбических пироксенов. Однако, этот предел, судя по экспериментальным данным, полученным Д.Х.Грином и А.Э.Рингвудом /14/ для существующих пироксеноидных пар должен быть несколько повышен (2,8 вес.%).

Болластонитовый компонент в ходе эволюции ортопироксенов от основных к кислым породам в общем проявляет слабую тенденцию возрастания (в среднем на 0,5%), что происходит за счет убывания энстатитовой составляющей.

Как видно из химических анализов ортопироксенов (табл.3), в их составе, кроме главных компонентов, в том или ином количестве присутствуют также примеси других - второстепенных по значению элементов (Ti, Al, Fe⁺³, Mn, Na, K), незначительное содержание которых обычное явление для реальных составов этих минералов. Из указанных компонентов наиболее важное значение имеет глинозем, распределение которого в существующих парах закономерно и имеет петрологическое значение. Содержание Al₂O₃ в ортопироксенах варьирует от 0,68 до 2,56 вес.% в среднем составляя 1,53-1,73 вес.%. Среднее его содержание в ромбических пироксенах различных типов пород комплекса почти одинаковое и каких-либо четких закономерностей в распределении глинозема в них не устанавливается. В структуре ортопироксенов катионы Al в основном группируются в четверной координации (группе Z), лишь небольшая часть его атомов входит в шестерную координацию (группу Y).

Сопоставление химизма ортопироксенов Арагацкого комплекса с их оптическими данными, исходя из сформированных Н.Д. Добревым и др./3/ принципов позволяет предполагать следующий ряд изоморфных замещений: Fe → Mg; Al^{IV} → Si; Ca, Mn, Ti → Mg; Fe³⁺ → Al.

Клинопироксены. Из диаграммы рис. 3 видно, что изученные моноклинные пироксены по номенклатуре А.Полдерваарта и Х.Хесса /II/, располагаются в поле авгита, ближе к его верхнему левому углу, что указывает на тяготение составов изученных авгитов к эндиопсид-салитам. По систематике, предложенной

Таблица 3

Химический состав и кристаллические формулы ромбических пироксенов Арагацкого вулканического комплекса

Компоненты	I	32	58	67	22
SiO ₂	53,05	53,53	52,53	52,28	52,00
TiO ₂	0,49	0,41	0,22	0,47	0,38
Al ₂ O ₃	2,05	1,35	1,65	1,64	1,27
Fe ₂ O ₃	3,72	с.л.	2,88	2,18	2,08
FeO	II,52	13,53	13,25	13,10	16,70
MnO	0,28	0,44	0,45	0,32	0,31
MgO	26,20	27,39	25,37	26,32	23,70
CaO	2,21	1,69	2,52	2,52	2,22
Na ₂ O	0,16	0,22	0,30	0,25	0,28
K ₂ O	0,11	0,03	не обн.	не обн.	0,01
H ₂ O	-	не обн.	0,16	0,10	0,01
П.п.п.	0,72	0,95	0,79	0,86	1,23
Сумма	100,51	99,54	100,32	100,04	100,19

Количество ионов в пересчете на 6(0)

Z	Si	I,916	I,952	I,920	I,912	2,00
	Al	0,084	0,048	0,071	0,071	-
	Al	0,003	0,005	-	-	0,060
Y	Ti	0,013	0,011	0,006	0,013	0,010
	Fe ⁺³	0,101	-	0,079	0,060	0,060
	Mg	I,410	I,489	I,393	I,435	I,363
X	Fe ⁺²	0,348	0,413	0,405	0,401	0,539
	Mn	0,008	0,014	0,014	0,010	0,010
W	Ca	0,086	0,066	0,099	0,099	0,092
	Na	0,011	0,015	0,021	0,021	0,020

Соотношения атомов

Mg	72,2	75,I	70,0	71,5	66,0
ΣFe	23,4	21,6	25,0	23,5	29,5
Ca	4,4	3,3	5,0	5,0	4,5
100·Mg	75,5	77,7	73,7	75,3	69,I
Mg+ ΣFe					

Продолжение таблицы 3

Компоненты	6I	72	44	45	3I
SiO ₂	52,22	51,76	52,51	52,00	53,36
TiO ₂	0,51	0,48	0,38	0,46	0,30
Al ₂ O ₃	1,15	1,15	1,70	2,38	2,04
Fe ₂ O ₃	2,12	0,10	1,50	1,54	2,89
FeO	14,83	14,40	15,26	15,84	13,54
MnO	0,62	0,63	0,31	0,23	0,32
MgO	25,49	26,85	25,26	24,18	25,00
CaO	2,03	3,43	2,25	2,42	1,65
Na ₂ O	сл.	0,25	0,25	0,25	0,24
K ₂ O	0,03	не обн.	-	-	-
H ₂ O-	0,30	0,25	-	0,02	0,02
П.п.п.	0,88	0,72	0,75	0,88	0,92
Сумма	100,18	100,02	100,17	100,20	100,28

Количество ионов в пересчете на 6(0)

Z [Si	1,925	1,920	1,943	1,915	1,943
Al	0,050	0,050	0,057	0,085	0,057
Al	-	-	0,018	0,018	0,030
Y [Ti ⁺³	0,014	0,013	0,011	0,013	0,008
Fe ⁺³	0,058	0,003	0,042	0,043	0,074
X [Mg ⁺²	1,401	1,485	1,399	1,327	1,354
Fe ⁺²	0,457	0,447	0,412	0,488	0,411
Mn	0,019	0,020	0,010	0,007	0,010
W [Ca	0,080	0,092	0,089	0,096	0,064
Na	-	0,018	0,018	0,018	0,017

Соотношения атомов

Mg	69,5	72,5	71,7	67,7	70,6
Σ Fe	26,5	23,0	23,7	27,4	26,1
Ca	4,0	4,5	4,6	4,9	3,3
100 · Mg / Σ Fe	72,8	76,0	75,1	71,2	73,0

Компоненты	54	13	16	3	59
SiO ₂	50,62	52,02	51,52	50,64	52,08
TiO ₂	0,54	0,58	0,46	0,65	0,38
Al ₂ O ₃	I,59	I,71	2,33	0,88	I,70
Fe ₂ O ₃	II,29	5,72	5,10	I,09	I,47
FeO	8,03	I2,60	II,68	I6,99	I5,55
MnO	-	0,92	0,44	0,57	0,60
MgO	24,03	24,42	25,20	24,86	24,50
CaO	3,08	2,38	2,94	3,00	2,31
Na ₂ O	0,40	0,30	0,30	0,30	0,42
K ₂ O	0,15	0,15	0,15	с.л.	-
H ₂ O	0,64	-	0,20	0,23	0,03
П.п.п.	-	-	-	0,82	I,14
Сумма	I00,37	I00,80	I00,32	I00,03	I00,18

Количество ионов в пересчете на 6(0)

Z [Si]	I,854	I,892	I,876	I,895	I,925
Z [Al]	0,069	0,073	0,100	0,039	0,074
Y [Al]	-	-	-	-	-
Y [Ti ⁺³]	0,015	0,016	0,013	0,018	0,011
Y [Fe ⁺³]	0,311	0,156	0,140	0,031	0,041
X [Mg ⁺²]	I,311	I,324	I,368	I,387	I,350
X [Fe ⁺²]	0,246	0,383	0,356	0,532	0,480
X [Mn]	-	0,028	0,014	0,018	0,019
W [Ca]	0,121	0,093	0,115	0,120	0,091
W [Na]	0,028	0,021	0,021	0,022	0,030

Соотношения атомов

Mg	65,9	66,7	68,6	66,4	68,1
Σ Fe	28,0	28,6	25,6	27,8	27,3
Ca	6,1	4,7	5,8	5,8	4,6
$100 \cdot \frac{Mg}{Mg + \Sigma Fe}$	70,7	70,0	72,8	70,3	71,4

Продолжение таблицы 3

	5	20	8	70	46
SiO ₂	52,56	51,67	50,74	51,37	51,45
TiO ₂	0,52	0,87	0,52	0,42	0,45
Al ₂ O ₃	1,10	0,68	2,56	1,28	1,19
Fe ₂ O ₃	2,28	3,II	5,40	1,43	3,39
FeO	I4,II	I3,82	I3,30	I6,56	I4,98
MnO	0,85	0,83	-	0,80	0,60
MgO	25,06	25,50	24,08	25,00	23,52
CaO	2,06	2,10	3,42	1,60	3,08
Na ₂ O	0,40	0,40	0,45	0,40	0,25
K ₂ O	сл.	сл.	0,22	не обн.	-
H ₂ O-	0,17	0,26	-	0,08	-
П.п.п.	0,98	0,48	-	I,37	I,22
Сумма	I00,09	99,72	I00,69	I00,31	I00,13

Количество ионов в пересчете на 6(0)

Z [Si	I,936	I,910	I,868	I,905	I,916
Al	0,047	0,030	0,III	0,056	0,052
Y [Al	-	-	-	-	-
Ti	0,014	0,024	0,014	0,012	0,012
Fe ⁺³	0,063	0,087	0,150	0,041	0,095
X [Mg	I,376	I,405	I,322	I,398	I,305
Fe ⁺²	0,435	0,427	0,410	0,520	0,466
Mn	0,027	0,026	-	0,025	0,019
W [Ca	0,081	0,083	0,095	0,064	0,123
Na	0,029	0,029	0,032	0,029	0,017

Соотношение атомов

Mg	69,4	69,3	66,9	68,3	65,0
Fe	26,5	26,6	28,3	28,6	28,9
Ca	4,I	4,I	4,8	3,I	6,I
100·Mg	72,4	72,2	70,2	70,9	69,2
Mg+Fe					

Продолжение таблицы 3

	52	34	51	41	42
SiO ₂	53,04	52,30	53,16	52,15	52,12
TiO ₂	0,38	0,32	0,40	0,34	0,45
Al ₂ O ₃	2,21	2,04	1,70	0,72	1,70
Fe ₂ O ₃	1,01	0,96	1,66	1,35	0,96
FeO	14,69	17,57	14,40	17,32	17,56
MnO	0,23	0,58	0,60	0,84	0,60
MgO	24,50	23,04	24,08	23,57	22,83
CaO	2,42	2,32	2,86	1,92	2,36
Na ₂ O	0,40	0,20	0,30	0,04	0,34
K ₂ O	-	-	-	0,03	0,01
H ₂ O-	-	0,01	0,02	0,22	0,03
П. п. п.	1,20	0,84	1,12	1,37	1,15
Сумма	100,08	100,18	100,30	99,87	100,11

Количество ионов в пересчете на 6(0)

Z [Si	1,944	1,938	1,949	1,955	1,938
Al	0,056	0,062	0,051	0,032	0,062
Y [Al	0,040	0,027	0,023	-	0,013
Ti	0,010	0,009	0,011	0,010	0,013
Fe ⁺³	0,028	0,027	0,046	0,038	0,027
Mg ⁺²	1,338	1,272	1,316	1,317	1,265
Fe ⁺²	0,450	0,544	0,442	0,543	0,546
Mn	0,007	0,018	0,018	0,027	0,019
Ca	0,095	0,092	0,112	0,077	0,105
Na	0,028	0,014	0,021	0,003	0,025

Соотношение атомов

Mg	69,8	65,1	68,0	65,8	64,5
ΣFe	25,3	30,2	26,2	30,4	30,2
Ca	4,9	4,7	5,8	3,8	5,3
$100 \cdot Mg$	73,4	68,4	72,2	68,4	68,1
$Mg + \Sigma Fe$					

	56	АБ	А	АД	Д
SiO ₂	52,32	52,85	52,10	51,64	52,51
TiO ₂	0,56	0,40	0,44	0,52	0,41
Al ₂ O ₃	2,02	1,67	1,53	1,55	1,73
Fe ₂ O ₃	8,51	2,20	1,47	3,92	2,41
FeO	10,50	12,85	15,41	13,74	15,34
MnO	0,74	0,37	0,42	0,54	0,60
MgO	23,06	26,37	25,10	24,66	23,50
CaO	2,52	2,23	2,48	2,51	2,40
Na ₂ O	0,22	0,23	0,21	0,35	0,25
K ₂ O	0,18	0,03	0,01	0,06	0,04
H ₂ O	-	0,06	0,12	0,15	0,05
П.п.п.	-	0,83	0,89	0,63	0,95
Сумма	100,63	100,09	100,18	100,27	100,19

Количество ионов в пересчете на 6(0)

Z [Si	1,899	1,925	1,921	1,902	1,937
[Al	0,086	0,072	0,066	0,067	0,063
Y [Al	-	-	-	-	0,012
Ti ⁺³	0,015	0,011	0,012	0,014	0,011
Fe	0,232	0,060	0,041	0,108	0,06
X [Mg ⁺²	1,247	1,432	1,379	1,353	1,294
Fe ⁺²	0,319	0,391	0,475	0,423	0,473
Mn	0,023	0,011	0,013	0,017	0,019
W [Ca	0,098	0,087	0,098	0,099	0,095
Na	0,015	0,016	0,015	0,025	0,018

Соотношение атомов

Mg	65,0	72,3	68,7	67,7	66,4
ΣFe	29,9	23,3	26,4	27,4	28,7
Ca	5,1	4,4	4,9	4,9	4,9
100 - Mg	68,5	75,6	72,3	71,2	69,8
Mg + ΣFe					

Примечание: номера образцов те же, что и в таблице I. Анализы выполнены в лаборатории ИГН АН АрмССР аналитиками Л.А.Оганисян, З.Ш.Гаспарян, В.А.Бабаян и ИГФМ АН Укр.ССР – аналитиками Л.М.Гонедзинской и Г.А.Скрибник.

Таблица 4

Химический состав и кристаллические формулы
монооклинных пироксенов Арагацкого вулканического
комплекса

Компо-	I	32	58	67	22
SiO ₂	49,90	50,42	50,18	50,60	50,90
TiO ₂	0,66	0,11	0,58	0,89	0,62
Al ₂ O ₃	4,00	3,00	3,23	3,00	2,38
Fe ₂ O ₃	3,49	3,30	4,45	1,98	1,79
FeO	6,22	6,22	7,70	6,91	8,64
MnO	0,28	0,29	0,20	0,26	0,25
MgO	16,11	17,03	15,69	16,56	17,55
CaO	19,29	19,48	18,06	18,55	16,94
Na ₂ O	0,30	0,50	0,60	0,50	0,45
K ₂ O	-	0,04	0,15	не обн.	сл.
H ₂ O	-	-	-	0,06	0,01
П.п.п.	0,30	0,30	-	0,66	0,66
Сумма	100,62	100,69	100,84	99,97	100,19

Количество ионов в пересчете на 6(0)

Z [Si	I,845	I,865	I,860	I,885	I,888
Al	0,155	0,131	0,140	0,115	0,104
Y [Al	0,021	-	0,001	0,017	-
Ti ₊₃	0,018	0,003	0,016	0,025	0,020
X [Fe ₊₃	0,097	0,092	0,124	0,055	0,050
Mg ₊₂	0,888	0,939	0,866	0,919	0,992
Fe ₊₂	0,192	0,192	0,239	0,215	0,268
Mn	0,009	0,009	0,006	0,008	0,010
W [Ca	0,764	0,772	0,717	0,740	0,673
Na	0,021	0,036	0,043	0,036	0,034

Соотношение атомов

Mg	45,5	46,9	44,6	47,4	49,8
Σ Fe	15,3	14,6	18,5	14,4	16,4
Ca	39,2	38,5	36,9	38,2	33,8
f	0,25	0,24	0,29	0,23	0,25

Продолжение таблицы 4

	61	72	44	45	31
SiO ₂	50,68	50,97	51,45	51,70	51,00
TiO ₂	0,72	0,77	0,54	0,49	0,65
Al ₂ O ₃	2,21	1,64	2,32	2,26	2,89
Fe ₂ O ₃	3,11	1,66	2,98	2,37	2,52
FeO	6,91	7,20	7,48	8,04	7,49
MnO	0,41	0,43	0,38	0,38	0,20
MgO	16,05	16,54	17,11	17,20	18,50
CaO	18,43	19,12	15,96	16,20	15,67
Na ₂ O	0,57	0,50	0,60	0,60	0,70
K ₂ O	0,03	не обн.	0,01	0,01	0,01
H ₂ O-	0,26	0,09	0,05	0,04	0,01
П.п.п.	0,81	0,62	1,08	1,11	0,60
Сумма	100,19	99,54	99,96	100,40	100,24

Количество ионов в пересчете на 6(0)

z [Si	1,898	1,911	1,918	1,921	1,884
z [Al	0,098	0,073	0,082	0,079	0,116
y [Al	-	-	0,020	0,020	0,010
y [Ti +3	0,020	0,022	0,015	0,014	0,018
y [Fe +3	0,088	0,047	0,083	0,066	0,070
x [Mg +2	0,896	0,926	0,951	0,953	1,019
x [Fe +2	0,216	0,226	0,233	0,250	0,231
x [Mn	0,013	0,014	0,012	0,012	0,006
w [Ca	0,740	0,770	0,638	0,645	0,620
w [Na	0,041	0,037	0,043	0,043	0,050

Соотношение атомов

Mg	45,9	46,7	49,6	49,5	52,4
Σ Fe	16,2	14,5	17,1	17,0	15,8
Ca	37,9	38,8	33,3	33,5	31,8
f	0,26	0,27	0,26	0,26	0,23

	54	13	16	3	59
SiO ₂	50,86	50,00	49,20	50,24	51,82
TiO ₂	0,58	0,09	0,09	0,89	0,51
Al ₂ O ₃	4,62	3,34	5,29	2,02	1,90
Fe ₂ O ₃	3,43	4,45	2,09	3,06	2,82
FeO	7,00	6,21	6,90	7,49	6,76
MnO	0,32	0,43	0,36	0,38	0,40
MgO	16,40	15,20	15,65	14,30	16,90
CaO	15,04	20,10	20,32	19,98	17,80
Na ₂ O	0,70	0,60	0,60	0,60	0,58
K ₂ O	0,15	0,09	0,09	не обн.	0,06
H ₂ O-	-	-	0,10	0,21	не обн.
П.п.п.	0,08	0,15	0,20	0,71	0,74
Сумма	99,18	100,66	100,89	99,88	100,29

Количество ионов в пересчете на 6(0)

Z [Si]	1,884	1,858	1,824	1,899	1,921
Z [Al]	0,116	0,142	0,176	0,090	0,079
Y [Al]	0,086	0,004	0,055	-	0,004
Y [Ti]	0,016	0,002	0,002	0,025	0,014
X [Fe ⁺³]	0,100	0,124	0,058	0,087	0,080
X [Mg ⁺²]	0,905	0,842	0,859	0,805	0,934
X [Fe ⁺²]	0,217	0,193	0,214	0,237	0,210
X [Mn]	0,010	0,014	0,011	0,012	0,012
W [Ca]	0,597	0,801	0,807	0,809	0,707
W [Na]	0,050	0,043	0,043	0,044	0,042

Соотношение атомов

Mg	49,5	42,6	44,1	41,3	48,1
Σ Fe	17,9	16,8	14,5	17,2	15,5
Ca	32,6	40,6	41,4	41,5	36,4
f	0,27	0,28	0,25	0,29	0,24

Продолжение таблицы 4

	5	20	8	70	46
SiO ₂	51,08	49,85	50,26	50,68	50,96
TiO ₂	0,81	0,66	0,62	0,64	0,30
Al ₂ O ₃	3,02	3,47	3,70	1,52	2,55
Fe ₂ O ₃	1,78	3,08	3,20	1,45	3,48
FeO	6,04	6,59	6,20	6,62	6,91
MnO	0,43	0,28	0,38	0,60	0,20
MgO	16,21	15,06	13,45	18,26	15,80
CaO	18,89	20,72	20,58	18,78	18,70
Na ₂ O	0,70	0,32	0,70	0,50	0,71
K ₂ O	сл.	0,17	0,20	не обн.	-
H ₂ O-	0,21	-	0,56	0,10	-
П.п.п.	0,54	0,20	0,12	0,51	0,29
Сумма	99,71	100,47	99,97	99,66	99,90

Количество ионов в пересчете на 6(0)

Z [Si	1,902	1,858	1,886	1,894	1,899
Al	0,098	0,142	0,114	0,067	0,101
Al	0,034	0,010	0,050	-	0,011
Y [Ti ⁺³	0,023	0,018	0,018	0,018	0,008
Fe	0,050	0,086	0,090	0,041	0,098
X [Mg ⁺²	0,899	0,836	0,752	1,017	0,877
Fe	0,188	0,205	0,195	0,207	0,215
Mn	0,011	0,009	0,012	0,019	0,006
W [Ca	0,754	0,827	0,827	0,752	0,747
Na	0,051	0,023	0,051	0,036	0,051

Количество ионов в пересчете на 6(0)

Mg	47,3	42,6	40,1	50,0	45,1
Σ Fe	13,1	15,3	15,8	13,1	16,4
Ca	39,6	42,1	44,1	36,9	38,5
f	0,22	0,26	0,28	0,21	0,27

Продолжение таблицы 4

	52	34	51	41	42
SiO ₂	51,04	51,26	51,52	51,75	51,60
TiO ₂	0,69	0,59	0,55	0,40	0,52
Al ₂ O ₃	1,77	2,72	2,04	1,21	1,70
Fe ₂ O ₃	2,44	3,01	2,74	3,01	2,27
FeO	6,48	6,34	6,39	7,63	7,20
MnO	0,45	0,34	0,82	0,38	0,46
MgO	14,77	16,26	15,45	16,33	14,85
CaO	20,92	18,59	19,20	18,00	19,66
Na ₂ O	0,58	0,70	0,81	0,60	0,60
K ₂ O	0,06	-	0,06	0,01	0,18
H ₂ O-	не обн.	0,01	не обн.	0,03	0,36
П.п.п.	0,65	0,49	0,69	1,00	0,96
Сумма	100,16	100,31	100,21	100,35	100,36

Количество ионов в пересчете на 6(0)

Z [Si	1,917	1,898	1,920	1,933	1,938
Z [Al	0,079	0,102	0,080	0,053	0,062
Y [Al	-	0,017	0,009	-	0,013
Y [Ti ⁺³	0,019	0,016	0,015	0,011	0,015
X [Fe ⁺³	0,068	0,084	0,077	0,085	0,064
X [Mg ⁺²	0,826	0,897	0,858	0,909	0,831
X [Fe ⁺²	0,204	0,196	0,199	0,238	0,226
X [Mn	0,014	0,011	0,026	0,012	0,014
W [Ca	0,842	0,738	0,767	0,720	0,791
W [Na	0,042	0,050	0,059	0,043	0,044

Соотношение атомов

Mg	42,2	46,6	44,5	46,3	43,1
Σ Fe	14,7	15,1	15,7	17,0	15,8
Ca	43,1	38,3	39,8	36,7	41,1
f	0,26	0,25	0,26	0,27	0,27

Продолжение таблицы 4

	56	АБ	А	АД	Д
SiO ₂	51,00	50,28	51,14	50,54	51,31
TiO ₂	0,54	0,56	0,63	0,53	0,55
Al ₂ O ₃	2,40	3,32	2,16	3,12	1,97
Fe ₂ O ₃	3,63	3,30	2,38	2,85	2,85
FeO	6,57	6,76	7,65	6,75	6,77
MnO	0,46	0,26	0,37	0,36	0,48
MgO	15,40	16,35	16,89	15,98	15,51
CaO	19,00	18,85	17,33	18,78	19,23
Na ₂ O	0,70	0,48	0,54	0,61	0,66
K ₂ O	0,11	0,05	0,01	0,07	0,07
H ₂ O	0,72	0,01	0,09	0,11	0,19
П.П.П.	0,16	0,32	0,86	0,38	0,66
Сумма	100,69	100,54	100,05	100,08	100,25

Количество ионов в пересчете на 6(0)

Z [Si	1,900	1,863	1,909	1,882	1,914
Al	0,100	0,137	0,091	0,118	0,086
Y [Al	0,005	0,008	0,004	0,019	0,001
Ti ⁺³	0,015	0,016	0,018	0,015	0,015
Fe ⁺²	0,102	0,092	0,067	0,080	0,080
X [Mg ⁺²	0,855	0,903	0,940	0,897	0,862
Fe	0,205	0,209	0,239	0,210	0,211
Mn	0,015	0,008	0,012	0,011	0,015
W [Ca	0,759	0,748	0,693	0,750	0,780
Na	0,051	0,034	0,039	0,044	0,047

Соотношение атомов

Mg	44,2	46,1	48,2	45,8	44,3
ΣFe	16,6	15,7	16,3	15,5	15,7
Ca	39,2	38,2	35,5	38,7	40,0
f	0,27	0,25	0,25	0,25	0,26

Примечание: номера образцов те же, что и в табл. I. Анализы выполнены в лаборатории ИГН АН АрмССР аналитиками Л.А.Оганисян, З.Ш.Гаспарян, В.А.Бабаян и ИГЧМ АН Укр.ССР - аналитиками - Л.М.Гонедзинской и Г.А.Скрибник.

И.В.Гинзбург /13/, изученные клинопироксены относятся к собственно авгитам, а по Н.Л.Добрецову и др./3/ - к субкальциевым авгитам, с содержанием главных компонентов в пределах

$Mg_{40,1-52,5}$ $Ca_{31,8-44,1}$ $Fe_{13,1-18,5}$. Существенных различий в составе клинопироксенов в однотипных породах разных этапов не наблюдается. Вариации их составов определяются кремне-кислотностью и магнезиальностью вмещающих пород. Клинопироксены основных пород комплекса отличаются сравнительно меньшими вариациями состава главных компонентов, что графически хорошо отражается на диаграмме. Относительно больший контраст составов проявляют авгиты андезитов, андезито-дацитов и дацитов, поля роев которых на диаграмме значительно удалены одно от другого. В то же время на небольшом участке, соответствующем полям авгитов основных пород, они несколько перекрывают друг друга. Авгиты андезито-дацитов характеризуются относительно большей вариацией содержания главных компонентов, однако средний их состав мало отличается от такового крайних членов вулканического комплекса. В среднем наибольшей магнезиальностью отличаются авгиты андезитов. Точка, изображающая средний состав клинопироксенов этих пород на диаграмме занимает несколько обособленное положение, тяготея, в общем, к магнезиальному ее углу. Из диаграммы явствует также, что авгитовый тренд в изученном комплексе в целом вытянут субпараллельно магнезиально-кальциевой стороне трапеции, что может указывать на более широкое изоморфное замещение катионов магния и извести при относительно постоянном содержании ферросилиловой молекулы. На рис. 4а, отражающей зависимость Al_2O_3 от SiO_2 в клинопироксенах изученного комплекса четко видна обратная пропорциональность между содержаниями этих двух элементов.

Как известно, Al в кристаллической решетке пироксенов обычно играет двоякую роль. Количество ионов Al в структуре изученных авгитов находится в соответствии с количеством ионов Si, что отражается на рис. 4б. Рассмотрение диаграммы показывает, что основная часть ионов Al (подобно Al^{IV} в ортопироксенах) имеет тетраэдрическую координацию, и что она находится в обратной зависимости от ионов Si. Лишь незначительная часть Al входит в октаэдрическую позицию вместе с другими ионами R^{+3} .

По результатам статистических исследований /3,15,16/ выясняется, что пропорция ионов Al в четверной координации кристаллической решетки клинопироксенов имеет петрогенетическое значение и может стать индикатором степени насыщенности SiO_2 исходной базальтовой магмы. Н.Л.Добрецов и др. /3/ считают, что в ассоциациях недосыщенных SiO_2 ортопироксены и клинопироксены богаче Al, т.к. чермакит ($\text{CaAl}_2\text{SiO}_6$) можно рассматривать как недосыщенный аналог анортита.

На диаграмме (рис. 5), построенной по данным М.Ле Баса /15/ и Я.Куширо /17/, частично Н.Л.Добрецова и др. /3/ и отражающей вариацию содержания Si и Al в клинопироксенах из различных формационных типов пород, нанесены точки составов изученных клинопироксенов. Из диаграммы видно, что фигуративные точки клинопироксенов Арагацкого комплекса, располагаясь в пределах поля клинопироксенов "орогенных андезитовых формаций", выделенных Н.Л.Добрецовым и др., ложатся в основном на "линии насыщенности" тетраэдрической позиции, или близко подходят к ней. Лишь некоторые точки, соответствующие клинопироксенам кислых пород, заметно смещены в обе стороны от указанной линии, проявляя обратные соотношения ионов Si и Al. Однако, как явствует из диаграммы рис.5, точки средних составов клинопироксенов различных пород указанного комплекса ложатся на вышеуказанную линию, что означает насыщенность тетраэдрической позиции ионами Si и Al.

Некоторые детали химизма изученных авгитов иллюстрируют диаграмма (рис. 6), отражающая зависимость между железистостью и кальциевостью клинопироксенов с одной стороны и железистостью и содержанием Al^{IV} (Ca - Al чермакита) с другой, построенная по принципу Добрецова и др./3/. На этой диаграмме ясно, что вариации коэффициента железистости (f) очень невелики, тогда как вариации Ca - Al чермакита и волластонита обнаруживают значительный диапазон, причем относительно больший контраст по содержанию волластонитового компонента обнаруживают авгиты андезитов и андезито-дацитов. Авгиты андезито-базальтов и андезито-дацитов содержат почти одинаковое количество волластонитового компонента и близки по содержанию Ca-Al чермакита. Авгиты андезитов и дацитов резко отличаются по содержанию Ca, причем в первых наименьшее, во-вторых, наоборот, наибольшее. Вместе с

Рис. 5. Соотношение атомов Si и

$\text{Al}^{\text{IV+VI}}$

в клиношироксенах Арагацкого комплекса.

Поля клиношироксенов: 1 - щелочных пород без фельдшпатоидов (по Куширо и Ле Басу), 2 - континентальной оливин-базальтовой формации, 3 - океанической оливин-базальтовой формации, 4 - орогенных андезитовых формаций (2-4 по Добрепцову и др.). Усл. знаки те же, что и на рис. 1 и 3.

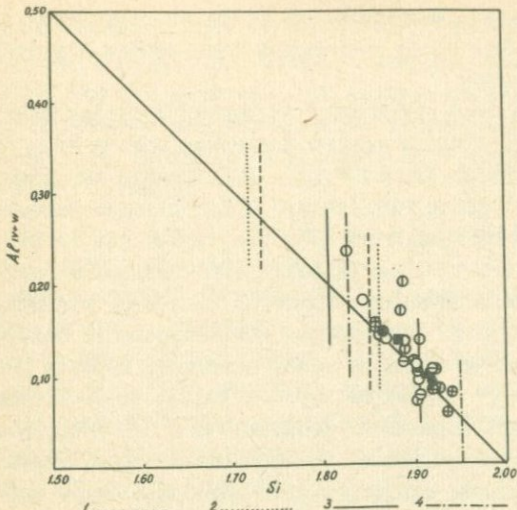
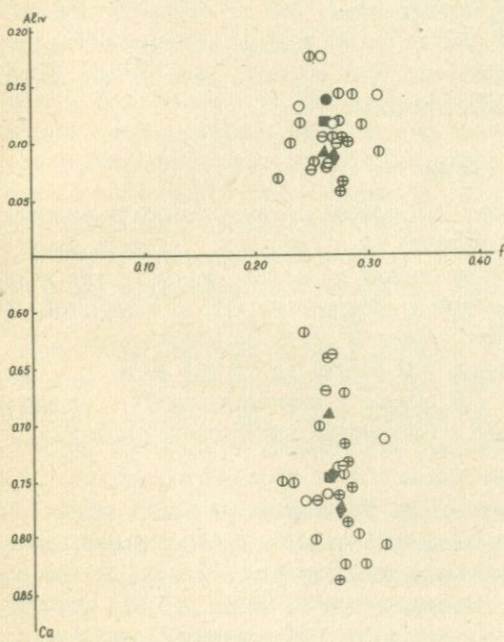


Рис. 6. Зависимость между содержаниями Ca-Al чермакита, волластонита и железистостью в клиношироксенах Арагацкого комплекса. Усл. знаки соответствуют таковым на рис. 5.



тем по содержанию Ca-Al чермакита они почти не отличаются и в целом содержат меньше этого компонента, чем альбиты основных пород и андезито-дацитов.

Для изучения характера изоморфных замещений в моноклинных пироксенах Арагацкого вулканического комплекса использован статистический метод главных компонентов / 17/. Расчеты выполнены по программе ВСЕГЕИ "факторный анализ" в лаборатории математических методов ИГН АН Армянской ССР. Полученные результаты показывают, что ведущим трендом (I фактор) изменчивости клинопироксенов изученного комплекса является альбитовое замещение $Mg_7Si_7Fe^{+2}_6 \longleftrightarrow Ca_8Al_7Fe^{+3}_5$ отвечающее гетеровалентным замещениям в тетраэдрической и октаэдрической позициях. Формула второго фактора имеет вид $Fe_5^{+3}Al_4Na_3Mg \longleftrightarrow Ti_7Ca_6$. Этот тренд отвечает сопутствующим замещениям шестерной позиции и крупном полигоне (восьмерная координация). Установленный тренд свойственен высокомагнезиальным маложелезистым клинопироксенам натриево-калиевых ассоциаций вулканитов. Для изученной серии характерна обратная корреляция между Ca-Al чермакитам и Fe^{+2} , т.е. за счет возрастания Fe^{+2} происходит объединение клинопироксенов Ca-Al чермакитом, что особенно заметно при переходе от основных пород к среднекислым.

Рентгенометрические данные.

Для изучения структурных особенностей пироксенов Арагацкого комплекса и сопоставления их с химизмом проведены рентгенометрические исследования восьми образцов (по четыре из каждой фазы) в рентгеноструктурной лаборатории ИГН АН Армянской ССР аналитиком Э.Х.Хуршудян. Образцы сняты на дифрактометре УРС-50 ИМ на железном излучении при режиме на трубке 25 кв , 10 ма. Рентгенограммы сняты при скорости сканирования 2° в минуту, а для расчета параметров и содержания энстатитовой молекулы - 1° в минуту.

Ортопироксены. Рентгенометрические данные ромбических пироксенов приведены в табл.5. Ортопироксены, диагностированные по методу, предложенному П.С.Звааном /18/ по разнице межплоскостных отношений (Δd) линий (10.31) и (060) относятся к бронзиту (а обр. № 70 - к энстатиту) с колебанием

энстатитового компонента от 72 до 81 %. Аномально высокое содержание энстатитовой молекулы получено только для обр. № 70. Несезинтесно отметить, что содержание энстатитовой молекулы, полученной по рентгеновским параметрам, везде несколько завышено по сравнению с таковой, полученной по результатам химических анализов.

Клинопироксены. Для диагностирования использованы интенсивные рефлексы (221), (310), (311), (131), изолированный и сильный рефлекс (531), а также сильная пара рефлексов (260) и (531). Параметры " \bar{v} " и $a \cdot \sin\beta$ по линиям (510) и (150) и по линии (060) рассчитаны по номограмме, предложенной Е.П.Соколовой и др./19/. Поправка введена по NaCl .

По классификации, предложенной П.С.Звааном /18/ все клинопироксены входят в группу B_1 и относятся к авгитам и эндиопсидам (обр. № 1). Величины параметров " \bar{v} " и $a \cdot \sin\beta$, приведенные в табл. 5 обнаруживают значительные вариации. В той же таблице приведены составы широксенов, рассчитанные с помощью диаграмм, построенных К.М.Брауном /20/ и К.Висванатаном /21/ по величине параметров " \bar{v} " и $a \cdot \sin\beta$, а также моль % главных компонентов, рассчитанных по результатам химических анализов. Сравнение данных таблицы указывает на значительное расхождение по содержанию энстатитового и ферросилитового компонентов, тогда как по волластонитовому компоненту получаются в основном удовлетворительные результаты. Укажем, что вышеупомянутыми авторами при составлении диаграммы не были учтены более высокие (выше 2-3%) содержания второстепенных компонентов - окислов

Fe^{+3} , Al, Ti, Na и др., первые два из которых содержатся в изученных нами образцах клинопироксенов в несколько повышенном количестве и могли стать причиной указанных расхождений. В работах У.А.Дира и др. /1/ и Н.Вижинда /22/ указывается на то, что из примесей второстепенных элементов наибольшее влияние на величину параметров " \bar{v} " и $a \cdot \sin\beta$ имеет алюминий ($Al^{IV} + Al^{VI}$). Это подтверждается и на примере проведенного нами изучения клинопироксенов, о чем свидетельствует построенная нами диаграмма (рис. 7), иллюстрирующая обратную зависимость между параметром " \bar{v} " и общей глиноземистостью.

Постоянное увеличение параметра " \bar{v} " в связи с уменьшением содержания глинозема в клинопироксенах от основных к кислым

Таблица 5

Рентгенометрические данные и состав пироксенов различных пород Арагацкого вулканического комплекса

Обр.	Моноклинные пироксены						Ромбические пироксены					
	Параметры	Состав по рент. данным			Состав по хим. анализам			Параметры	Сост. по рент. данным			Сост. по хим. анализам
	b	asinβ	En	Wo	Fs	En	Wo	Fs	Δd (Å)	En	En	
I	8,904	9,354	51	44	5	45,5	39,2	15,3	0,012	81		75,5
45	8,914	9,317	52	35	I3	49,5	33,5	17,0	0,014	72-75	71,2	
58	8,910	9,322	52	38	I0	44,6	36,9	18,5	0,014	74-75	73,7	
70	8,924	9,365	44	43	I3	50,0	46,9	I3,1	0,015	95		70,9

Примечание: номера образцов соответствуют таковым на рис. 7

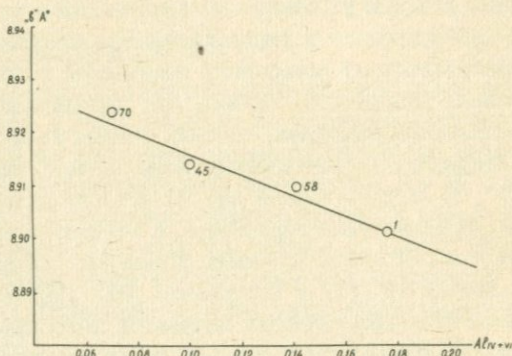


Рис. 7. Зависимость параметра "b" от общей глиноземистости в клинопироксенах Арагацкого комплекса. Номера кружков соответствуют таковым в табл. I.

породам подтверждает гетеровалентное изоморфное замещение типа
 $\text{Si}^{+4} \text{Mg}^{+2} \longrightarrow \text{IV Al}^{+3} \text{VI Al}^{+3}$. На диаграммах рис. 8 улавливается прямолинейная зависимость между параметром $a \cdot \sin\beta$ (а) и "в" (б) и ферросилитовым компонентом в изученных клинопироксенах. Более крутой наклон линии вариации $a \cdot \sin\beta$ по сравнению с "в" определяется более сильным влиянием замещения $\text{Mg} \longleftrightarrow \text{Ca}$, чем $\text{Mg} \longleftrightarrow \text{Fe}^{+2}$.

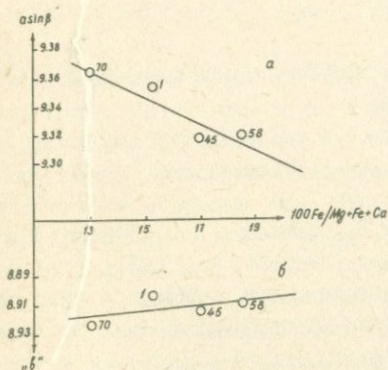


Рис. 8. Зависимость параметров $a \cdot \sin\beta$ и "в" от железистости в клинопироксенах Арагацкого комплекса. Номера кружков те же, что и в табл. I.

Завершая рассмотрение оптических свойств, химизма и рентгенометрических данных для пироксенов Арагацкого комплекса, подчеркнем следующие закономерности:

1. Как для ортопироксенов, так и клинопироксенов характерны устойчивость состава, вариации в сравнительно узких пределах и принадлежность к магнезиальным членам соответствующих изоморфных рядов. В возрастной последовательности заметной изменчивости их составов не наблюдается. Установливаемые различия связаны с переходом от андезито-базальтов к андезитам и далее к кислым разностям.

2. Вариации в ряду ортопироксенов в указанном направлении состоят в закономерном возрастании ферросилитового компонента (от 22,3 до 31,9%) и в переходе от бронзита к магнезиальному гиперстену.

3. Изученные клинопироксены по химизму близки, имеют авгитовый состав, несколько смещенный к полу эндиопсида. Вариации их составов в том же направлении от основных пород к кислым,

во-первых, приобретают большой размах и, во-вторых, связаны с изменчивостью содержания Ca-Al чермакитового и волластонитового компонентов при почти постоянной железистости.

4. Ведущий тренд клинопироксенов изученного комплекса авгитовый (Si, Mg , Fe⁺² ↔ Al, Ca , Fe⁺³), свойственный высокомагнезиальным, маложелезистым клинопироксенам натриево-калиевых ассоциаций вулканов.

ЛИТЕРАТУРА

1. Дир У.А., Хаус Р.А., Зусман Дж. - Породообразующие минералы, т.2, Изд. "Мир", М., 1965.
2. Hess H.H. - Orthopyroxenes of the Bushveld type, ion substitutions and changes in unit cell dimensions. Amer.J.Sci., 250, P.I, 1952.
3. Добрецов Н.Л., Кочкин Ю.Н., Кривенко А.П., Кутолин В.А. Породообразующие пироксены. Изд. "Наука", М., 1971.
4. Добрецов Н.Л. О взаимосвязи между главными ионами ромбических пироксенов и их влиянии на оптические свойства минерала. Зап. ВМО, сер. II, ч. 88, вып. 6, Изд. АН СССР, М.-Л., 1959.
5. Henriques A. - The influence of cations on the optical properties of orthopyroxenes. Arkiv Min., Geol., 2, 1958.
6. Hori F. - Effects of constituent cations on the refractive indices of orthopyroxenes. Jap. Mineral. j., 1, 1956.
7. Hess H.H. - Chemical composition and optical properties of common clinopyroxenes. Amer. Mineral., 34, N 9-10, 1949.
8. Muir I.D. - The clinopyroxenes of the Skaergaard intrusion, eastern Greenland. Min. Mag., 29, N 214, 1951.
9. Веселовская М.М. Химико-минералогические исследования в области пироксенов диопсид-авгитового ряда. Тр.ИГН АН СССР, петрографическая серия, вып.86, 1950.
10. Hori F. - Effects of constituent cations on the optical properties of clinopyroxenes. Univ. Coll. Cen. Educ., Sci., Papers, 4, Tokyo, 1954.
- II. Poldervaart A., Hess H.H. - Pyroxenes in the crystallization of basaltic magma. Journ. Geol., 59, N 5, 1951.

- I2. Poldervaart A. - The relationship of orthopyroxenes to pigeonites. Min. Mag., 28, 1947.
- I3. Гинзбург И.В. Обзор систематики пироксенов. В сб.: "Минералы базитов в связи с вопросами петрогенезиса". Изд. "Наука", М., 1970.
- I4. Грин Д.Х., Рингвуд А.Э. и др. Петрология верхней мантии. Изд. "Мир", М., 1968.
- I5. Le Bas M.I. - The role of aluminium in igneous clinopyroxenes with relation to their parentage. Amer.Journ.Sci., v.260, N 4, 1962.
- I6. Kushiro I. - Si-Al relation in clinopyroxenes from igneous rocks. Amer.Journ.Sci., v.258, N 8, 1960.
- I7. Дуденко Л.Н., Центер И.Я., Румянцева Н.А., Марковский Б.А., Порошин Е.Е. Типы трендов и изоморфных замещений в авгитах вулканических ассоциаций. Зап. ВМО, ч. СУІ, вып.4, 1977.
- I8. Zwaan P.C. - On the determination of pyroxene by X-ray powder diagrams. Leidse Geologische Mededelingen. v.19, 1955.
- I9. Соколова Е.П., Шнай Г.Х., Орлова М.П. Типоморфные особенности клинопироксенов пород щелочно-габброидной формации (на примере Алданского комплекса). В сб.: "Минералы и парагенезисы минералов горных пород и руд". Изд. "Наука", Л., 1979.
- I20. Brown G.M. - The effect of iron substitution on the unit cell dimensions of the common clinopyroxenes. Amer.Min., 45, 1960
- I21. Viswanathan K. - Unit cell dimensions and ionic substitutions in clinopyroxenes. Amer.Min., 51, N 3-4, 1966.
- I22. Witkind I.I. - Clinopyroxenes from acidic, intermediate, and basic rocks, Little Belt Mountains, Montana. Amer.Min., v.54, N 7-8, 1969.

Б.М.Меликsetян, З.О. Чибухчян

ТИПОМОРФИЗМ МУСКОВИТОВ КАК КРИТЕРИЙ РТ-УСЛОВИЙ МЕТАМОРФИЗМА И ГРАНИТООБРАЗОВАНИЯ

Мусковит был рассмотрен нами для оценки РТ-условий метаморфизма и гранитообразования в силу его распространенности почти во всех разностях кислых пород Апаран-Анкаванского выступа Цахку-няцкого кристаллического массива. Наибольшие его количества встречаются в слюдистых сланцах и гнейсах, а из магматических пород в мусковитовых плагиогранитах. Менее распространен он в сланцах из Северной Армении.

Химические составы и кристаллохимические формулы исследованных мусковитов приведены в табл. I. Имеющая место значительная нехватка катионов в группе "X", которая должна быть близка к единице в кристаллохимической формуле, с одной стороны, и избыток гидроксильной группы - с другой, свидетельствуют об их принадлежности к гидромусковиту (вероятно, в позиции "X" калий замещается оксонием H_3O^+). Другой особенностью мусковитов является повышенное содержание кремния в тетраэдрической позиции, сопровождаемое замещением октаэдрического алюминия магнием и железом, т.е. замещениями, характерными для фенгита.

Из табл. I видно, что количество парагонитовой составляющей, находящейся в мусковитах из пород Апаран-Анкаванского массива, распределяется по типам пород в следующих пределах (в % отношении): гнейсы - 11,4-12,3, лейкократовые граниты - 12,1, мусковитовые плагиограниты - 17,9-19,2, сланцы - 21,0-29,5; повышенные содержания парагонитовой составляющей отмечаются и в мусковитах из различных сланцев Северной Армении - 20,7-49,0. Из приведенных данных выявляется четкая количественная сопряженность содержаний парагонита в парах "гнейс-лейкократовый гранит" и "слюдистый сланец - плагиогранит".

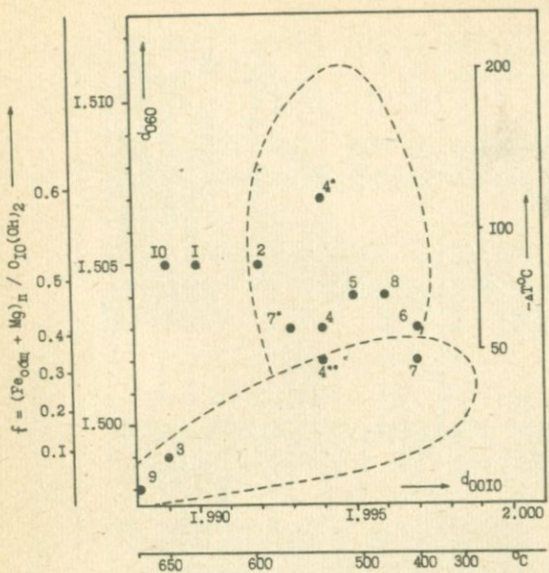


Рис.1. Зависимость железистости мусковитов от содержания в них натрия, калия и температуры образования по данным измерения d_{060} и d_{0010} (по Н.В.Котову и др., 1969)

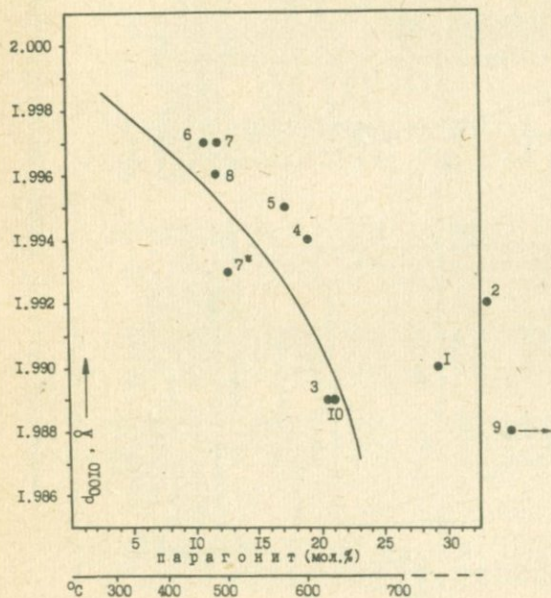


Рис. 2. Зависимость d_{0010} маложелезистых мусковитов от содержания в них парагонитовой составляющей и T° (по Иодеру, 1965)

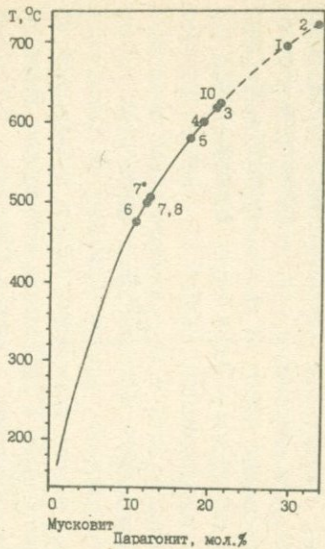
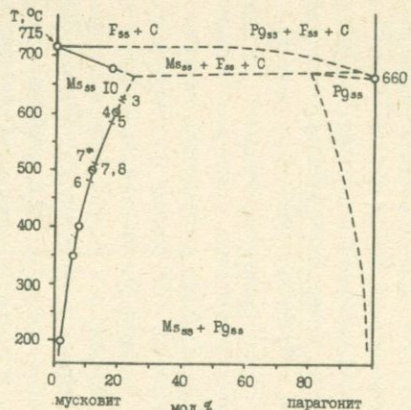


Рис. 3. Содержание парагонитовой составляющей в мусковитах из метаморфических пород различной ступени метаморфизма (Ламберт, 1959).



С - корунд, F - полевой шпат, Ms - мусковит, Pg - парагонит, ss - тв. раствор

Рис. 4. Фазовая диаграмма субсолидусной области системы мусковит-парагонит (по Эйгстери и Иодеру, 1955)

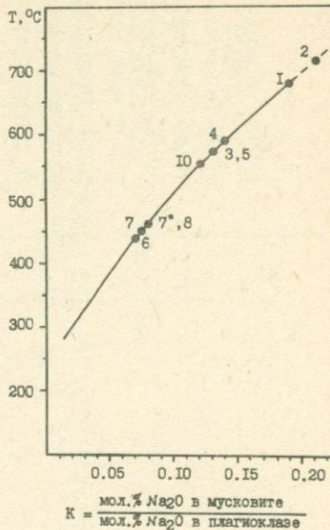


Рис. 5. Содержание Na_2O в сосуществующих мусковитах и плагиоклазах в зависимости от температуры образования (по Иодеру, 1965).

Таблица I

Химические составы и кристаллохимические формулы минералов

	1	2	3	4	5	66	7	7 ^x	8	9	10
SiO ₂	49,66	53,58	46,70	44,50	47,00	49,88	46,80	-	45,20	46,35	49,88
TiO ₂	0,52	Н/обн	1,62	0,04	0,17	0,35	Н/обн	-	0,37	0,38	2,60
Al ₂ O ₃	32,53	24,67	30,54	38,20	34,01	31,24	36,87	-	38,03	35,60	25,64
Fe ₂ O ₃	3,20	2,56	Н/обн	2,20	3,43	4,21	1,56	-	0,98	0,82	4,46
FeO	0,69	0,64	5,74	Н/обн	0,71	-	0,71	-	0,35	0,31	2,84
MnO	0,09	Н/обн	0,05	0,22	0,01	0,04	Н/обн	-	0,01	0,12	Н/обн
MgO	0,09	1,15	1,82	0,60	2,20	3,18	1,17	-	1,21	1,64	2,88
CaO	0,05	1,12	2,60	0,96	1,20	1,26	1,20	-	0,84	1,42	3,92
Na ₂ O	1,80	2,20	1,00	1,20	0,90	0,60	0,60	0,63	0,80	3,85	0,86
K ₂ O	6,60	6,60	5,80	7,60	6,80	7,70	7,00	6,80	7,10	6,10	5,00
P ₂ O ₅	-	-	-	0,08	0,05	0,04	0,04	-	Н/обн	-	-
H ₂ O ⁺	4,84	6,43	4,76	4,05	-	-	-	-	5,36	4,16	1,82
H ₂ O ⁻	0,02	0,43	0,12	0,06	-	0,04	-	-	0,64	0,10	0,14
И.п.п.											
Сумма	100,09	99,38	100,75	100,11	100,84	100,91	100,45	-	100,69	100,85	100,04
Si	3,25	3,70	3,08	2,88	3,01	3,15	3,00	-	2,91	3,03	3,25
Al	2,51	2,01	2,37	2,92	2,56	2,33	2,78	-	2,89	2,73	1,97
Ti	0,02	-	0,08	-	0,01	0,02	-	-	0,02	0,02	0,13
Fe ³⁺	0,16	0,13	-	0,11	0,17	0,20	0,07	-	0,05	0,04	0,22
Fe ²⁺	0,04	0,04	0,29	-	0,04	-	0,04	-	0,02	0,02	0,15
Mn	0,005	-	-	0,03	-	-	-	-	-	-	-
Mg	0,01	0,12	0,18	0,06	0,21	0,30	0,11	-	0,11	0,16	0,28
Ca	0,005	0,08	0,18	0,07	0,08	0,08	0,08	-	0,06	0,10	0,27
Na	0,23	0,29	0,13	0,15	0,12	0,08	0,08	-	0,08	0,49	0,11
K	0,55	0,58	0,49	0,63	0,55	0,62	0,57	-	0,58	0,51	0,42
O	9,99	10,57	9,67	9,71	9,60	9,73	9,66	-	9,58	10,07	9,75
OH	2,01	1,43	2,33	2,29	2,40	2,27	2,34	-	2,42	1,93	2,25
Мусковит	70,5	66,7	79,0	80,8	82,1	88,6	87,7	-	87,9	51,0	79,3
Парагонит	29,5	33,3	21,0	19,2	17,9	11,4	12,3	-	12,1	49,0	20,7

Опись анализов: I. Гранат-мусковитовый сланец, р-н с. Бини, 2. Кварц-слюдистый сланец, р-н с. Бини, 3. Кварц-мусковит-полевомигматитовый сланец, ср. геч. р. Атам, 4. Шлагмогранит мусковитовый, р-н с. Ани-каван, 5. Шлагмогранит мусковитовый, р-н с. Трудукур, 6-7^x. Гнейсовая толща, отрог к игу от с. Лусагах, 8. Лейкократовый гранит, р-н с. Сараландж, 9. Хлорит-амфибол-гранатовый сланец, р-н с. Аманси, 10. Кварц-слюдисто-глаукофановый сланец, р-н с. Пушкино.

Таблица 2

Результаты рентгеновского анализа мусковитов

№ п/п	Наименование породы и место взятия образца	d_{0010}	d_{060}
1.	Гранат-мусковитовый сланец, р-н с.Бики	I,990	I,505
2.	Кварц-слюдистый сланец, р-н с.Бики	I,992	I,505
3.	Кварц-мусковит-полевошпатовый сланец, сред. теч.р. Атам	I,989	I,499
4.	Плагиогранит мусковитовый, р-н с.Ан- каван	I,994	I,503
4 ^X .	Плагиогранит мусковитовый, р-н с.Ан- каван	I,994	I,507
4 ^{XX} .	Плагиогранит мусковитовый, р-н с. Ме- ликих	I,994	I,502
5.	Плагиогранит мусковитовый, р-н с.Труд- жур	I,995	I,504
6.	Гнейсовая толща, отрог к югу от с. Лусаких	I,997	I,503
7.	Гнейсовая толща, отрог к югу от с.Луса- гих	I,997	I,502
7 ^X .	Гнейсовая толща, отрог к югу от с.Луса- гих	I,993	I,503
8.	Лейкократовый гранит, р-н с.Сараландж	I,996	I,504
9.	Хлорит-амфибол-гранатовый сланец, р-н с.Амасия	I,988	I,498
10.	Кварц-слюдисто-глаукофановый сланец, р-н с.Пушкино	I,989	I,505

Примечание. Рентгенограммы сняты на дифрактометре ДРОН-2; рас-
четы Э.Х.Хуршудян (лаб.ИГН АН АрмССР) по двум сним-
кам.

Результаты рентгеновского анализа мусковитов по выявлению
зависимости их железистости от содержания в них а и К и тем-
пературы образования по данным измерения d_{060} и d_{0010} . (Ко-
тов и др., 1969) приведены в табл. 2 и нанесены на диаграмму
(рис. I). Как видно из диаграммы, железистость значительного
большинства мусковитов колеблется в пределах 0,3-0,6 и, види-
мо, этим объясняется некоторое расхождение результатов, полу-
ченных по диаграмме Х.С.Иодера (1965), отражавших зависимость

д 0010 маложелезистых мусковитов от содержания в них парагонитовой составляющей и температуры (рис. 2).

Таблица 3
Химические составы и температуры кристаллизации
мусковитов

Состав муско- вита (вес.%)	Содер- жание параго- нита в мус- ковите (в мол.%)		Температура кристаллизации, °C			
	K ₂ O	Na ₂ O	по Ио- деру (1965)	по Эйгсте- ру и Ио- деру (1955)	по Лам- берту (1959)	по Кото- бу и др. (1969)
I.	6,60	I,80	29,3	>700	>670	690
2	6,60	2,20	33,3	>700	>670	720
3	5,80	I,0	20,5	620	620	620
4	7,60	I,20	I9,0	600	600	600
4 ^x	-	-	-	-	-	405
4 ^{xx}	-	-	-	-	-	525
5	6,80	0,90	I7,3	575	580	580
6	7,70	0,60	I0,7	450	485	480
7	7,00	0,60	II,9	450	500	500
7 ^x	6,80	0,63	I2,4	460	505	510
8	7,10	0,60	II,8	490	500	500
9	6,10	3,85	48,8	>700	>670	>700
10	5,00	0,86	20,9	625	630	630

Таблица 4
Составы существующих мусковитов и плагиоклазов

№ п/п	Нарагонит		Плагиоклаз		K	T°
	мол.% па- рагонита	мол.% Na ₂ O ¹	№ Пл.	мол.% Na ₂ O		
I	29,3	2,20	10	II,4	0,19	680
2	33,3	2,50	7	II,8	0,21	715
3	20,5	I,53	10	II,4	0,13	575
4	I9,0	I,43	20	IO,2	0,14	590
5	I7,3	I,30	22	IO,0	0,13	575
6	IO,7	0,80	10	II,4	0,07	440
7	II,9	0,89	7	II,9	0,075	450
7 ^x	I2,4	0,93	I2	II,8	0,08	460
8	II,8	0,90	10	II,4	0,08	460
9	48,8	3,10	5	II,0	0,26	~750
10	20,9	I,57	I	II,6	0,12	555

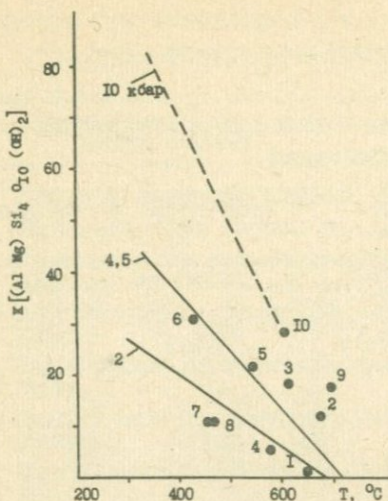


Рис. 6. Зависимость вхождения селадонитового минала от температуры при различных давлениях (по Гудотти и Сасси, 1976)

По данным химического состава мусковитов и рассчитанных содержаний парагонитового компонента определены температуры кристаллизации мусковитов по диаграммам Ламберта (Lambert, 1959) и Эйтстера и Иодера (Eugster, Yoder, 1955), которые имеют близкие значения (рис. 3 и 4) и для сопоставлений с другими данными сведены в табл. 3.

В целях термометрии были использованы также равновесные плагиоклаз-мусковитовые ассоциации (Иодер, 1965), данные по которым нанесены на диаграмму (рис. 5) и приведены в табл. 4.

Из приведенных данных (табл. 3 и 4) наблюдается довольно хорошая сходимость значений температур по разным термометрам, за исключением результатов полученных по рентгеновским исследованиям, по которым, в целом, констатируются относительно низкие температуры кристаллизации анализированных мусковитов.

Для оценки барических условий формирования исследованных мусковитов была использована зависимость вхождения селадонитового минала от температуры при различных давлениях (Guidotti, Sassi, 1976), а результаты расчетов (по данным табл. I и 3) нанесены на диаграмму (рис. 6). Для различных слюдистых сланцев Цахкуняцкого кристаллического массива при температуре 650° (среднее) давление

оценивается в 4,5 кбар, соответственно для гнейсов – 450° и 2,5–3 кбар, для плагиогранитов – 565° и 3,5 кбар, для лейко-кратовых гранитов – 470° и 1 кбар. Полученные данные позволяют рассматривать температуры формирования метаморфических пород Апшан-Анкаванского выступа отвечающими условиям амфиболитовой фации, а плагиогранитов – условиям амфиболитовой фации и переходу к слабой мигматизации, хорошо согласуемой с существующими представлениями о фации метаморфизма нижней серии кристаллического фундамента (Агамалиян, 1970).

Более высокие термобарические значения (610° и 700° , 10 кбар) получены для амфибол-гранатовых и кварц-слюдисто-глаукофановых сланцев.

ЛИТЕРАТУРА

Агамалиян В.А. Геология и петрология сланцевого комплекса Арзаканского кристаллического массива (АрмССР). Автореф.канд. диссер., МГУ, 1970.

Иодер Х.С. Вопросы геологии и минералогии слюд. Изд. ИЛ, М., 1965.

Котов Н.В., Милькевич Р.И., Турченко С.И. Палеотермометрия мусковитсодержащих пород по данным рентгеновского и химического изучения мусковитов. ДАН СССР, I84, № 5, 1969.

Guidotti C.V., Sassi F.P. Muscovite as a petrogenetic Indicator Mineral in Pelitic Schists. Neues Jahrb. Miner., H.2, 127, 1976.

Eugster H.P., Yoder H.S. The joint muscovite-paragonite. Carnegie Inst. of Washington, Yearbook 54, 1955.

Lambert R. The mineralogy and metamorphism of the Moine Schists of the Morar and Knoydart districts of Inverness-shire. Trans. Roy. Soc. Edin., 63, 1959.

Х Р О Н И К А

(К выходу из печати монографии колл.авторов "Минералогия рудных формаций Армянской ССР", т.т. I и 2).

Издательством АН АрмССР опубликована монография коллектива авторов "Минералии рудных формаций Армянской ССР" в двух томах. Ответственный редактор: академик АН АрмССР И.Г.Магакьян, редактор: канд. г.-м. наук А.С.Фарамазян.

В монографии детально описаны все минералы, установленные в различных рудных формациях республики. По каждому минералу приводятся особенности физических свойств (твердость, микротвердость, оптические свойства – показатели преломления или отражения, уд. вес, термоэдс и др.), данные химических, спектральных, рентгенографических, термических и др. анализов, а также некоторые другие сведения, необходимые для диагностики минералов. Минералы охарактеризованы с точки зрения условий образования, последовательности выделения из рудных растворов или расплавов, парагенетических ассоциаций, распространенности, практической ценности, а для щильных и породообразующих минералов – их роли в процессе рудообразования. Такое описание позволяет составить целостное представление о минерале,минеральном составе руд, условиях образования, а также комплексном использовании руд.

Том I вышел в свет в 1984 г., объемом 306 с. Авторы: И.Г.Магакьян, Ш.О.Амирян, Р.И.Зарян, К.А.Карамян, А.И.Карапетян, В.О.Пароникян, Г.О.Пиджян, А.С.Фарамазян, Э.А.Хачатуриян, Э.Х.Хуршудян, С.Б.Абовян, А.А.Кодюян, С.С.Мкртычян. В томе описаны более 100 минералов – самородные элементы, карбиды, арсениды, сульфиды и сульфосоли, теллуриды.

Том II вышел в свет в 1986 г., объемом 310 с. Авторы: И.Г.Магакьян, Б.М.Меликсян, С.Б.Абовян, Ш.О.Амирян, Р.И.Зарян, К.А.Карамян, Г.Б.Междумян, В.О.Пароникян, Г.О.Пиджян, А.С.Фарамазян, Э.А.Хачатуриян, Э.Х.Хуршудян, Л.П.Яневян. В том вошло

описание более 160 минералов и минеральных разновидностей - галогениды, окислы простые, окислы сложные и гидроокислы, вольфраматы, молибдаты, фосфаты, арсенаты, ванадаты, карбонаты, сульфаты, силикаты.

Издание рассчитано на геологов широкого профиля, минералогов, геохимиков, обогатителей, технологов-металлургов, экономистов, а также студентов геолого-географической и горной специальностей.

О Г Л А В Л Е Н И Е

Выдающийся ученый, педагог и организатор науки академик И.Г.Магакьян	5
Ш.О.Амирян. Парагенетические ассоциации минера- лов золоторудных месторождений Армянской ССР	10
С.Б.Абоян. Ассоциации акцессорных минералов в мафит-ультрамафитовых комплексах офиолитовых поя- сов АрмССР	19
К.М.Мурадян. Геохимические особенности пород среднеюрских рудоносных вулканогенных комплексов Шамшадинского рудного района Армянской ССР	33
А.И.Карапетян, О.П.Гуомджян, Э.М.Налбандян. Зональность и дискретность цеолитизации в полос- чатых дайках колчеданных месторождений АрмССР	52
А.А.Коджоян, С.С.Мкртчян. Типоморфные особен- ности сфалеритов полиметаллических месторождений Армянской ССР	68
Ш.О.Амирян, А.З.Алтунян, М.С.Азизбекян. Рудные формации Туманянского и Чкнах-Базумского рудных районов и их генетические особенности	89
А.Г.Тонакян, А.И.Шмидт, А.С.Аванесян. Основы прогноза медно-молибденового оруденения в северо- западной части Севано-Амасийской зоны (Малый Кав- каз)	102
Р.Н.Таян. Оптические свойства и структурные взаимоотно- шения типоморфных минералов порфировидных гранито- идов Мегринского plutона	112
Г.А.Казарян. Расслоенные габбро офиолитовой серии юго-восточной части Севанского хребта	122
Ю.Г.Гукасян. Особенности состава существующих широксенов верхнеплиоцен-четвертичных вулканитов Арагацкого комплекса	140

Б.М.Меликсян, З.О.Чибухчян. Типоморфизм мусковитов как критерий РГ-условий метаморфизма и гранитообразования	170
Хроника. (К выходу из печати монографии коллектива авторов "Минералогия рудных формаций Армянской ССР. Т.т. I и 2)	178

ТИПОМОРФИЗМ И ПАРАГЕНЕЗИСЫ
МИНЕРАЛОВ АРМЯНСКОЙ ССР

Редактор издательства А.А.Г а л о я н
Тех. редактор Р.Х. Г е в о р кյ а н
Корректор Л.А. Х а ч а т р я н

ИБ № 1278

Сдано в производство 23.10.1987 г.,
Подписано к печати 1.10.1987 г.
БФ 05821. Формат 60x84 1/16.
Бумага № 2. Офсетная печать.
Печ. л. II, 37 + I вкл.
Усл. печ.л. 10,7. Учетно-изд.л. 10,5
Тираж 400. Зак. № 1519 Изд. № 7110.
Цена I р. 50 к.

Издательство АН АрмССР, 375019,
Ереван, пр. Маршала Баграмяна, 24 г.
Типография Издательства АН АрмССР,
378310, г. Эчмиадзин.

1 р. 50 коп.

